

**LOS PORTEROS DE FÚTBOL,  
¿SE COMPORTAN COMO SISTEMAS COMPLEJOS?  
ESTUDIO DE IKER CASILLAS Y VÍCTOR VALDÉS**

Tesis doctoral presentada por:

Alberto Gil Galve

## 4. Resultados y discusión

En este capítulo se presentan los resultados de las actuaciones de los porteros desde un análisis descriptivo, que nos permite obtener algunas medidas básicas como la frecuencia absoluta o relativa, y definir los diferentes comportamientos de los porteros. Todo ello a partir de un estudio desde dos tipos de análisis diferentes: el secuencial de retardos y el *T-Patterns*. Ambos permiten detectar relaciones de dependencia en el flujo de las conductas emitidas durante los partidos de competición, y definen los diferentes patrones conductuales.

En la intervención del portero en las situaciones de interacción con el delantero, podemos diferenciar dos momentos de estudio: uno de preparación previa al momento de golpeo del atacante, movimiento o ubicación para estar preparado a la acción del atacante, podemos llamarlo de **anticipación** o preparación al tiro; y otro de actuación al golpeo del balón por parte del delantero, lo llamaremos de **reacción** al tiro. La técnica de retardos, con el cálculo de retardos negativos y positivos, nos permite la obtención de medidas de contingencia y de ciclicidad entre las conductas de anticipación y de reacción.

Estos dos momentos, conjuntamente con la acción del delantero, dan lugar al resultado final de la acción.

Este capítulo consta de cuatro partes. En la primera se explican los diferentes tipos de análisis, en la segunda se presentan los resultados a partir del análisis secuencial de retardos, en la tercera a partir de la detección de *T-patterns*, y en la cuarta se realiza una comparación de los resultados de ambos análisis.

## 4.1 Análisis de los datos

Para abordar el análisis de datos de la temporalidad mediante la detección de patrones temporales se dispone, esencialmente, de dos opciones que, en principio, no deberían diferir excesivamente entre sí. Por una parte, el **análisis secuencial de retardos**, y, por otra el **análisis de patrones temporales**. Ambas opciones cuentan con un indudable desarrollo teórico y con un apoyo informático, aspectos que han resultado cruciales para la elaboración del actual análisis. En la actualidad nos formulamos una pregunta inicial acerca de si podemos considerarlos convergentes, o bien si nos ponen de manifiesto dos caras distintas de la realidad (Anguera, 2006).

### 4.1.1 Análisis secuencial de retardos

Esta técnica analítica fue desarrollada por Bakeman (Bakeman, 1978; Bakeman, & Gotlman, 1989), y por Sackett (1980), con el fin de detectar, si los hay, patrones de conducta o regularidades en la sucesión de las conductas registradas. El análisis secuencial de retardos es una de las formas de análisis secuencial, y tiene como objetivo último la detección de patrones secuenciales de conducta, lo cual se lleva a cabo mediante la búsqueda de contingencias secuenciales (Quera, 1993) entre categorías de conducta o configuraciones (según que el instrumento de evaluación utilizado haya sido el sistema de categorías o los formatos de campo, respectivamente). En definitiva, permite conocer si la ocurrencia de una(s) determinada(s) conducta(s) observable(s) en el sujeto observado se relaciona con otra(s) conducta(s) con una fuerza o intensidad que es mayor que la que podría esperarse si sólo actuara el azar (Anguera, 2003).

El análisis secuencial en definitiva es una de las modalidades de análisis que se puede aplicar a datos observacionales y nos permite obtener patrones de conductas (Andersson, Ekblom, & Krstrup, 2008), a través de la detección de contingencias secuenciales de diferentes conductas o categorías (Anguera, 1992).

El término secuencial hace referencia a un conjunto de técnicas cuya finalidad es poner de manifiesto las relaciones, asociaciones o dependencias secuenciales entre unidades de conducta. Podemos afirmar que es la forma más común de microanálisis puesto que consiste en averiguar cómo cambian las probabilidades de ocurrencia de ciertas conductas en función de la ocurrencia previa de otras; por lo tanto se ponen en relación medidas conductuales obtenidas diacrónicamente. Esta forma de análisis no es la única posible en Metodología Observacional (Blanco, Losada, & Anguera, 2003), aunque sí la más relevante (Hernández Mendo, 1996). Es una de las técnicas que hemos aplicado en nuestra investigación ya que trabajamos con datos tipo II, de carácter *multievent*.

Anguera, Blanco, Losada y Hernández Mendo (2000) diferencian dos formas de abordar el análisis secuencial: una de ellas es **la modelización**, donde el investigador formula un modelo sustantivo como posible generador de las secuencias de conducta que observa, y a partir de él obtiene qué secuencias hipotéticas se observan si el modelo fuese cierto. A continuación compara las secuencias observadas con las secuencias esperadas y, si el ajuste es razonable, concluye que el modelo es válido. **La descripción** es otra forma de proceder dentro del análisis secuencial, en la que el investigador carece de un modelo sustantivo para las secuencias que observa, y trata de descubrir las regularidades que existen en las mismas. La modelización es una forma de proceder fundamentalmente deductiva en tanto que la descriptiva es de carácter inductivo, siendo la más difundida en la observación del

comportamiento. Esta última ha sido el procedimiento utilizado en esta investigación.

En el ámbito de la descripción, la técnica de retardos ocupa un lugar preferente. Esta técnica fue desarrollada por Sackett (1980), y es, junto a los modelos markovianos y las series de tiempo, una de las tres formas de abordar el análisis secuencial.

De acuerdo con Anguera (1983, p. 137) la técnica de retardos *"facilita, si no la identificación directa y exacta de patrones de ocurrencia entre conductas, una aproximación a ella, y además supone una ventaja respecto a los métodos markovianos, ya que: a) permite la obtención de medidas de contingencia entre conductas lejanas en orden (eventos secuenciales) o en tiempo (duración); b) posibilita la obtención de medidas directas de ciclicidad para una única conducta (autocontingencia) o relaciones de fase entre varias (contingencia cruzada)"*.

Las técnicas secuenciales son muy adecuadas para conocer los comportamientos de los jugadores o de los equipos, ya que nos permiten conocer sus conductas de interacción con sus compañeros y oponentes durante el desarrollo del juego.

Para el uso de esta técnica se precisa disponer previamente de una taxonomía de datos observacionales a partir de unos determinados criterios para su adecuación al software SDIS-GSEQ (v. 4.1.2) que permite resolver ampliamente este análisis. El análisis secuencial presenta dos variantes o perspectivas: La prospectiva, o "hacia delante", y la retrospectiva, o "hacia atrás" (Anguera, 2003).

#### 4.1.2 Detección de *T-patterns*

Esta segunda opción analítica que contemplamos se dirige a la detección de los patrones temporales (*T-patterns*). Las unidades convencionales de tiempo utilizadas en el registro son habitualmente los *frames* (1/25 segundo), y el análisis pretende la detección de estructuras ocultas en el registro, sea desde una perspectiva inter-individual como intra-individual (Borrie, Jonsson, & Magnusson, 2001, 2002; Anguera, 2003, 2006; Bloomfield, Jonsson, Polman, Houlahan, & O'Donoghue, 2005).

Esta técnica de análisis, desarrollada por Magnusson (1996, 2000), autor del programa *Theme*, v. 5, que lo lleva a cabo permite representar el dendograma correspondiente a acciones compuestas de códigos concurrentes (configuraciones) que ocurren en el mismo orden, con distancias temporales entre si en cuanto a número de *frames* (o unidades de tiempo utilizadas) que permanecen relativamente invariantes, siempre dentro del intervalo crítico fijado previamente (Anguera, 2003, 2006).

El tipo de patrones que *Theme* detecta son independientes de la escala temporal. El programa es capaz de analizar cualquier dato en el tiempo de unidades usadas, micro-segundos, horas, días, meses, años o incluso tiempo mayores. **De hecho, los datos no necesitan estar basados en un tiempo determinado: solamente necesitan estar concentrados alrededor de una variable.** De esta forma justificamos nuestro uso del programa, con el objetivo que pretendemos, en el que no importan las unidades de tiempo que transcurren entre las sucesivas situaciones de estudio de los porteros.

#### 4.1.3 Análisis secuencial de retardos y *T-patterns* frente a frente

En este estudio pretendemos estudiar la misma realidad desde dos técnicas analíticas que tienen por objetivo detectar la existencia de patrones temporales. No nos consta que haya estudios previos que las hayan puesto en relación (Anguera,2006).

#### 4.1.4 Procesamiento de datos

Los datos de observación de todos los partidos fueron introducidos en el programa SDIS-GSEQ para Windows (versión 4.1.2) dando origen a 2 ficheros con extensión sds, uno para cada portero. Posteriormente estos datos fueron analizados por el SDIS (norma para el intercambio de datos secuenciales), que verifica que estos sigan las reglas SDIS, para que no contengan errores que puedan perjudicar su futuro tratamiento. Los ficheros siguen las reglas SDIS y el *software* transforma los datos a una nueva versión modificada con extensión mds, que nos va a facilitar el análisis posterior a través del GSEQ (Bakeman, & Quera, 1996).

Obtenidos los ficheros de datos con extensión mds, se realiza el análisis secuencial de cada uno de los porteros creando tantos ficheros GSQ como fueron necesarios para realizar el análisis secuencial deseado. El análisis consta de diferentes partes:

- ▶ momento de anticipación;
- ▶ momento de reacción;
- ▶ relación del momento de anticipación con el de reacción;
- ▶ relación del momento de anticipación y el resultado;
- ▶ relación del momento de reacción y resultado;
- ▶ relación del momento de anticipación y el de reacción con el resultado.

En cada una de estas partes realizamos un estudio de todas las posibles combinaciones de conductas, buscando encontrar las relaciones de dependencia entre los comportamientos de los porteros, para de esta forma poder conocer los patrones de conducta de cada uno de ellos en los diferentes momentos de su intervención, en la relación entre ellos, la relación entre cada momento y el resultado, y entre ambos con el resultado.

Para la determinación de los patrones excitatorios de las transiciones entre las categorías criterio y objeto, el valor de los residuos ajustados deberá ser superior a 1,96 (valor crítico correspondiente a  $\alpha= 0,05$ ), que representa una mayor probabilidad de transición que la ocurrencia por efecto del azar, existiendo así una dependencia excitatoria positiva. Por el contrario, si el valor es inferior a -1,96, la dependencia es inhibitoria o negativa (Anguera, 2006).

## 4.2 Análisis secuencial de retardos

Este capítulo consta de tres partes. En la primera parte se presentan los resultados de Iker Casillas, en la segunda los de Víctor Valdés y en la tercera se lleva a cabo una comparación entre ambos.

### 4.2.1 Iker Casillas

#### 4.2.1.1 Momento de anticipación o preparación al tiro del delantero:

##### ■ Conductas del portero

Iker Casillas en el momento de anticipación al tiro del atacante manifiesta 9 comportamientos diferenciados, de los 12 posibles estudiados, que a continuación describimos.

1. Se encuentra en la bisectriz, mantiene la misma posición y está equilibrado en posición baja.
2. Se encuentra en la bisectriz, mantiene la misma posición y está equilibrado en posición alta.
3. Se encuentra en la bisectriz, mantiene la misma posición y está desequilibrado.
4. Se encuentra en la bisectriz, está cambiando la posición y está equilibrado en posición alta.
5. Se encuentra en la bisectriz, está cambiando de posición y está desequilibrado.
6. Se encuentra fuera de la bisectriz, mantiene la misma posición y está equilibrado en posición alta.
7. Se encuentra fuera de la bisectriz, mantiene la misma posición y está desequilibrado.

8. Se encuentra fuera de la bisectriz, está cambiando de posición y está equilibrado en posición alta.
9. Se encuentra fuera de la bisectriz, está cambiando de posición y está desequilibrado.

### ■ Patrones de conducta

De estos comportamientos que Casillas manifiesta durante sus actuaciones en la competición (ver las instrucciones de análisis –fichero .gsq– en Figura 16) únicamente 4 pueden ser considerados patrones conductuales, estos son:

- Se encuentra en la bisectriz, mantiene la misma posición y está equilibrado en posición baja (5.14, retardo 0) (Figura 18).
- Se encuentra en la bisectriz, está cambiando de posición y está desequilibrado (4.24, retardo 0) (Figura 18).
- Se encuentra fuera de la bisectriz, está cambiando de posición y está desequilibrando (3.18, retardo 0) (Figura 18).
- Se encuentra fuera de la bisectriz, en la misma posición y está en posición alta (2.04, retardo -2) (Figura 17).

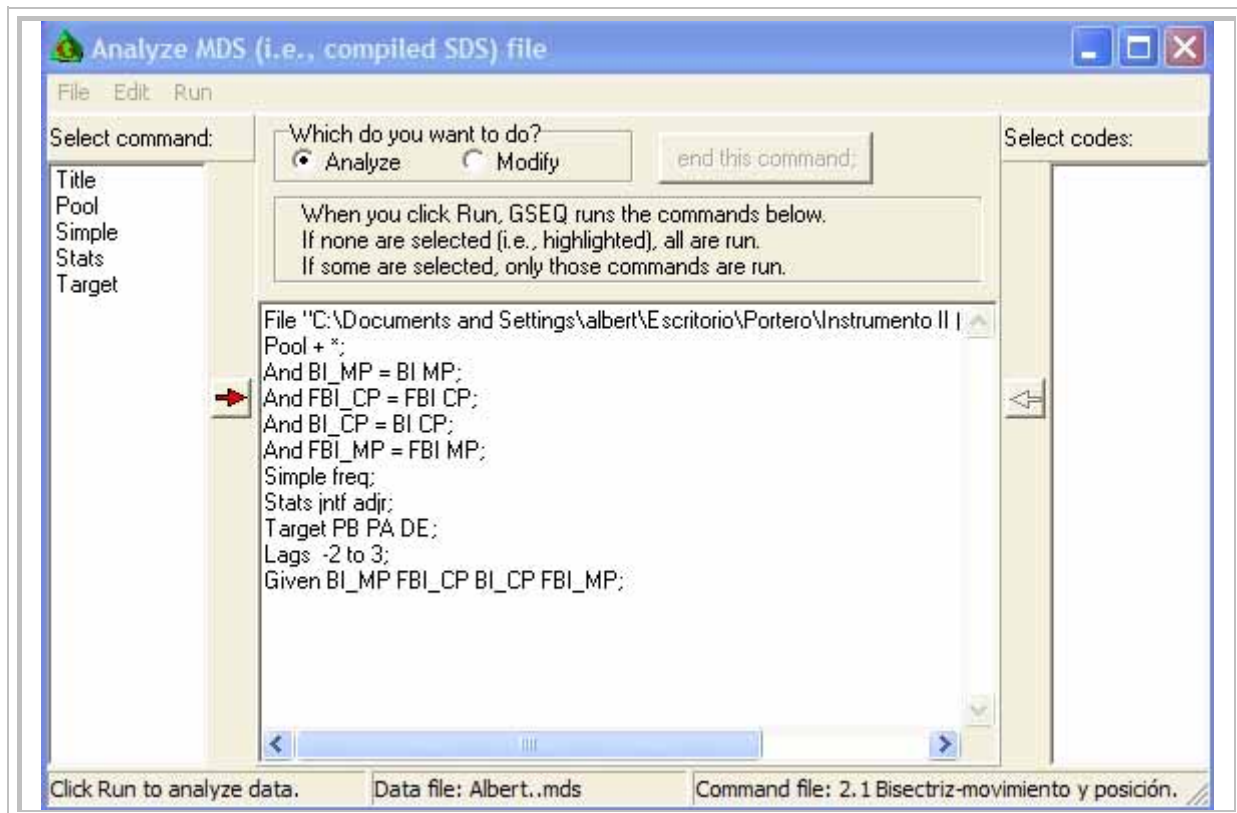


Figura 16. Análisis secuencial de los patrones de conducta en el momento de anticipación (fichero .gsq)

Lag -2. ADJR. Adjusted residuals				
Given	Target			
	PB	PA	DE	
BI_MP	-0.29	-0.48	0.73	
FBI_CP	1.21:	0.64:	-1.87:	
BI_CP	-0.36:	-0.70:	1.00:	
FBI_MP	-1.01:	<u>2.04:</u>	-0.67:	

Figura 17. Residuos ajustados correspondiente al retardo -2, obtenidos mediante el programa SDIS-GSEQ

Lag 0. ADJR. Adjusted residuals				
Given	Target			
	PB	PA	DE	
BI_MP	<u>5.14</u>	0.43	-5.83	
FBI_CP	-2.73:	-0.34:	<u>3.18:</u>	
BI_CP	-3.36:	-0.79:	<u>4.24:</u>	
FBI_MP	-1.39:	1.14:	0.53:	

Figura 18. Residuos ajustados correspondiente al retardo 0, obtenidos mediante el programa SDIS-GSEQ

### ■ Patrones de conducta en relación a la distancia con el delantero

Además es interesante señalar que dichos comportamientos, teniendo en cuenta la distancia que separa del portero del delantero, diferenciando entre distancias muy cortas y cortas, encontramos (ver las instrucciones de análisis – fichero .gsq- en Figura 19) que hay 3 comportamientos que son co-ocurrentes, estos son:

- ▶ Se encuentra en la bisectriz, mantiene la misma posición y está equilibrado en posición baja, lo realiza en distancias cortas (2.92, retardo 0) (Figura 20).
- ▶ Se encuentra en la bisectriz, está cambiando de posición y está desequilibrado, lo realiza en distancias muy cortas (3.53, retardo 0) (Figura 20).
- ▶ Se encuentra en la bisectriz, mantiene la posición y está desequilibrado, lo realiza en distancias muy cortas (2.33, retardo 0) (Figura 20).

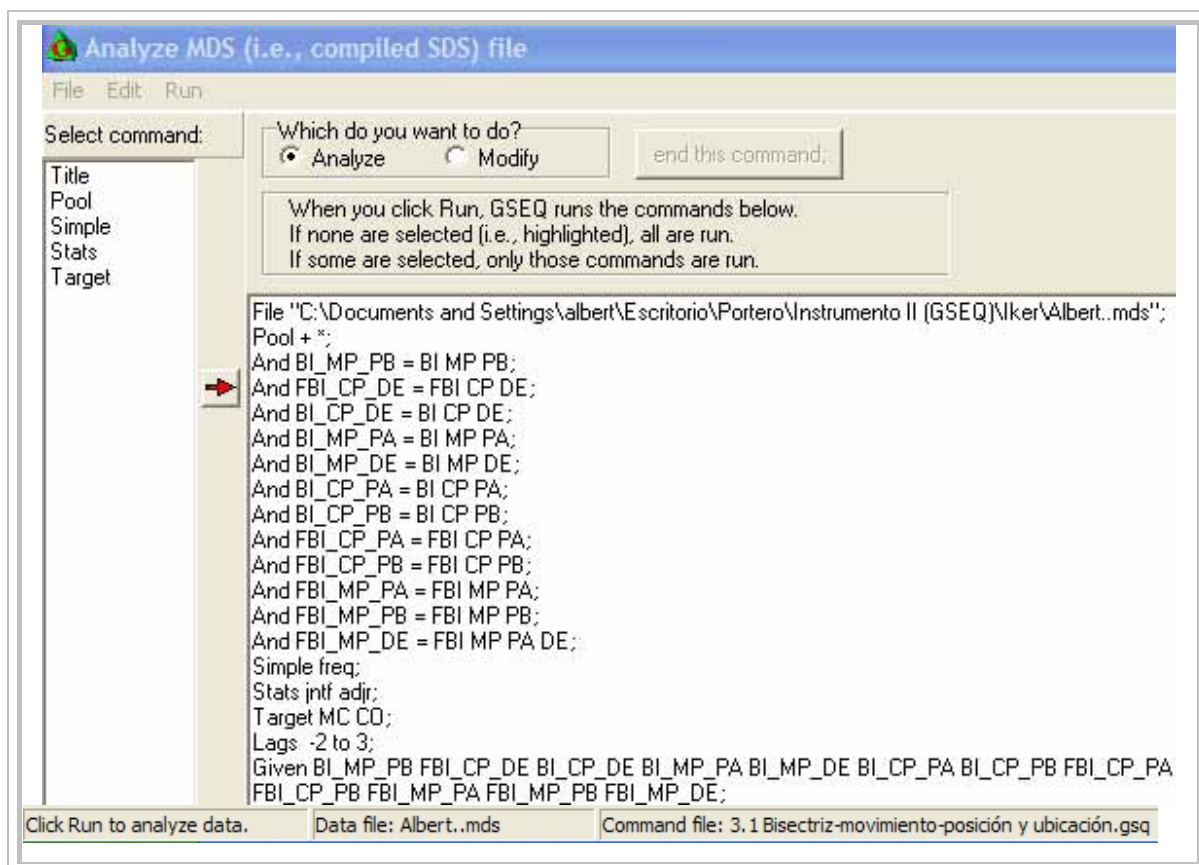


Figura 19. Análisis de los patrones de conducta en relación a la distancia al delantero (fichero .gsq)

Lag 0. ADJR. Adjusted residuals		
Given	Target	
	MC	CO
BI_MP_P	-2.92:	<u>2.92:</u>
FBI_CP_	0.71:	-0.71:
BI_CP_D	<u>3.53:</u>	-3.53:
BI_MP_P	-1.54:	1.54:
BI_MP_D	<u>2.33:</u>	-2.33:
BI_CP_P	1.32:	-1.32:
BI_CP_P	0.00:	0.00:
FBI_CP_	-0.77:	0.77:
FBI_CP_	0.00:	0.00:
FBI_MP_	-0.77:	0.77:
FBI_MP_	0.00:	0.00:
FBI_MP_	0.00:	0.00:

Figura 20. Residuos ajustados correspondiente al retardo 0, obtenidos mediante el programa SDIS-GSEQ

### ■ Ubicación y movimiento

Relacionando la ubicación del portero con la relación que ocupa en el espacio, encontramos que (ver las instrucciones de análisis –fichero .gsq- en Figura 21):

- ▶ Cuando se encuentra en la bisectriz del ángulo de tiro del delantero mantiene la posición (3.48, retardo 0) (Figura 22).
- ▶ Cuando se encuentra fuera de la bisectriz está cambiando de posición (3.48, retardo 0) (Figura 22).

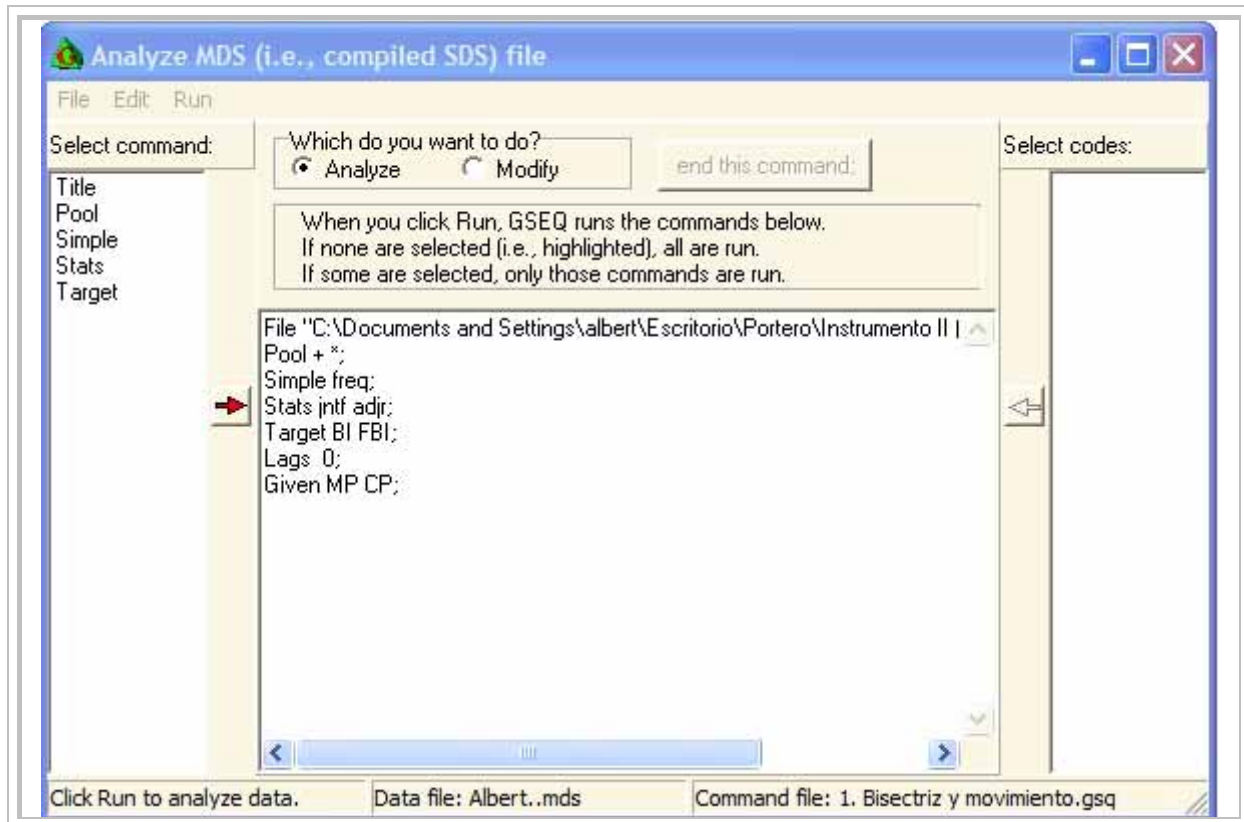


Figura 21. Análisis secuencial de la ubicación y del movimiento (fichero .gsq)

Lag 0. ADJR. Adjusted residuals			
	Given	Target	
	BI	FBI	
MP	3.48	-3.48	
CP	-3.48:	3.48:	

Figura 22. Residuos ajustados correspondiente al retardo 0, obtenidos mediante el programa SDIS-GSEQ

■ Ubicación y estabilidad

Relacionando la ubicación del portero con la estabilidad del mismo, encontramos que (ver las instrucciones de análisis –fichero .gsq– en Figura 23):

- ▶ Cuando se encuentra en la bisectriz mantiene la posición baja (3.15, retardo 0) (Figura 25).
- ▶ Cuando se encuentra en la bisectriz se encuentra desequilibrado (2.02, retardo -2) (Figura 24).
- ▶ Cuando se encuentra fuera de la bisectriz se encuentra desequilibrado (3.13, retardo 0) (Figura 25).

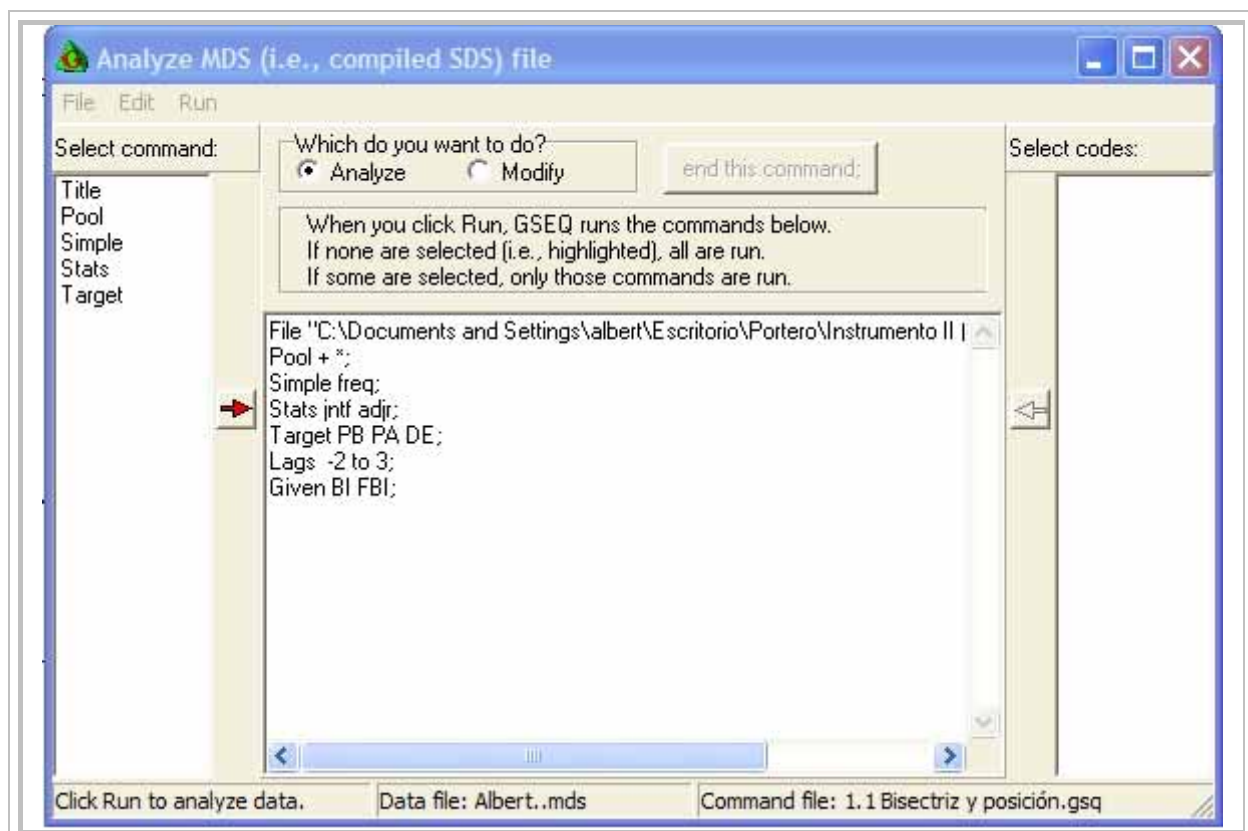


Figura 23. Análisis secuencial de la ubicación y la estabilidad (fichero .gsq)

Lag -2. ADJR. Adjusted residuals				
Given	Target			
	PB	PA	DE	
BI	-0.76	-1.37	<u>2.02</u>	
FBI	0.76:	1.37:	-2.02:	

Figura 24. Residuos ajustados correspondiente al retardo -2, obtenidos mediante el programa SDIS-GSEQ

Lag 0. ADJR. Adjusted residuals				
Given	Target			
	PB	PA	DE	
BI	<u>3.15</u>	-0.27	-3.13	
FBI	-3.15:	0.27:	<u>3.13:</u>	

Figura 25. Residuos ajustados correspondiente al retardo 0, obtenidos mediante el programa SDIS-GSEQ

#### 4.2.1.2 Momento de reacción al tiro del delantero:

##### ■ Conductas del portero

Iker Casillas en el momento de reacción al tiro del atacante manifiesta 11 comportamientos diferenciados, de los 15 posibles estudiados, que a continuación describimos.

1. Movimiento de brazos y despeje de la pelota.
2. Movimiento de brazos pero no toca la pelota.
3. Movimiento de brazos y recoge la pelota.
4. Movimiento de piernas y despeja la pelota.
5. Movimiento de piernas pero no toca la pelota.
6. Estirada pero no toca la pelota.
7. Estirada y despeja la pelota.
8. Estirada y recoge la pelota.
9. No hace nada y no hay contacto con la pelota.
10. Opone el cuerpo como pared y despeja la pelota.
11. Opone el cuerpo como pared pero no toca la pelota.

### ■ Patrones de conductas

De estos comportamientos que Casillas manifiesta durante sus actuaciones en la competición (ver las instrucciones de análisis –fichero .gsq– en Figura 26) únicamente 4 pueden ser considerados patrones de conducta, estos son:

- ▶ Movimiento de brazos y recoge la pelota (1.97, retardo 0) (Figura 27).
- ▶ Movimiento de piernas y despeja la pelota (3.06, retardo 0) (Figura 27).
- ▶ Estirada pero no toca la pelota (2.26, retardo 0) (Figura 27).
- ▶ No hace nada y no hay contacto con la pelota (2.62, retardo 0) (Figura 27).

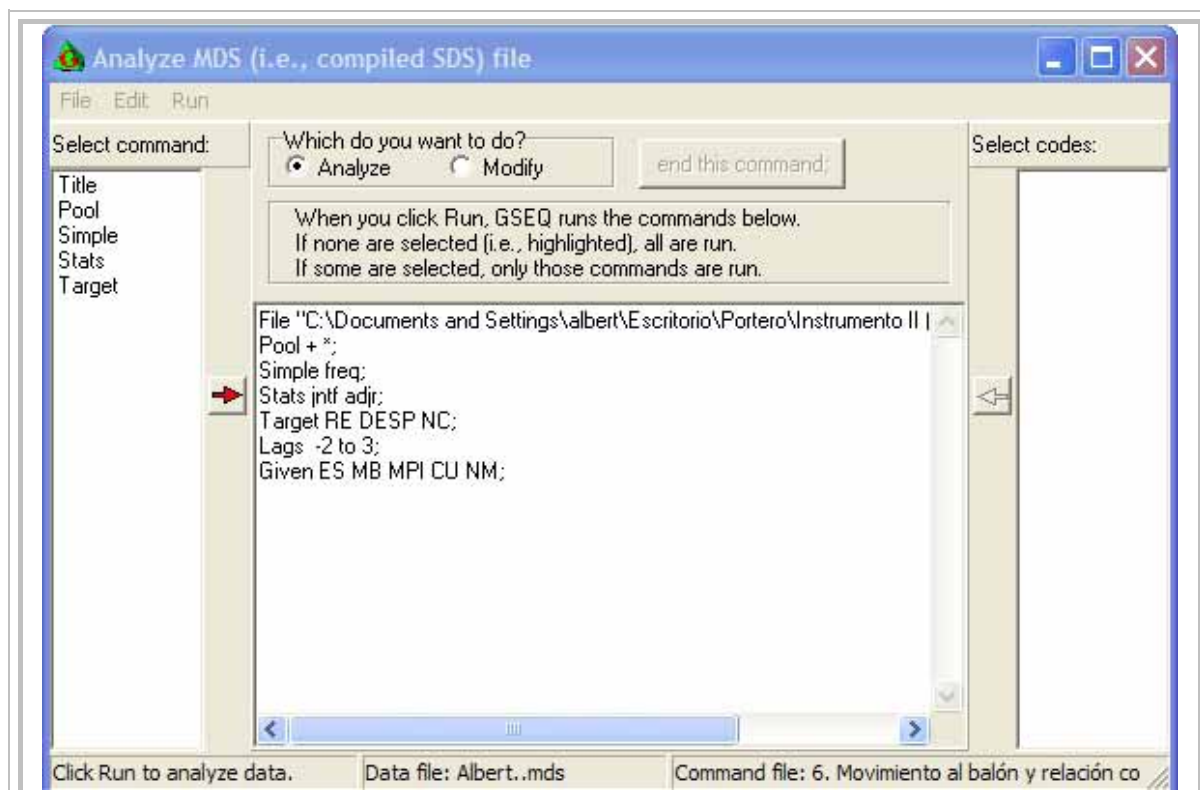


Figura 26. Análisis secuencial de los patrones de conducta en el momento de reacción (fichero .gsq)

Lag 0. ADJR. Adjusted residuals			
Given	Target		
	RE	DESP	NC
<hr/>			
ES	0.07:	-2.43:	<u>2.26:</u>
MB	<u>1.97:</u>	1.88:	-2.82:
MPI	-0.83:	<u>3.06:</u>	-2.46:
CU	-0.48:	1.46:	-1.13:
NM	-0.95:	-2.24:	<u>2.62:</u>
<hr/>			

Figura 27. Residuos ajustados correspondiente al retardo 0, obtenidos mediante el programa SDIS-GSEQ

#### 4.2.1.3 Relación entre el momento de anticipación y el de reacción:

Presentamos a continuación las relaciones de anticipación y reacción que manifiesta Iker (ver las instrucciones de análisis –fichero .gsq- en Figura 28):

- Se encuentra en la bisectriz, mantiene la misma posición y está en posición alta; se relaciona con:
  - a. oposición del cuerpo y despeje (3.56, retardo 1) (Figura 32);
  - b. oposición del cuerpo pero no toca la pelota (2.50, retardo 1) (Figura 32);
  - c. no hace nada y no toca la pelota (2.19, retardo 1) (Figura 32).
- Se encuentra en la bisectriz, mantiene la misma posición y está desequilibrado; se relaciona con:
  - a. estirada y recogida (2.91, retardo 0) (Figura 31);
  - b. movimiento de brazos sin contacto con la pelota (2.91, retardo 0 (Figura 31); 4.20, retardo 3 (Figura 34));
  - c. movimiento de brazos y recogida (2.86, retardo 2) (Figura 33);
  - d. movimiento de piernas y no toca la pelota (2.88, retardo -1 (Figura 30); 2.86, retardo 2 (Figura 33));
  - e. movimiento de piernas y despeje (3.26, retardo 1) (Figura 32);
  - f. opone el cuerpo pero no toca la pelota (4.28, retardo -1) (Figura 30).
- Se encuentra en la bisectriz, cambiando la posición y está en posición alta; se relaciona con:
  - a. movimiento de brazo y despeje (3.19, retardo 3) (Figura 34);
  - b. movimiento de brazos y sin contacto con la pelota (5.34, retardo 0) (Figura 31).

- Se encuentra en la bisectriz, está cambiando de posición y está desequilibrado; se relaciona con:
  - a. estirada y despeje (3.41, retardo 0) (Figura 31);
  - b. estirada y no toca la pelota (2.69, retardo 2) (Figura 33).
- Se encuentra fuera de la bisectriz, mantiene la misma posición y está en posición alta; se relaciona con:
  - a. movimiento de brazo sin contacto con la pelota (5.29, retardo -1) (Figura 30);
  - b. movimiento de brazo y despeje (3.22, retardo 2) (Figura 33);
  - c. no hace nada y no toca la pelota (2.28, retardo 3) (Figura 34).
- Se encuentra fuera de la bisectriz, mantiene la misma posición y está desequilibrado; se relaciona con:
  - a. no hace nada y no toca la pelota (2.16, retardo -2) (Figura 29);
  - b. movimiento de brazos y despeje (2.25, retardo -1) (Figura 30);
  - c. movimiento de pierna pero no toca la pelota (5.29, retardo 1) (Figura 32).
- Se encuentra fuera de la bisectriz, está cambiando la posición y está equilibrado en posición alta; se relaciona con:
  - a. opone el cuerpo como oposición y despeja la pelota (5.24, retardo -2) (Figura 29);
  - b. no hace nada y no toca la pelota (2.31, retardo 2) (Figura 33);
  - c. movimiento de pierna pero no toca la pelota (5.20, retardo 3) (Figura 34).
- Se encuentra fuera de la bisectriz, está cambiando de posición y está desequilibrado; se relaciona con:
  - a. estirada y no toca la pelota (3.31, retardo 0) (Figura 31);
  - b. estirada y despeje (2.64, retardo 2) (Figura 33);
  - c. opone el cuerpo pero no toca la pelota (2.91, retardo 2) (Figura 33).

Analyze MDS (i.e., compiled SDS) file

File Edit Run

Select command: Which do you want to do?  Analyze  Modify end this command

When you click Run, GSEQ runs the commands below.  
 If none are selected (i.e., highlighted), all are run.  
 If some are selected, only those commands are run.

```

File "C:\Documents and Settings\albert\Escritorio\Portero\Instrumento II (GSEQ)\Nker\Albert.mds";
Pool + *;
→ And BI_MP_PB = BI MP PB;
And BI_MP_PA = BI MP PA;
And BI_MP_DE = BI MP DE;
And BI_CP_PB = BI CP PB;
And BI_CP_PA = BI CP PA;
And BI_CP_DE = BI CP DE;
And FBI_MP_PB = FBI MP PB;
And FBI_MP_PA = FBI MP PA;
And FBI_MP_DE = FBI MP DE;
And FBI_CP_PB = FBI CP PB;
And FBI_CP_PA = FBI CP PA;
And FBI_CP_DE = FBI CP DE;
And ES_RE = ES RE;
And ES_DESP = ES DESP;
And ES_NC = ES NC;
And MB_RE = MB RE;
And MB_DESP = MB DESP;
And MB_NC = MB NC;
And MPI_RE = MPI RE;
And MPI_DESP = MPI DESP;
And MPI_NC = MPI NC;
And CU_RE = CU RE;
And CU_DESP = CU DESP;
And CU_NC = CU NC;
And NM_RE = NM RE;
And NM_DESP = NM DESP;
And NM_NC = NM NC;
Simple freq;
Stats jntf adjr;
Target ES_RE ES_DESP ES_NC MB_RE MB_DESP MB_NC MPI_RE MPI_DESP MPI_NC CU_RE
CU_DESP CU_NC NM_RE NM_DESP NM_NC;
Lags -2 to 3;
Given BI_MP_PB BI_MP_PA BI_MP_DE BI_CP_PB BI_CP_PA BI_CP_DE FBI_MP_PB FBI_MP_PA
FBI_MP_DE FBI_CP_PB FBI_CP_PA FBI_CP_DE;
```

Click Run to analyze data. Data file: Albert.mds Command file: 10. Anticipación y Reacción.gsq

Figura 28. Análisis de las relaciones de los momentos de anticipación y reacción (fichero .gsq)

Lag -2. ADJR. Adjusted residuals								
Given	Target	MPI_NC	CU_RE	CU_DESP	CU_NC	NM_RE	NM_DESP	NM_NC
BI_MP_P		0.00:	0.00:	-1.44:	1.01:	0.00:	0.00:	0.70:
BI_MP_P		-0.59:	0.00:	-0.59:	-0.41:	0.00:	0.00:	-1.42:
BI_MP_D		-0.34:	0.00:	-0.34:	-0.24:	0.00:	0.00:	-0.83:
BI_CP_P		0.00:	0.00:	0.00:	0.00:	0.00:	0.00:	0.00:
BI_CP_P		0.00:	0.00:	0.00:	0.00:	0.00:	0.00:	0.00:
BI_CP_D		1.33:	0.00:	-0.63:	-0.44:	0.00:	0.00:	0.37:
FBI_MP_		0.00:	0.00:	0.00:	0.00:	0.00:	0.00:	0.00:
FBI_MP_		0.00:	0.00:	0.00:	0.00:	0.00:	0.00:	0.00:
FBI_MP_		-0.19:	0.00:	-0.19:	-0.14:	0.00:	0.00:	<u>2.16:</u>
FBI_CP_		0.00:	0.00:	0.00:	0.00:	0.00:	0.00:	0.00:
FBI_CP_		-0.19:	0.00:	<u>5.24:</u>	-0.14:	0.00:	0.00:	-0.47:
FBI_CP_		-0.50:	0.00:	1.83:	-0.35:	0.00:	0.00:	-0.08:

Figura 29. Residuos ajustados correspondiente al retardo -2, obtenidos mediante el programa SDIS-GSEQ

Lag -1. ADJR. Adjusted residuals									
Given	Target	ES_RE	ES_DESP	ES_NC	MB_RE	MB_DESP	MB_NC	MPI_RE	MPI_DES
BI_MP_P		1.47:	0.62:	-0.98:	0.03:	-0.43:	-1.41:	0.00:	1.77:
BI_MP_P		-0.58:	-0.72:	0.71:	1.49:	0.40:	-0.58:	0.00:	-1.05:
BI_MP_D		-0.34:	-0.42:	-0.19:	-0.34:	-0.55:	-0.34:	0.00:	-0.61:
BI_CP_P		0.00:	0.00:	0.00:	0.00:	0.00:	0.00:	0.00:	0.00:
BI_CP_P		0.00:	0.00:	0.00:	0.00:	0.00:	0.00:	0.00:	0.00:
BI_CP_D		-0.62:	0.86:	0.39:	-0.62:	-1.01:	1.35:	0.00:	-1.12:
FBI_MP_		0.00:	0.00:	0.00:	0.00:	0.00:	0.00:	0.00:	0.00:
FBI_MP_		-0.19:	-0.24:	-0.80:	-0.19:	-0.31:	<u>5.29:</u>	0.00:	-0.35:
FBI_MP_		-0.19:	-0.24:	1.27:	-0.19:	-0.31:	-0.19:	0.00:	-0.35:
FBI_CP_		0.00:	0.00:	0.00:	0.00:	0.00:	0.00:	0.00:	0.00:
FBI_CP_		-0.19:	-0.24:	1.27:	-0.19:	-0.31:	-0.19:	0.00:	-0.35:
FBI_CP_		-0.49:	-0.61:	-0.28:	-0.49:	<u>2.25:</u>	-0.49:	0.00:	0.52:

Given	Target	MPI_NC	CU_RE	CU_DESP	CU_NC	NM_RE	NM_DESP	NM_NC
BI_MP_P		0.03:	0.00:	0.03:	-0.99:	0.00:	0.00:	0.06:
BI_MP_P		-0.58:	0.00:	-0.58:	-0.41:	0.00:	0.00:	0.60:
BI_MP_D		<u>2.88:</u>	0.00:	-0.34:	<u>4.28:</u>	0.00:	0.00:	-0.82:
BI_CP_P		0.00:	0.00:	0.00:	0.00:	0.00:	0.00:	0.00:
BI_CP_P		0.00:	0.00:	0.00:	0.00:	0.00:	0.00:	0.00:
BI_CP_D		-0.62:	0.00:	1.35:	-0.44:	0.00:	0.00:	0.40:
FBI_MP_		0.00:	0.00:	0.00:	0.00:	0.00:	0.00:	0.00:
FBI_MP_		-0.19:	0.00:	-0.19:	-0.13:	0.00:	0.00:	-0.47:
FBI_MP_		-0.19:	0.00:	-0.19:	-0.13:	0.00:	0.00:	-0.47:
FBI_CP_		0.00:	0.00:	0.00:	0.00:	0.00:	0.00:	0.00:
FBI_CP_		-0.19:	0.00:	-0.19:	-0.13:	0.00:	0.00:	-0.47:
FBI_CP_		-0.49:	0.00:	-0.49:	-0.35:	0.00:	0.00:	-0.06:

Figura 30. Residuos ajustados correspondiente al retardo -1, obtenidos mediante el programa SDIS-GSEQ

Lag 0. ADJR. Adjusted residuals									
Given	Target	ES_RE	ES_DESP	ES_NC	MB_RE	MB_DESP	MB_NC	MPI_RE	MPI_DES
BI_MP_P		0.05:	-0.97:	-1.42:	0.05:	1.49:	-1.39:	0.00:	1.81:
BI_MP_P		-0.58:	-0.83:	-0.03:	1.51:	0.42:	-0.58:	0.00:	-1.03:
BI_MP_D		<u>2.91:</u>	-0.48:	-1.39:	-0.34:	-0.55:	<u>2.91:</u>	0.00:	-0.60:
BI_CP_P		0.00:	0.00:	0.00:	0.00:	0.00:	0.00:	0.00:	0.00:
BI_CP_P		-0.19:	-0.27:	-0.79:	-0.19:	-0.31:	<u>5.34:</u>	0.00:	-0.34:
BI_CP_D		-0.62:	<u>3.41:</u>	1.19:	-0.62:	-1.00:	-0.62:	0.00:	0.08:
FBI_MP_		0.00:	<u>0.00:</u>	0.00:	0.00:	0.00:	0.00:	0.00:	0.00:
FBI_MP_		-0.19:	-0.27:	-0.79:	-0.19:	-0.31:	-0.19:	0.00:	-0.34:
FBI_MP_		-0.19:	-0.27:	-0.79:	-0.19:	-0.31:	-0.19:	0.00:	-0.34:
FBI_CP_		0.00:	0.00:	0.00:	0.00:	0.00:	0.00:	0.00:	0.00:
FBI_CP_		-0.19:	-0.27:	-0.79:	-0.19:	-0.31:	-0.19:	0.00:	-0.34:
FBI_CP_		-0.49:	-0.70:	<u>3.31:</u>	-0.49:	-0.79:	-0.49:	0.00:	-0.88:

Figura 31. Residuos ajustados correspondiente al retardo 0, obtenidos mediante el programa SDIS-GSEQ

Lag 1. ADJR. Adjusted residuals									
Given	Target	ES_RE	ES_DESP	ES_NC	MB_RE	MB_DESP	MB_NC	MPI_RE	MPI_DES
BI_MP_P		0.03:	0.04:	0.11:	-1.41:	0.51:	1.03:	0.00:	0.05:
BI_MP_P		1.49:	0.65:	-0.85:	-0.58:	-0.95:	-0.41:	0.00:	0.20:
BI_MP_D		-0.34:	-0.49:	-0.19:	-0.34:	-0.55:	-0.24:	0.00:	<u>3.26:</u>
BI_CP_P		0.00:	0.00:	0.00:	0.00:	0.00:	0.00:	0.00:	0.00:
BI_CP_P		-0.19:	-0.28:	-0.80:	-0.19:	-0.31:	-0.13:	0.00:	-0.35:
BI_CP_D		-0.58:	0.65:	-0.07:	1.49:	0.40:	-0.41:	0.00:	-1.05:
FBI_MP_		0.00:	0.00:	0.00:	0.00:	0.00:	0.00:	0.00:	0.00:
FBI_MP_		-0.19:	-0.28:	1.27:	-0.19:	-0.31:	-0.13:	0.00:	-0.35:
FBI_MP_		-0.19:	-0.28:	-0.80:	-0.19:	-0.31:	-0.13:	0.00:	-0.35:
FBI_CP_		0.00:	0.00:	0.00:	0.00:	0.00:	0.00:	0.00:	0.00:
FBI_CP_		-0.19:	-0.28:	1.27:	-0.19:	-0.31:	-0.13:	0.00:	-0.35:
FBI_CP_		-0.49:	-0.71:	0.61:	1.85:	0.72:	-0.35:	0.00:	-0.89:

Given	Target	MPI_NC	CU_RE	CU_DESP	CU_NC	NM_RE	NM_DESP	NM_NC
BI_MP_P		0.03:	0.00:	-1.41:	-0.99:	0.00:	0.00:	0.76:
BI_MP_P		-0.58:	0.00:	<u>3.56:</u>	<u>2.50:</u>	0.00:	0.00:	-1.41:
BI_MP_D		-0.34:	0.00:	-0.34:	-0.24:	0.00:	0.00:	-0.82:
BI_CP_P		0.00:	0.00:	0.00:	0.00:	0.00:	0.00:	0.00:
BI_CP_P		-0.19:	0.00:	-0.19:	-0.13:	0.00:	0.00:	<u>2.19:</u>
BI_CP_D		-0.58:	0.00:	-0.58:	-0.41:	0.00:	0.00:	0.60:
FBI_MP_		0.00:	0.00:	0.00:	0.00:	0.00:	0.00:	0.00:
FBI_MP_		-0.19:	0.00:	-0.19:	-0.13:	0.00:	0.00:	-0.47:
FBI_MP_		<u>5.29:</u>	0.00:	-0.19:	-0.13:	0.00:	0.00:	-0.47:
FBI_CP_		0.00:	0.00:	0.00:	0.00:	0.00:	0.00:	0.00:
FBI_CP_		-0.19:	0.00:	-0.19:	-0.13:	0.00:	0.00:	-0.47:
FBI_CP_		-0.49:	0.00:	-0.49:	-0.35:	0.00:	0.00:	-0.06:

Figura 32. Residuos ajustados correspondiente al retardo 1, obtenidos mediante el programa SDIS-GSEQ

Lag 2. ADJR. Adjusted residuals									
Given	Target								
	ES_RE	ES_DESP	ES_NC	MB_RE	MB_DESP	MB_NC	MPI_RE	MPI_DES	
BI_MP_P	0.00:	0.00:	0.55:	0.00:	-0.47:	1.01:	0.00:	0.86:	
BI_MP_P	1.47:	-0.85:	-1.68:	-0.59:	0.38:	-0.41:	0.00:	1.41:	
BI_MP_D	-0.34:	-0.49:	-1.43:	2.86:	-0.56:	-0.24:	0.00:	-0.62:	
BI_CP_P	0.00:	0.00:	0.00:	0.00:	0.00:	0.00:	0.00:	0.00:	
BI_CP_P	-0.19:	-0.28:	1.25:	-0.19:	-0.32:	-0.14:	0.00:	-0.35:	
BI_CP_D	-0.54:	-0.78:	2.69:	-0.54:	0.53:	-0.38:	0.00:	-0.98:	
FBI_MP_	0.00:	0.00:	0.00:	0.00:	0.00:	0.00:	0.00:	0.00:	
FBI_MP_	-0.19:	-0.28:	-0.81:	-0.19:	3.22:	-0.14:	0.00:	-0.35:	
FBI_MP_	-0.19:	-0.28:	1.25:	-0.19:	-0.32:	-0.14:	0.00:	-0.35:	
FBI_CP_	0.00:	0.00:	0.00:	0.00:	0.00:	0.00:	0.00:	0.00:	
FBI_CP_	-0.19:	-0.28:	-0.81:	-0.19:	-0.32:	-0.14:	0.00:	-0.35:	
FBI_CP_	-0.50:	2.64:	-1.20:	-0.50:	-0.81:	-0.35:	0.00:	-0.90:	

Given	Target								
	MPI_NC	CU_RE	CU_DESP	CU_NC	NM_RE	NM_DESP	NM_NC		
BI_MP_P	0.00:	0.00:	0.00:	-1.01:	0.00:	0.00:	-1.09:		
BI_MP_P	-0.59:	0.00:	-0.59:	-0.41:	0.00:	0.00:	1.78:		
BI_MP_D	2.86:	0.00:	-0.34:	-0.24:	0.00:	0.00:	0.84:		
BI_CP_P	0.00:	0.00:	0.00:	0.00:	0.00:	0.00:	0.00:		
BI_CP_P	-0.19:	0.00:	-0.19:	-0.14:	0.00:	0.00:	-0.44:		
BI_CP_D	-0.54:	0.00:	-0.54:	-0.38:	0.00:	0.00:	-1.24:		
FBI_MP_	0.00:	0.00:	0.00:	0.00:	0.00:	0.00:	0.00:		
FBI_MP_	-0.19:	0.00:	-0.19:	-0.14:	0.00:	0.00:	-0.44:		
FBI_MP_	-0.19:	0.00:	-0.19:	-0.14:	0.00:	0.00:	-0.44:		
FBI_CP_	0.00:	0.00:	0.00:	0.00:	0.00:	0.00:	0.00:		
FBI_CP_	-0.19:	0.00:	-0.19:	-0.14:	0.00:	0.00:	2.31:		
FBI_CP_	-0.50:	0.00:	1.83:	2.91:	0.00:	0.00:	0.04:		

Figura 33. Residuos ajustados correspondiente al retardo 2, obtenidos mediante el programa SDIS-GSEQ

Lag 3. ADJR. Adjusted residuals									
Given	Target	ES_RE	ES_DESP	ES_NC	MB_RE	MB_DESP	MB_NC	MPI_RE	MPI_DES
BI_MP_P	-1.41:	1.08:	0.94:	1.47:	-0.43:	-0.99:	0.00:	0.05:	
BI_MP_P	-0.59:	-0.86:	0.74:	-0.59:	-0.97:	-0.42:	0.00:	1.38:	
BI_MP_D	-0.35:	1.79:	-0.18:	-0.35:	-0.56:	<u>4.20:</u>	0.00:	-0.62:	
BI_CP_P	0.00:	0.00:	0.00:	0.00:	0.00:	0.00:	0.00:	0.00:	
BI_CP_P	-0.20:	-0.28:	-0.79:	-0.20:	<u>3.19:</u>	-0.14:	0.00:	-0.35:	
BI_CP_D	1.61:	-0.79:	-0.56:	-0.55:	<u>0.51:</u>	-0.39:	0.00:	-0.99:	
FBI_MP_	0.00:	0.00:	0.00:	0.00:	0.00:	0.00:	0.00:	0.00:	
FBI_MP_	-0.20:	-0.28:	-0.79:	-0.20:	-0.32:	-0.14:	0.00:	-0.35:	
FBI_MP_	-0.20:	-0.28:	-0.79:	-0.20:	<u>3.19:</u>	-0.14:	0.00:	-0.35:	
FBI_CP_	0.00:	0.00:	0.00:	0.00:	0.00:	0.00:	0.00:	0.00:	
FBI_CP_	-0.20:	-0.28:	-0.79:	-0.20:	-0.32:	-0.14:	0.00:	-0.35:	
FBI_CP_	1.81:	-0.73:	-0.26:	-0.50:	-0.82:	-0.35:	0.00:	0.48:	
Given	Target	MPI_NC	CU_RE	CU_DESP	CU_NC	NM_RE	NM_DESP	NM_NC	
BI_MP_P	0.03:	0.00:	-1.41:	1.03:	0.00:	0.00:	-1.03:		
BI_MP_P	-0.59:	0.00:	1.45:	-0.42:	0.00:	0.00:	-0.32:		
BI_MP_D	-0.35:	0.00:	-0.35:	-0.24:	0.00:	0.00:	-0.79:		
BI_CP_P	0.00:	0.00:	0.00:	0.00:	0.00:	0.00:	0.00:		
BI_CP_P	-0.20:	0.00:	-0.20:	-0.14:	0.00:	0.00:	-0.45:		
BI_CP_D	-0.55:	0.00:	1.61:	-0.39:	0.00:	0.00:	0.93:		
FBI_MP_	0.00:	0.00:	0.00:	0.00:	0.00:	0.00:	0.00:		
FBI_MP_	-0.20:	0.00:	-0.20:	-0.14:	0.00:	0.00:	<u>2.28:</u>		
FBI_MP_	-0.20:	0.00:	-0.20:	-0.14:	0.00:	0.00:	-0.45:		
FBI_CP_	0.00:	0.00:	0.00:	0.00:	0.00:	0.00:	0.00:		
FBI_CP_	5.20:	0.00:	-0.20:	-0.14:	0.00:	0.00:	-0.45:		
FBI_CP_	-0.50:	0.00:	-0.50:	-0.35:	0.00:	0.00:	1.19:		

Figura 34. Residuos ajustados correspondiente al retardo 3, obtenidos mediante el programa SDIS-GSEQ

#### 4.2.1.4 Relación entre el momento de anticipación y el resultado:

Presentamos a continuación las relaciones de las conductas de anticipación con su resultado tanto para patrones como para comportamientos (ver las instrucciones de análisis –fichero .gsq- en Figura 35).

##### ■ Patrones de conducta

- ▶ Se encuentra en la bisectriz, mantiene la misma posición y está equilibrado en posición baja: poste (2.11, retardo -1) (Figura 37).
- ▶ Se encuentra en la bisectriz, está cambiando de posición y está desequilibrado: intercepta un defensor (2.06, retardo -2 (Figura 36); 3.20, retardo -1 (Figura 37); 2.34, retardo 1 (Figura 38)).
- ▶ Se encuentra fuera de la bisectriz, mantiene la misma posición y está equilibrado en posición alta: poste (3.67, retardo 1) (Figura 38).

##### ■ Comportamientos

- ▶ Se encuentra en la bisectriz, está cambiando de posición y está equilibrado en posición alta: poste (3.64, retardo 2) (Figura 39).
- ▶ Se encuentra en la bisectriz, mantiene la misma posición y está equilibrado en posición alta: poste (2.12, retardo -2) (Figura 36), intercepta un defensa (2.34, retardo -1) (Figura 37).

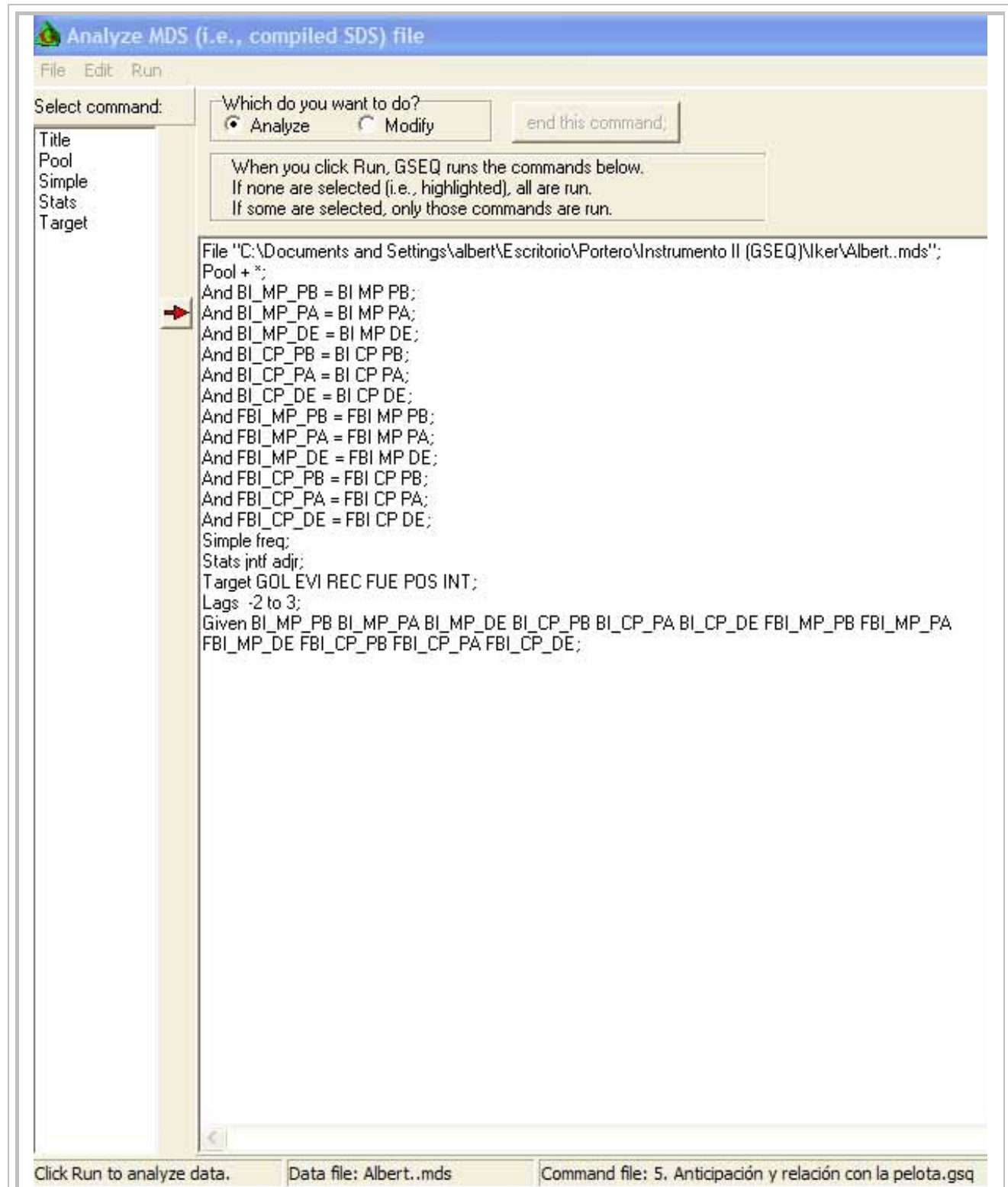


Figura 35. Análisis de las relaciones del momento de anticipación y el resultado (fichero .gsq)

Given	Target	Lag -2. ADJR. Adjusted residuals					
		GOL	EVI	REC	FUE	POS	INT
BI_MP_P		0.62:	2.08:	-1.85:	0.32:	-1.04:	0.40:
BI_MP_P		-0.88:	-0.85:	1.76:	-0.78:	<u>2.12:</u>	-1.15:
BI_MP_D		-1.03:	-0.49:	1.71:	-0.98:	1.81:	-0.67:
BI_CP_P		0.00:	0.00:	0.00:	0.00:	0.00:	0.00:
BI_CP_P		0.00:	0.00:	0.00:	0.00:	0.00:	0.00:
BI_CP_D		1.47:	-0.91:	-1.05:	-0.94:	-0.91:	<u>2.06:</u>
FBI_MP_		0.00:	0.00:	0.00:	0.00:	0.00:	<u>0.00:</u>
FBI_MP_		0.00:	0.00:	0.00:	0.00:	0.00:	0.00:
FBI_MP_		-0.58:	-0.28:	-0.58:	1.84:	-0.28:	-0.38:
FBI_CP_		0.00:	0.00:	0.00:	0.00:	0.00:	0.00:
FBI_CP_		-0.58:	-0.28:	1.75:	-0.55:	-0.28:	-0.38:
FBI_CP_		-0.50:	-0.72:	0.50:	1.64:	-0.72:	-0.98:

Figura 36. Residuos ajustados correspondiente al retardo -2, obtenidos mediante el programa SDIS-GSEQ

Given	Target	Lag -1. ADJR. Adjusted residuals					
		GOL	EVI	REC	FUE	POS	INT
BI_MP_P		-0.54:	1.07:	0.98:	-0.24:	<u>2.11:</u>	-2.78:
BI_MP_P		0.92:	0.65:	-0.96:	-1.66:	-0.84:	<u>2.34:</u>
BI_MP_D		1.74:	-0.49:	-1.06:	0.45:	-0.49:	-0.67:
BI_CP_P		0.00:	0.00:	0.00:	0.00:	0.00:	0.00:
BI_CP_P		0.00:	0.00:	0.00:	0.00:	0.00:	0.00:
BI_CP_D		-1.87:	-0.90:	-0.30:	0.82:	-0.90:	<u>3.20:</u>
FBI_MP_		0.00:	0.00:	0.00:	0.00:	0.00:	0.00:
FBI_MP_		-0.58:	-0.28:	-0.60:	1.86:	-0.28:	-0.38:
FBI_MP_		-0.58:	-0.28:	-0.60:	1.86:	-0.28:	-0.38:
FBI_CP_		0.00:	0.00:	0.00:	0.00:	0.00:	0.00:
FBI_CP_		1.77:	-0.28:	-0.60:	-0.55:	-0.28:	-0.38:
FBI_CP_		0.53:	-0.71:	1.39:	-0.38:	-0.71:	-0.97:

Figura 37. Residuos ajustados correspondiente al retardo -1, obtenidos mediante el programa SDIS-GSEQ

Given	Target					
	GOL	EVI	REC	FUE	POS	INT
BI_MP_P	1.31:	-1.00:	-0.51:	0.72:	0.04:	-1.16:
BI_MP_P	0.03:	0.65:	1.49:	-0.64:	-0.84:	-1.14:
BI_MP_D	0.36:	-0.49:	1.53:	-0.92:	-0.49:	-0.67:
BI_CP_P	0.00:	0.00:	0.00:	0.00:	0.00:	0.00:
BI_CP_P	1.77:	-0.28:	-0.63:	-0.52:	-0.28:	-0.38:
BI_CP_D	-1.74:	0.65:	-0.21:	0.30:	-0.84:	<u>2.34:</u>
FBI_MP_	0.00:	0.00:	0.00:	0.00:	0.00:	0.00:
FBI_MP_	-0.58:	-0.28:	-0.63:	-0.52:	<u>3.67:</u>	-0.38:
FBI_MP_	1.77:	-0.28:	-0.63:	-0.52:	-0.28:	-0.38:
FBI_CP_	0.00:	0.00:	0.00:	0.00:	0.00:	0.00:
FBI_CP_	-0.58:	-0.28:	-0.63:	<u>1.95:</u>	-0.28:	-0.38:
FBI_CP_	-1.48:	0.98:	-0.66:	-0.28:	0.98:	1.66:

Figura 38. Residuos ajustados correspondiente al retardo 1, obtenidos mediante el programa SDIS-GSEQ

Given	Target					
	GOL	EVI	REC	FUE	POS	INT
BI_MP_P	0.95:	0.00:	0.59:	-1.30:	0.00:	-0.40:
BI_MP_P	0.13:	0.64:	-0.24:	0.27:	-0.85:	0.00:
BI_MP_D	0.43:	1.81:	-1.13:	-0.93:	-0.49:	1.12:
BI_CP_P	0.00:	0.00:	0.00:	0.00:	0.00:	0.00:
BI_CP_P	-0.55:	-0.28:	-0.64:	-0.53:	<u>3.64:</u>	-0.38:
BI_CP_D	-0.60:	-0.78:	-0.89:	0.49:	0.78:	1.37:
FBI_MP_	0.00:	0.00:	0.00:	0.00:	0.00:	0.00:
FBI_MP_	-0.55:	-0.28:	1.60:	-0.53:	-0.28:	-0.38:
FBI_MP_	-0.55:	-0.28:	-0.64:	1.93:	-0.28:	-0.38:
FBI_CP_	0.00:	0.00:	0.00:	0.00:	0.00:	0.00:
FBI_CP_	1.84:	-0.28:	-0.64:	-0.53:	-0.28:	-0.38:
FBI_CP_	-1.43:	-0.72:	1.23:	1.81:	-0.72:	-0.98:

Figura 39. Residuos ajustados correspondiente al retardo 2, obtenidos mediante el programa SDIS-GSEQ

#### 4.2.1.5 Relación entre el momento de reacción y el resultado:

Presentamos a continuación las relaciones de las conductas de reacción con su resultado (ver las instrucciones de análisis –fichero .gsq- en Figura 40):

- Movimiento de brazos y despeje de la pelota:
  - a. rechaza la pelota (3.79, retardo 0) (Figura 43);
- Movimiento de brazos pero no toca la pelota:
  - a. la pelota va al poste (2.40, retardo -2) (Figura 41);
  - b. la pelota va fuera (2.68, retardo 0) (Figura 43).
- Movimiento de brazos y recoge la pelota:
  - a. el portero se hace con la pelota (2.40, retardo -2 (Figura 41); 5.29, retardo 0 (Figura 43)).
- Movimiento de piernas y despeja la pelota:
  - a. despeja la pelota (3.23, retardo 0) (Figura 43).
- Movimiento de piernas pero no toca la pelota:
  - a. la pelota va fuera (2.79, retardo -1 (Figura 42); 2.59, retardo 3 (Figura 46));
  - b. gol (2.55, retardo 0) (Figura 43).
- Estirada pero no toca la pelota:
  - a. la pelota va al poste (2.65, retardo 0) (Figura 43).
- Estirada y despeja la pelota:
  - a. el portero rechaza la pelota (3.36, retardo 0) (Figura 43);
  - b. gol (2.40, retardo 2) (Figura 45).

- Estirada y recoge la pelota:
  - a. se hace con la pelota (5.29, retardo 0 (Figura 43); 2.40, retardo 2 (Figura 45)).
- No hace nada y no hay contacto con la pelota:
  - a. gol (3.10, retardo 3) (Figura 46).
- Opone el cuerpo como pared y despeja la pelota:
  - a. rechaza la pelota (2.33, retardo 0) (Figura 43).
- Opone el cuerpo como pared pero no toca la pelota:
  - a. la pelota va al poste (3.67, retardo 1) (Figura 44);
  - b. un defensa evita el gol (2.67, retardo 2) (Figura 45).

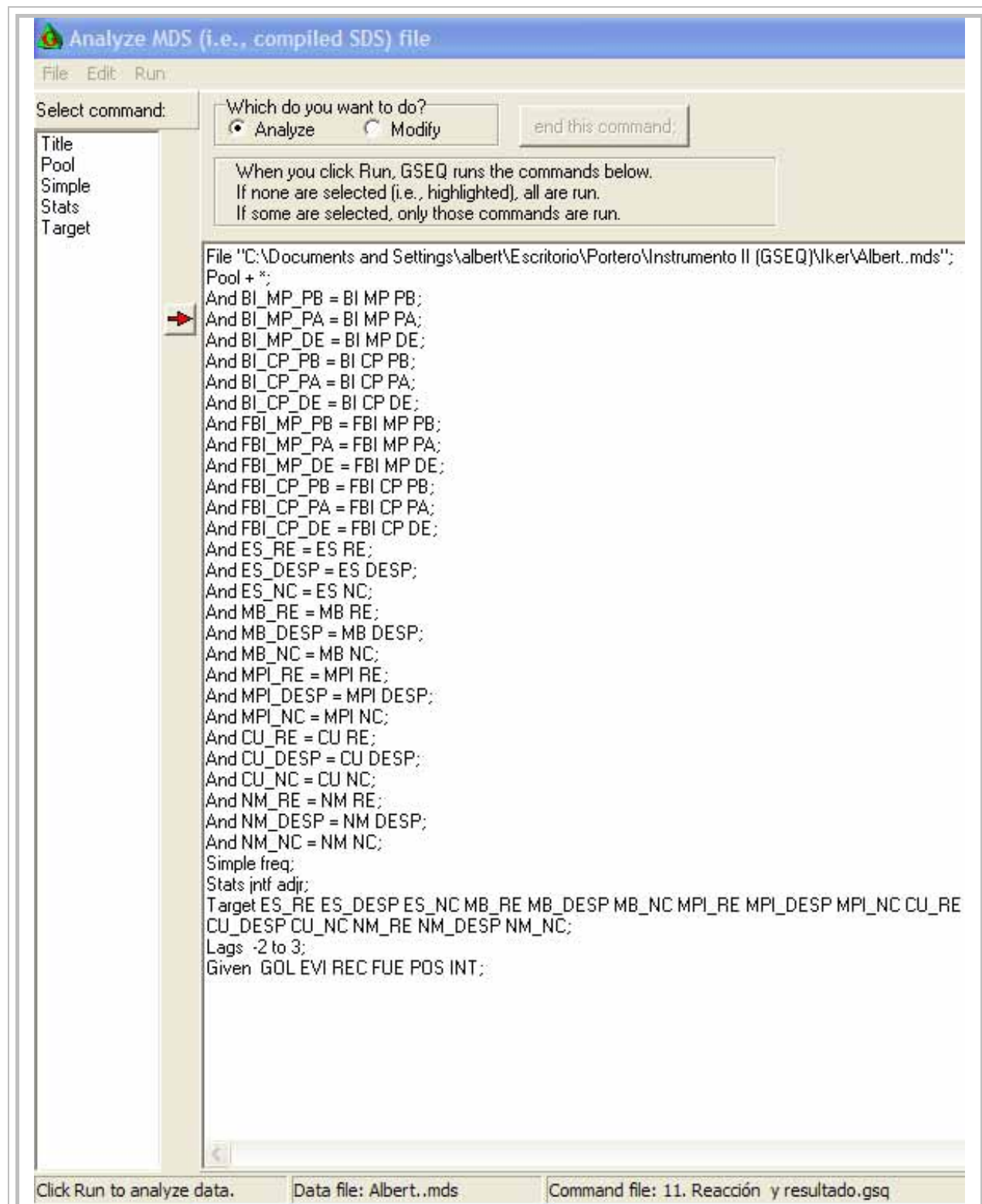


Figura 40. Análisis de las relaciones del momento de reacción y el resultado (fichero .gsq)

Lag -2. ADJR. Adjusted residuals									
Given	Target								
	ES_RE	ES_DESP	ES_NC	MB_RE	MB_DESP	MB_NC	MPI_RE	MPI_DES	
GOL	0.91:	0.91:	0.58:	-0.79:	-0.18:	-0.79:	0.00:	-1.43:	
EVI	-0.40:	-0.40:	-0.61:	<u>2.40:</u>	1.17:	<u>2.40:</u>	0.00:	-0.72:	
REC	0.68:	0.68:	-0.78:	-0.91:	0.59:	-0.91:	0.00:	-1.64:	
FUE	-0.75:	-0.75:	0.19:	1.00:	-0.08:	-0.75:	0.00:	1.81:	
POS	-0.40:	-0.40:	-0.61:	-0.40:	-0.65:	<u>2.40:</u>	0.00:	<u>2.64:</u>	
INT	-0.54:	-0.54:	1.03:	-0.54:	-0.89:	-0.54:	0.00:	0.33:	

Given	Target								
	MPI_NC	CU_RE	CU_DESP	CU_NC	NM_RE	NM_DESP	NM_NC		
GOL	-0.79:	0.00:	0.91:	-0.55:	0.00:	0.00:	0.56:		
EVI	-0.40:	0.00:	-0.40:	-0.28:	0.00:	0.00:	-0.97:		
REC	<u>2.28:</u>	0.00:	-0.91:	1.60:	0.00:	0.00:	0.88:		
FUE	-0.75:	0.00:	1.00:	-0.53:	0.00:	0.00:	-0.97:		
POS	-0.40:	0.00:	-0.40:	-0.28:	0.00:	0.00:	-0.97:		
INT	-0.54:	0.00:	-0.54:	-0.38:	0.00:	0.00:	0.79:		

Figura 41. Residuos ajustados correspondiente al retardo -2, obtenidos mediante el programa SDIS-GSEQ

Lag -1. ADJR. Adjusted residuals									
Given	Target								
	MPI_NC	CU_RE	CU_DESP	CU_NC	NM_RE	NM_DESP	NM_NC		--
GOL	-0.82:	0.00:	0.85:	-0.58:	0.00:	0.00:	0.44:		--
EVI	-0.40:	0.00:	-0.40:	<u>3.67:</u>	0.00:	0.00:	-0.96:		--
REC	-0.90:	0.00:	0.70:	-0.63:	0.00:	0.00:	0.92:		--
FUE	<u>2.79:</u>	0.00:	-0.74:	-0.52:	0.00:	0.00:	-0.94:		--
POS	-0.40:	0.00:	-0.40:	-0.28:	0.00:	0.00:	1.77:		--
INT	-0.54:	0.00:	-0.54:	-0.38:	0.00:	0.00:	-1.30:		--

Figura 42. Residuos ajustados correspondiente al retardo -1, obtenidos mediante el programa SDIS-GSEQ

Lag 0. ADJR. Adjusted residuals									
Given	Target	ES_RE	ES_DESP	ES_NC	MB_RE	MB_DESP	MB_NC	MPI_RE	MPI_DES
GOL	-0.81:	-1.17:	1.70:	-0.81:	-1.32:	-0.81:	0.00:	-0.45:	
EVI	5.29:	-0.56:	-1.62:	5.29:	-0.64:	-0.39:	0.00:	-0.70:	
REC	-0.89:	3.36:	-3.67:	-0.89:	3.79:	-0.89:	0.00:	3.23:	
FUE	-0.77:	-1.11:	0.69:	-0.77:	-1.26:	2.68:	0.00:	-1.39:	
POS	-0.39:	-0.56:	2.65:	-0.39:	-0.64:	-0.39:	0.00:	-0.70:	
INT	-0.53:	-0.77:	1.12:	-0.53:	-0.87:	-0.53:	0.00:	-0.96:	

Given	Target	MPI_NC	CU_RE	CU_DESP	CU_NC	NM_RE	NM_DESP	NM_NC
GOL	2.55:	0.00:	-0.81:	-0.57:	0.00:	0.00:	0.48:	
EVI	-0.39:	0.00:	-0.39:	-0.27:	0.00:	0.00:	-0.95:	
REC	-0.89:	0.00:	2.33:	-0.62:	0.00:	0.00:	-2.15:	
FUE	-0.77:	0.00:	-0.77:	1.88:	0.00:	0.00:	1.47:	
POS	-0.39:	0.00:	-0.39:	-0.27:	0.00:	0.00:	-0.95:	
INT	-0.53:	0.00:	-0.53:	-0.37:	0.00:	0.00:	1.91:	

Figura 43. Residuos ajustados correspondiente al retardo 0, obtenidos mediante el programa SDIS-GSEQ

Lag 1. ADJR. Adjusted residuals									
Given	Target	ES_RE	ES_DESP	ES_NC	MB_RE	MB_DESP	MB_NC	MPI_RE	MPI_DES
GOL	-0.82:	-1.18:	0.38:	0.85:	-1.34:	1.77:	0.00:	-0.47:	
EVI	-0.40:	1.46:	-0.58:	-0.40:	-0.64:	-0.28:	0.00:	2.67:	
REC	-0.86:	-0.06:	-0.49:	0.77:	-0.34:	-0.60:	0.00:	-0.57:	
FUE	2.65:	0.11:	-0.01:	-0.78:	-0.16:	-0.55:	0.00:	0.65:	
POS	-0.40:	-0.57:	-0.58:	-0.40:	3.02:	-0.28:	0.00:	-0.71:	
INT	-0.54:	0.80:	1.08:	-0.54:	0.55:	-0.38:	0.00:	-0.97:	

Given	Target	MPI_NC	CU_RE	CU_DESP	CU_NC	NM_RE	NM_DESP	NM_NC
GOL	0.85:	0.00:	-0.82:	-0.58:	0.00:	0.00:	1.25:	
EVI	-0.40:	0.00:	-0.40:	-0.28:	0.00:	0.00:	-0.96:	
REC	0.77:	0.00:	0.77:	-0.60:	0.00:	0.00:	1.08:	
FUE	-0.78:	0.00:	-0.78:	-0.55:	0.00:	0.00:	-0.23:	
POS	-0.40:	0.00:	-0.40:	3.67:	0.00:	0.00:	-0.96:	
INT	-0.54:	0.00:	1.65:	-0.38:	0.00:	0.00:	-1.30:	

Figura 44. Residuos ajustados correspondiente al retardo 1, obtenidos mediante el programa SDIS-GSEQ

Lag 2. ADJR. Adjusted residuals								
Given	Target							
	ES_RE	ES_DESP	ES_NC	MB_RE	MB_DESP	MB_NC	MPI_RE	MPI DES
GOL	-0.83:	2.40:	-0.32:	-0.83:	0.81:	-0.58:	0.00:	-0.50:
EVI	<u>2.40:</u>	-0.58:	-1.67:	-0.40:	-0.65:	-0.28:	0.00:	0.96:
REC	-0.83:	-1.20:	0.95:	0.83:	0.81:	1.75:	0.00:	-0.50:
FUE	-0.79:	-1.14:	-0.07:	0.91:	-1.29:	-0.55:	0.00:	1.64:
POS	2.40:	-0.58:	0.46:	-0.40:	-0.65:	-0.28:	0.00:	-0.72:
INT	-0.54:	0.78:	0.21:	-0.54:	0.53:	-0.38:	0.00:	-0.98:

Given	Target							
	MPI_NC	CU_RE	CU_DESP	CU_NC	NM_RE	NM_DESP	NM_NC	
GOL	-0.83:	0.00:	0.83:	-0.58:	0.00:	0.00:	-0.21:	
EVI	<u>2.40:</u>	0.00:	-0.40:	-0.28:	0.00:	0.00:	0.50:	
REC	-0.83:	0.00:	-0.83:	-0.58:	0.00:	0.00:	-0.21:	
FUE	0.91:	0.00:	-0.79:	-0.55:	0.00:	0.00:	0.78:	
POS	-0.40:	0.00:	-0.40:	-0.28:	0.00:	0.00:	0.50:	
INT	-0.54:	0.00:	1.63:	<u>2.67:</u>	0.00:	0.00:	-1.24:	

Figura 45. Residuos ajustados correspondiente al retardo 2, obtenidos mediante el programa SDIS-GSEQ

Lag 3. ADJR. Adjusted residuals								
Given	Target							
	ES_RE	ES_DESP	ES_NC	MB_RE	MB_DESP	MB_NC	MPI_RE	MPI DES
GOL	-0.84:	1.17:	-0.86:	0.81:	-0.29:	-0.59:	0.00:	-1.52:
EVI	-0.40:	-0.58:	-0.56:	-0.40:	-0.66:	<u>3.60:</u>	0.00:	0.94:
REC	0.81:	1.17:	0.42:	0.81:	-1.37:	-0.59:	0.00:	0.47:
FUE	-0.80:	-1.16:	0.68:	-0.80:	<u>2.01:</u>	-0.56:	0.00:	-0.43:
POS	-0.40:	-0.58:	-0.56:	-0.40:	-0.66:	-0.28:	0.00:	<u>2.60:</u>
INT	1.81:	-0.73:	0.63:	-0.50:	0.68:	-0.35:	0.00:	-0.91:

Given	Target							
	MPI_NC	CU_RE	CU_DESP	CU_NC	NM_RE	NM_DESP	NM_NC	
GOL	-0.84:	0.00:	-0.84:	-0.59:	0.00:	0.00:	<u>3.10:</u>	
EVI	-0.40:	0.00:	-0.40:	-0.28:	0.00:	0.00:	0.48:	
REC	-0.84:	0.00:	0.81:	1.73:	0.00:	0.00:	-1.92:	
FUE	2.59:	0.00:	0.89:	-0.56:	0.00:	0.00:	-1.83:	
POS	-0.40:	0.00:	-0.40:	-0.28:	0.00:	0.00:	0.48:	
INT	-0.50:	0.00:	-0.50:	-0.35:	0.00:	0.00:	0.02:	

Figura 46. Residuos ajustados correspondiente al retardo 3, obtenidos mediante el programa SDIS-GSEQ

#### 4.2.1.6 Relación entre el momento de anticipación y reacción con su resultado:

Presentamos a continuación las relaciones de las conductas de anticipación y reacción con su resultado (ver las instrucciones de análisis – fichero .gsq- en Figuras 47, 54, 58, 61):

- Se encuentra en la bisectriz, mantiene la misma posición y está equilibrado en posición baja:
  - Estirada y recoge la pelota: el portero se hace con la pelota (3.00, retardo 0 (Figura 50); 3.00, retardo -2 (Figura 48)).
  - Movimiento de brazo y recoge la pelota: el portero se hace con la pelota (3.00, retardo 0 (Figura 50); 3.00, retardo 2 (Figura 52)).
  - Movimiento de brazo y despeja la pelota: rechaza la pelota (3.17, retardo 0 (Figura 50); 2.15, retardo 3 (Figura 53)); gol (2.02, retardo 1 (Figura 51)).
  - Movimiento de pierna y despeje de la pelota: rechaza la pelota (2.55, retardo 0) (Figura 50).
  - Movimiento de pierna pero no hay contacto: gol (3.10, retardo 0) (Figura 50); fuera (2.86, retardo 1) (Figura 51).
  - No hace nada y no hay contacto: un defensa intercepta la pelota (2.77, retardo 0) (Figura 50); poste (3.00, retardo -1) (Figura 49).
- Se encuentra en la bisectriz, mantiene la misma posición y está equilibrado en posición alta:
  - Estirada y no hay contacto con la pelota: poste (2.31, retardo 0) (Figura 50).
- Se encuentra en la bisectriz, mantiene la misma posición y está desequilibrado:
  - No hace nada y no toca la pelota: gol (2.17, retardo 0) (Figura 50); intercepta la pelota un defensa (2.64, retardo 2) (Figura 52).

```

File "C:\Documents and Settings\albert\Escritorio\Portero\Instrumento II (GSEQ)\Nker\Albert..mds";
Pool + *;
And BI_MP_PB_ES_RE = BI_MP_PB_ES RE;
And BI_MP_PB_ES_DESP = BI_MP_PB_ES DESP;
And BI_MP_PB_ES_NC = BI_MP_PB_ES NC;
And BI_MP_PB_MB_RE = BI_MP_PB_MB RE;
And BI_MP_PB_MB_DESP = BI_MP_PB_MB DESP;
And BI_MP_PB_MB_NC = BI_MP_PB_MB NC;
And BI_MP_PB_MPI_RE = BI_MP_PB_MPI RE;
And BI_MP_PB_MPI_DESP = BI_MP_PB_MPI DESP;
And BI_MP_PB_MPI_NC = BI_MP_PB_MPI NC;
And BI_MP_PB_CU_RE = BI_MP_PB_CU RE;
And BI_MP_PB_CU_DESP = BI_MP_PB_CU DESP;
And BI_MP_PB_CU_NC = BI_MP_PB_CU NC;
And BI_MP_PB_NM_RE = BI_MP_PB_NM RE;
And BI_MP_PB_NM_DESP = BI_MP_PB_NM DESP;
And BI_MP_PB_NM_NC = BI_MP_PB_NM NC;
And BI_MP_PA_ES_RE = BI_MP_PA_ES RE;
And BI_MP_PA_ES_DESP = BI_MP_PA_ES DESP;
And BI_MP_PA_ES_NC = BI_MP_PA_ES NC;
And BI_MP_PA_MB_RE = BI_MP_PA_MB RE;
And BI_MP_PA_MB_DESP = BI_MP_PA_MB DESP;
And BI_MP_PA_MB_NC = BI_MP_PA_MB NC;
And BI_MP_PA_MPI_RE = BI_MP_PA_MPI RE;
And BI_MP_PA_MPI_DESP = BI_MP_PA_MPI DESP;
And BI_MP_PA_MPI_NC = BI_MP_PA_MPI NC;
And BI_MP_PA_CU_RE = BI_MP_PA_CU RE;
And BI_MP_PA_CU_DESP = BI_MP_PA_CU DESP;
And BI_MP_PA_CU_NC = BI_MP_PA_CU NC;
And BI_MP_PA_NM_RE = BI_MP_PA_NM RE;
And BI_MP_PA_NM_DESP = BI_MP_PA_NM DESP;
And BI_MP_PA_NM_NC = BI_MP_PA_NM NC;
And BI_MP_DE_ES_RE = BI_MP_DE_ES RE;
And BI_MP_DE_ES_DESP = BI_MP_DE_ES DESP;
And BI_MP_DE_ES_NC = BI_MP_DE_ES NC;
And BI_MP_DE_MB_RE = BI_MP_DE_MB RE;
And BI_MP_DE_MB_DESP = BI_MP_DE_MB DESP;
And BI_MP_DE_MB_NC = BI_MP_DE_MB NC;
And BI_MP_DE_MPI_RE = BI_MP_DE_MPI RE;
And BI_MP_DE_MPI_DESP = BI_MP_DE_MPI DESP;
And BI_MP_DE_MPI_NC = BI_MP_DE_MPI NC;
And BI_MP_DE_CU_RE = BI_MP_DE_CU RE;
| And BI_MP_DE_CU_DESP = BI_MP_DE_CU DESP;
| And BI_MP_DE_CU_NC = BI_MP_DE_CU NC;
| And BI_MP_DE_NM_RE = BI_MP_DE_NM RE;
| And BI_MP_DE_NM_DESP = BI_MP_DE_NM DESP;
| And BI_MP_DE_NM_NC = BI_MP_DE_NM NC;
Stats jntf;
Simple freq;
Stats jntf adjr;
Target GOL EVI REC FUE POS INT;
Lags -2 to 3;
Given BI_MP_PB_ES_RE BI_MP_PB_ES_DESP BI_MP_PB_ES_NC BI_MP_PB_MB_RE BI_MP_PB_MB_DESP BI_MP_PB_MB_NC
BI_MP_PB_MPI_RE BI_MP_PB_MPI_DESP BI_MP_PB_MPI_NC BI_MP_PB_CU_RE BI_MP_PB_CU_DESP BI_MP_PB_CU_NC
BI_MP_PB_NM_RE BI_MP_PB_NM_DESP BI_MP_PB_NM_NC BI_MP_PA_ES_RE BI_MP_PA_ES_DESP BI_MP_PA_ES_NC
BI_MP_PA_MB_RE BI_MP_PA_MB_DESP BI_MP_PA_MB_NC BI_MP_PA_MPI_RE BI_MP_PA_MPI_DESP BI_MP_PA_MPI_NC
BI_MP_PA_CU_RE BI_MP_PA_CU_DESP BI_MP_PA_CU_NC BI_MP_PA_NM_RE BI_MP_PA_NM_DESP BI_MP_PA_NM_NC
BI_MP_DE_ES_RE BI_MP_DE_ES_DESP BI_MP_DE_ES_NC BI_MP_DE_MB_RE BI_MP_DE_MB_DESP BI_MP_DE_MB_NC
BI_MP_DE_MPI_RE BI_MP_DE_MPI_DESP BI_MP_DE_MPI_NC BI_MP_DE_CU_RE BI_MP_DE_CU_DESP BI_MP_DE_CU_NC
BI_MP_DE_NM_RE BI_MP_DE_NM_DESP BI_MP_DE_NM_NC;
```

◀ ▶ ⏪ ⏩

ata.	Data file: Albert..mds	Command file: 50. Anticipación-Reacción y Resultado (BI-MP).gsq
------	------------------------	---

Figura 47. Análisis de las relaciones del momento de anticipación y reacción con el resultado

(cuando se encuentra en la bisectriz y en la misma posición) (fichero .gsq)

Lag -2. ADJR. Adjusted residuals							
Given	Target	GOL	EVI	REC	FUE	POS	INT
BI_MP_P		-0.55:	<u>3.00:</u>	-0.59:	-0.51:	-0.34:	-0.34:
BI_MP_P		1.85:	-0.34:	-0.59:	-0.51:	-0.34:	-0.34:
BI_MP_P		1.09:	-1.07:	-0.05:	-0.63:	0.23:	0.23:
BI_MP_P		-0.55:	-0.34:	-0.59:	<u>1.99:</u>	-0.34:	-0.34:
BI_MP_P		1.35:	-0.71:	-0.03:	-1.07:	-0.71:	1.03:
BI_MP_P		0.00:	0.00:	0.00:	0.00:	0.00:	0.00:
BI_MP_P		0.00:	0.00:	0.00:	0.00:	0.00:	0.00:
BI_MP_P		-1.31:	0.77:	-0.31:	<u>2.34:</u>	-0.81:	-0.81:
BI_MP_P		-0.80:	1.90:	-0.85:	<u>1.06:</u>	-0.49:	-0.49:
BI_MP_P		0.00:	0.00:	0.00:	0.00:	0.00:	0.00:
BI_MP_P		-0.55:	-0.34:	-0.59:	-0.51:	-0.34:	3.00:
BI_MP_P		-0.55:	-0.34:	-0.59:	-0.51:	-0.34:	3.00:
BI_MP_P		0.00:	0.00:	0.00:	0.00:	0.00:	0.00:
BI_MP_P		0.00:	0.00:	0.00:	0.00:	0.00:	0.00:
BI_MP_P		1.35:	1.03:	-1.24:	0.23:	-0.71:	-0.71:
BI_MP_P		0.00:	0.00:	0.00:	0.00:	0.00:	0.00:
BI_MP_P		0.00:	0.00:	0.00:	0.00:	0.00:	0.00:
BI_MP_P		-0.99:	-0.61:	1.69:	-0.92:	1.37:	-0.61:
BI_MP_P		-0.55:	-0.34:	1.73:	-0.51:	-0.34:	-0.34:
BI_MP_P		-0.55:	-0.34:	1.73:	-0.51:	-0.34:	-0.34:
BI_MP_P		0.00:	0.00:	0.00:	0.00:	0.00:	0.00:
BI_MP_P		0.00:	0.00:	0.00:	0.00:	0.00:	0.00:
BI_MP_P		0.00:	0.00:	0.00:	0.00:	0.00:	0.00:
BI_MP_P		0.00:	0.00:	0.00:	0.00:	0.00:	0.00:
BI_MP_P		1.85:	-0.34:	-0.59:	-0.51:	-0.34:	-0.34:
BI_MP_P		0.00:	0.00:	0.00:	0.00:	0.00:	0.00:
BI_MP_P		0.00:	0.00:	0.00:	0.00:	0.00:	0.00:
BI_MP_P		0.00:	0.00:	0.00:	0.00:	0.00:	0.00:
BI_MP_P		-0.80:	-0.49:	-0.85:	<u>1.06:</u>	1.90:	-0.49:
BI_MP_D		-0.55:	-0.34:	-0.59:	-0.51:	<u>3.00:</u>	-0.34:
BI_MP_D		0.00:	0.00:	0.00:	0.00:	0.00:	0.00:
BI_MP_D		0.00:	0.00:	0.00:	0.00:	0.00:	0.00:
BI_MP_D		0.00:	0.00:	0.00:	0.00:	0.00:	0.00:
BI_MP_D		0.00:	0.00:	0.00:	0.00:	0.00:	0.00:
BI_MP_D		-0.55:	-0.34:	1.73:	-0.51:	-0.34:	-0.34:
BI_MP_D		0.00:	0.00:	0.00:	0.00:	0.00:	0.00:
BI_MP_D		0.00:	0.00:	0.00:	0.00:	0.00:	0.00:
BI_MP_D		0.00:	0.00:	0.00:	0.00:	0.00:	0.00:
BI_MP_D		0.00:	0.00:	0.00:	0.00:	0.00:	0.00:
BI_MP_D		0.00:	0.00:	0.00:	0.00:	0.00:	0.00:
BI_MP_D		0.00:	0.00:	0.00:	0.00:	0.00:	0.00:
BI_MP_D		0.00:	0.00:	0.00:	0.00:	0.00:	0.00:
BI_MP_D		0.00:	0.00:	0.00:	0.00:	0.00:	0.00:
BI_MP_D		0.00:	0.00:	0.00:	0.00:	0.00:	0.00:
BI_MP_D		0.00:	0.00:	0.00:	0.00:	0.00:	0.00:
BI_MP_D		0.00:	0.00:	0.00:	0.00:	0.00:	0.00:
BI_MP_D		-0.55:	-0.34:	1.73:	-0.51:	-0.34:	-0.34:

Figura 48. Residuos ajustados correspondiente al retardo -2, obtenidos mediante el programa SDIS-GSEQ

Given	Target	Lag -1. ADJR. Adjusted residuals					
		GOL	EVI	REC	FUE	POS	INT
BI_MP_P	-0.63:	-0.34:	-0.59:	<u>2.17:</u>	-0.34:	-0.29:	
BI_MP_P	-0.63:	<u>3.00:</u>	-0.59:	-0.47:	-0.34:	-0.29:	
BI_MP_P	0.66:	-1.07:	-0.95:	1.62:	0.23:	-0.92:	
BI_MP_P	-0.63:	-0.34:	1.73:	-0.47:	-0.34:	-0.29:	
BI_MP_P	-1.32:	-0.71:	-0.03:	0.39:	<u>2.77:</u>	-0.61:	
BI_MP_P	0.00:	0.00:	0.00:	0.00:	0.00:	0.00:	
BI_MP_P	0.00:	0.00:	0.00:	0.00:	0.00:	0.00:	
BI_MP_P	-0.44:	<u>2.35:</u>	-0.31:	0.13:	-0.81:	-0.69:	
BI_MP_P	0.70:	-0.49:	0.81:	-0.68:	-0.49:	-0.42:	
BI_MP_P	0.00:	0.00:	0.00:	0.00:	0.00:	0.00:	
BI_MP_P	-0.63:	-0.34:	1.73:	-0.47:	-0.34:	-0.29:	
BI_MP_P	-0.63:	-0.34:	-0.59:	-0.47:	<u>3.00:</u>	-0.29:	
BI_MP_P	0.00:	0.00:	0.00:	0.00:	0.00:	0.00:	
BI_MP_P	0.00:	0.00:	0.00:	0.00:	0.00:	0.00:	
BI_MP_P	-0.15:	-0.71:	<u>2.39:</u>	-0.99:	-0.71:	-0.61:	
BI_MP_P	0.00:	0.00:	0.00:	0.00:	0.00:	0.00:	
BI_MP_P	0.00:	0.00:	0.00:	0.00:	0.00:	0.00:	
BI_MP_P	0.21:	1.37:	-1.06:	-0.84:	-0.61:	1.73:	
BI_MP_P	1.62:	-0.34:	-0.59:	-0.47:	-0.34:	-0.29:	
BI_MP_P	-0.63:	-0.34:	-0.59:	-0.47:	-0.34:	<u>3.51:</u>	
BI_MP_P	0.00:	0.00:	0.00:	0.00:	0.00:	0.00:	
BI_MP_P	0.00:	0.00:	0.00:	0.00:	0.00:	0.00:	
BI_MP_P	0.00:	0.00:	0.00:	0.00:	0.00:	0.00:	
BI_MP_P	0.00:	0.00:	0.00:	0.00:	0.00:	0.00:	
BI_MP_P	0.00:	0.00:	0.00:	0.00:	0.00:	0.00:	
BI_MP_P	-0.63:	-0.34:	-0.59:	-0.47:	-0.34:	<u>3.51:</u>	
BI_MP_P	0.00:	0.00:	0.00:	0.00:	0.00:	0.00:	
BI_MP_P	0.00:	0.00:	0.00:	0.00:	0.00:	0.00:	
BI_MP_P	0.00:	0.00:	0.00:	0.00:	0.00:	0.00:	
BI_MP_P	0.70:	-0.49:	0.81:	-0.68:	-0.49:	-0.42:	
BI_MP_D	-0.63:	-0.34:	-0.59:	<u>2.17:</u>	-0.34:	-0.29:	
BI_MP_D	0.00:	0.00:	0.00:	0.00:	0.00:	0.00:	
BI_MP_D	0.00:	0.00:	0.00:	0.00:	0.00:	0.00:	
BI_MP_D	0.00:	0.00:	0.00:	0.00:	0.00:	0.00:	
BI_MP_D	0.00:	0.00:	0.00:	0.00:	0.00:	0.00:	
BI_MP_D	1.62:	-0.34:	-0.59:	-0.47:	-0.34:	-0.29:	
BI_MP_D	0.00:	0.00:	0.00:	0.00:	0.00:	0.00:	
BI_MP_D	0.00:	0.00:	0.00:	0.00:	0.00:	0.00:	
BI_MP_D	0.00:	0.00:	0.00:	0.00:	0.00:	0.00:	
BI_MP_D	0.00:	0.00:	0.00:	0.00:	0.00:	0.00:	
BI_MP_D	0.00:	0.00:	0.00:	0.00:	0.00:	0.00:	
BI_MP_D	0.00:	0.00:	0.00:	0.00:	0.00:	0.00:	
BI_MP_D	0.00:	0.00:	0.00:	0.00:	0.00:	0.00:	
BI_MP_D	0.00:	0.00:	0.00:	0.00:	0.00:	0.00:	
BI_MP_D	0.00:	0.00:	0.00:	0.00:	0.00:	0.00:	
BI_MP_D	0.00:	0.00:	0.00:	0.00:	0.00:	0.00:	
BI_MP_D	1.62:	-0.34:	-0.59:	-0.47:	-0.34:	-0.29:	

Figura 49. Residuos ajustados correspondiente al retardo -1, obtenidos mediante el programa SDIS-GSEQ

Given	Target	Lag 0. ADJR. Adjusted residuals					
		GOL	EVI	REC	FUE	POS	INT
BI_MP_P		-0.47:	<u>3.00:</u>	-0.68:	-0.59:	-0.24:	-0.34:
BI_MP_P		-0.47:	-0.34:	1.52:	-0.59:	-0.24:	-0.34:
BI_MP_P		1.62:	-1.07:	-2.11:	0.86:	1.06:	0.23:
BI_MP_P		-0.47:	<u>3.00:</u>	-0.68:	-0.59:	-0.24:	-0.34:
BI_MP_P		-0.99:	-0.71:	<u>3.17:</u>	-1.24:	-0.49:	-0.71:
BI_MP_P		0.00:	0.00:	0.00:	0.00:	0.00:	0.00:
BI_MP_P		0.00:	0.00:	0.00:	0.00:	0.00:	0.00:
BI_MP_P		0.13:	-0.81:	<u>2.55:</u>	-1.41:	-0.56:	-0.81:
BI_MP_P		<u>3.10:</u>	-0.49:	-0.97:	-0.85:	-0.34:	-0.49:
BI_MP_P		0.00:	0.00:	0.00:	0.00:	0.00:	0.00:
BI_MP_P		-0.47:	-0.34:	1.52:	-0.59:	-0.24:	-0.34:
BI_MP_P		-0.47:	-0.34:	-0.68:	1.73:	-0.24:	-0.34:
BI_MP_P		0.00:	0.00:	0.00:	0.00:	0.00:	0.00:
BI_MP_P		0.00:	0.00:	0.00:	0.00:	0.00:	0.00:
BI_MP_P		-0.99:	-0.71:	-1.41:	1.18:	-0.49:	<u>2.77:</u>
BI_MP_P		0.00:	0.00:	0.00:	0.00:	0.00:	0.00:
BI_MP_P		0.00:	0.00:	0.00:	0.00:	0.00:	0.00:
BI_MP_P		-0.84:	-0.61:	-1.20:	1.69:	<u>2.31:</u>	-0.61:
BI_MP_P		-0.47:	<u>3.00:</u>	-0.68:	-0.59:	-0.24:	-0.34:
BI_MP_P		-0.47:	-0.34:	1.52:	-0.59:	-0.24:	-0.34:
BI_MP_P		0.00:	0.00:	0.00:	0.00:	0.00:	0.00:
BI_MP_P		0.00:	0.00:	0.00:	0.00:	0.00:	0.00:
BI_MP_P		0.00:	0.00:	0.00:	0.00:	0.00:	0.00:
BI_MP_P		0.00:	0.00:	0.00:	0.00:	0.00:	0.00:
BI_MP_P		0.00:	0.00:	0.00:	0.00:	0.00:	0.00:
BI_MP_P		0.00:	0.00:	0.00:	0.00:	0.00:	0.00:
BI_MP_P		-0.47:	-0.34:	1.52:	-0.59:	-0.24:	-0.34:
BI_MP_P		0.00:	0.00:	0.00:	0.00:	0.00:	0.00:
BI_MP_P		0.00:	0.00:	0.00:	0.00:	0.00:	0.00:
BI_MP_P		0.00:	0.00:	0.00:	0.00:	0.00:	0.00:
BI_MP_P		-0.68:	-0.49:	-0.97:	0.81:	-0.34:	1.90:
BI_MP_D		-0.47:	<u>3.00:</u>	-0.68:	-0.59:	-0.24:	-0.34:
BI_MP_D		0.00:	0.00:	0.00:	0.00:	0.00:	0.00:
BI_MP_D		0.00:	0.00:	0.00:	0.00:	0.00:	0.00:
BI_MP_D		0.00:	0.00:	0.00:	0.00:	0.00:	0.00:
BI_MP_D		0.00:	0.00:	0.00:	0.00:	0.00:	0.00:
BI_MP_D		-0.47:	-0.34:	-0.68:	1.73:	-0.24:	-0.34:
BI_MP_D		0.00:	0.00:	0.00:	0.00:	0.00:	0.00:
BI_MP_D		0.00:	0.00:	0.00:	0.00:	0.00:	0.00:
BI_MP_D		0.00:	0.00:	0.00:	0.00:	0.00:	0.00:
BI_MP_D		0.00:	0.00:	0.00:	0.00:	0.00:	0.00:
BI_MP_D		0.00:	0.00:	0.00:	0.00:	0.00:	0.00:
BI_MP_D		0.00:	0.00:	0.00:	0.00:	0.00:	0.00:
BI_MP_D		0.00:	0.00:	0.00:	0.00:	0.00:	0.00:
BI_MP_D		0.00:	0.00:	0.00:	0.00:	0.00:	0.00:
BI_MP_D		0.00:	0.00:	0.00:	0.00:	0.00:	0.00:
BI_MP_D		0.00:	0.00:	0.00:	0.00:	0.00:	0.00:
BI_MP_D		0.00:	0.00:	0.00:	0.00:	0.00:	0.00:
BI_MP_D		0.00:	0.00:	0.00:	0.00:	0.00:	0.00:
BI_MP_D		0.00:	0.00:	0.00:	0.00:	0.00:	0.00:
BI_MP_D		0.00:	0.00:	0.00:	0.00:	0.00:	0.00:
BI_MP_D		<u>2.17:</u>	-0.34:	-0.68:	-0.59:	-0.24:	-0.34:

Figura 50. Residuos ajustados correspondiente al retardo 0, obtenidos mediante el programa SDIS-GSEQ

Given	Target	Lag 1. ADJR. Adjusted residuals					
		GOL	EVI	REC	FUE	POS	INT
BI_MP_P	BI_MP_P	1.52:	-0.24:	-0.72:	-0.51:	-0.24:	-0.24:
BI_MP_P	BI_MP_P	-0.68:	-0.24:	-0.72:	<u>1.99:</u>	-0.24:	-0.24:
BI_MP_P	BI_MP_P	0.46:	-0.74:	-0.56:	-0.63:	1.06:	1.06:
BI_MP_P	BI_MP_P	-0.68:	-0.24:	-0.72:	<u>1.99:</u>	-0.24:	-0.24:
BI_MP_P	BI_MP_P	<u>2.02:</u>	-0.49:	-1.49:	0.23:	-0.49:	-0.49:
BI_MP_P	BI_MP_P	0.00:	0.00:	0.00:	0.00:	0.00:	0.00:
BI_MP_P	BI_MP_P	0.00:	0.00:	0.00:	0.00:	0.00:	0.00:
BI_MP_P	BI_MP_P	-0.56:	-0.56:	0.34:	-0.03:	-0.56:	1.61:
BI_MP_P	BI_MP_P	-0.97:	-0.34:	-1.03:	<u>2.86:</u>	-0.34:	-0.34:
BI_MP_P	BI_MP_P	0.00:	0.00:	0.00:	0.00:	0.00:	0.00:
BI_MP_P	BI_MP_P	-0.68:	-0.24:	1.43:	-0.51:	-0.24:	-0.24:
BI_MP_P	BI_MP_P	-0.68:	<u>4.36:</u>	-0.72:	-0.51:	-0.24:	-0.24:
BI_MP_P	BI_MP_P	0.00:	0.00:	0.00:	0.00:	0.00:	0.00:
BI_MP_P	BI_MP_P	0.00:	0.00:	0.00:	0.00:	0.00:	0.00:
BI_MP_P	BI_MP_P	-0.26:	-0.49:	0.75:	-1.07:	1.90:	-0.49:
BI_MP_P	BI_MP_P	0.00:	0.00:	0.00:	0.00:	0.00:	0.00:
BI_MP_P	BI_MP_P	0.00:	0.00:	0.00:	0.00:	0.00:	0.00:
BI_MP_P	BI_MP_P	0.10:	<u>2.31:</u>	-1.27:	0.57:	-0.42:	-0.42:
BI_MP_P	BI_MP_P	-0.68:	-0.24:	1.43:	-0.51:	-0.24:	-0.24:
BI_MP_P	BI_MP_P	-0.68:	-0.24:	1.43:	-0.51:	-0.24:	-0.24:
BI_MP_P	BI_MP_P	0.00:	0.00:	0.00:	0.00:	0.00:	0.00:
BI_MP_P	BI_MP_P	0.00:	0.00:	0.00:	0.00:	0.00:	0.00:
BI_MP_P	BI_MP_P	0.00:	0.00:	0.00:	0.00:	0.00:	0.00:
BI_MP_P	BI_MP_P	0.00:	0.00:	0.00:	0.00:	0.00:	0.00:
BI_MP_P	BI_MP_P	0.00:	0.00:	0.00:	0.00:	0.00:	0.00:
BI_MP_P	BI_MP_P	0.00:	0.00:	0.00:	0.00:	0.00:	0.00:
BI_MP_P	BI_MP_P	1.52:	-0.24:	-0.72:	-0.51:	-0.24:	-0.24:
BI_MP_P	BI_MP_P	0.00:	0.00:	0.00:	0.00:	0.00:	0.00:
BI_MP_P	BI_MP_P	0.00:	0.00:	0.00:	0.00:	0.00:	0.00:
BI_MP_P	BI_MP_P	0.00:	0.00:	0.00:	0.00:	0.00:	0.00:
BI_MP_P	BI_MP_P	-0.97:	-0.34:	<u>2.05:</u>	-0.74:	-0.34:	-0.34:
BI_MP_D	BI_MP_D	-0.68:	-0.24:	1.43:	-0.51:	-0.24:	-0.24:
BI_MP_D	BI_MP_D	0.00:	0.00:	0.00:	0.00:	0.00:	0.00:
BI_MP_D	BI_MP_D	0.00:	0.00:	0.00:	0.00:	0.00:	0.00:
BI_MP_D	BI_MP_D	0.00:	0.00:	0.00:	0.00:	0.00:	0.00:
BI_MP_D	BI_MP_D	0.00:	0.00:	0.00:	0.00:	0.00:	0.00:
BI_MP_D	BI_MP_D	-0.68:	-0.24:	1.43:	-0.51:	-0.24:	-0.24:
BI_MP_D	BI_MP_D	0.00:	0.00:	0.00:	0.00:	0.00:	0.00:
BI_MP_D	BI_MP_D	0.00:	0.00:	0.00:	0.00:	0.00:	0.00:
BI_MP_D	BI_MP_D	0.00:	0.00:	0.00:	0.00:	0.00:	0.00:
BI_MP_D	BI_MP_D	0.00:	0.00:	0.00:	0.00:	0.00:	0.00:
BI_MP_D	BI_MP_D	0.00:	0.00:	0.00:	0.00:	0.00:	0.00:
BI_MP_D	BI_MP_D	0.00:	0.00:	0.00:	0.00:	0.00:	0.00:
BI_MP_D	BI_MP_D	0.00:	0.00:	0.00:	0.00:	0.00:	0.00:
BI_MP_D	BI_MP_D	0.00:	0.00:	0.00:	0.00:	0.00:	0.00:
BI_MP_D	BI_MP_D	0.00:	0.00:	0.00:	0.00:	0.00:	0.00:
BI_MP_D	BI_MP_D	0.00:	0.00:	0.00:	0.00:	0.00:	0.00:
BI_MP_D	BI_MP_D	1.52:	-0.24:	-0.72:	-0.51:	-0.24:	-0.24:

Figura 51. Residuos ajustados correspondiente al retardo 1, obtenidos mediante el programa SDIS-GSEQ

Given	Target	Lag 2. ADJR. Adjusted residuals					
		GOL	EVI	REC	FUE	POS	INT
BI_MP_P	-0.63:	-0.34:	1.62:	-0.43:	-0.24:	-0.39:	
BI_MP_P	1.62:	-0.34:	-0.63:	-0.43:	-0.24:	-0.39:	
BI_MP_P	1.54:	-1.07:	-0.23:	-0.25:	-0.74:	-0.03:	
BI_MP_P	-0.63:	<u>3.00:</u>	-0.63:	-0.43:	-0.24:	-0.39:	
BI_MP_P	-0.15:	1.03:	-0.15:	0.56:	-0.49:	-0.81:	
BI_MP_P	0.00:	0.00:	0.00:	0.00:	0.00:	0.00:	
BI_MP_P	0.00:	0.00:	0.00:	0.00:	0.00:	0.00:	
BI_MP_P	-1.50:	-0.81:	-1.50:	1.63:	3.79:	0.51:	
BI_MP_P	-0.91:	-0.49:	<u>2.32:</u>	-0.62:	-0.34:	-0.56:	
BI_MP_P	0.00:	0.00:	0.00:	0.00:	0.00:	0.00:	
BI_MP_P	1.62:	-0.34:	-0.63:	-0.43:	-0.24:	-0.39:	
BI_MP_P	-0.63:	-0.34:	1.62:	-0.43:	-0.24:	-0.39:	
BI_MP_P	0.00:	0.00:	0.00:	0.00:	0.00:	0.00:	
BI_MP_P	0.00:	0.00:	0.00:	0.00:	0.00:	0.00:	
BI_MP_P	-0.15:	-0.71:	1.02:	-0.90:	-0.49:	0.77:	
BI_MP_P	0.00:	0.00:	0.00:	0.00:	0.00:	0.00:	
BI_MP_P	0.00:	0.00:	0.00:	0.00:	0.00:	0.00:	
BI_MP_P	0.21:	1.37:	-1.13:	-0.77:	-0.42:	1.11:	
BI_MP_P	-0.63:	-0.34:	-0.63:	<u>2.38:</u>	-0.24:	-0.39:	
BI_MP_P	-0.63:	-0.34:	1.62:	-0.43:	-0.24:	-0.39:	
BI_MP_P	0.00:	0.00:	0.00:	0.00:	0.00:	0.00:	
BI_MP_P	0.00:	0.00:	0.00:	0.00:	0.00:	0.00:	
BI_MP_P	0.00:	0.00:	0.00:	0.00:	0.00:	0.00:	
BI_MP_P	0.00:	0.00:	0.00:	0.00:	0.00:	0.00:	
BI_MP_P	0.00:	0.00:	0.00:	0.00:	0.00:	0.00:	
BI_MP_P	0.00:	0.00:	0.00:	0.00:	0.00:	0.00:	
BI_MP_P	-0.63:	-0.34:	-0.63:	<u>2.38:</u>	-0.24:	-0.39:	
BI_MP_P	0.00:	0.00:	0.00:	<u>0.00:</u>	0.00:	0.00:	
BI_MP_P	0.00:	0.00:	0.00:	0.00:	0.00:	0.00:	
BI_MP_P	0.00:	0.00:	0.00:	0.00:	0.00:	0.00:	
BI_MP_P	0.70:	-0.49:	0.70:	-0.62:	-0.34:	-0.56:	
BI_MP_D	1.62:	-0.34:	-0.63:	-0.43:	-0.24:	-0.39:	
BI_MP_D	0.00:	0.00:	0.00:	0.00:	0.00:	0.00:	
BI_MP_D	0.00:	0.00:	0.00:	0.00:	0.00:	0.00:	
BI_MP_D	0.00:	0.00:	0.00:	0.00:	0.00:	0.00:	
BI_MP_D	0.00:	0.00:	0.00:	0.00:	0.00:	0.00:	
BI_MP_D	-0.63:	<u>3.00:</u>	-0.63:	-0.43:	-0.24:	-0.39:	
BI_MP_D	0.00:	0.00:	0.00:	0.00:	0.00:	0.00:	
BI_MP_D	0.00:	0.00:	0.00:	0.00:	0.00:	0.00:	
BI_MP_D	0.00:	0.00:	0.00:	0.00:	0.00:	0.00:	
BI_MP_D	0.00:	0.00:	0.00:	0.00:	0.00:	0.00:	
BI_MP_D	0.00:	0.00:	0.00:	0.00:	0.00:	0.00:	
BI_MP_D	0.00:	0.00:	0.00:	0.00:	0.00:	0.00:	
BI_MP_D	0.00:	0.00:	0.00:	0.00:	0.00:	0.00:	
BI_MP_D	0.00:	0.00:	0.00:	0.00:	0.00:	0.00:	
BI_MP_D	0.00:	0.00:	0.00:	0.00:	0.00:	0.00:	
BI_MP_D	0.00:	0.00:	0.00:	0.00:	0.00:	0.00:	
BI_MP_D	-0.63:	-0.34:	-0.63:	-0.43:	-0.24:	<u>2.64:</u>	

Figura 52. Residuos ajustados correspondiente al retardo 2, obtenidos mediante el programa SDIS-GSEQ

Given	Target	Lag 3. ADJR. Adjusted residuals					
		GOL	EVI	REC	FUE	POS	INT
BI_MP_P	-0.56:	-0.24:	-0.65:	1.82:	-0.24:	-0.39:	
BI_MP_P	-0.56:	-0.24:	-0.65:	-0.56:	-0.24:	<u>2.60:</u>	
BI_MP_P	0.10:	-0.75:	-0.28:	0.10:	-0.75:	1.12:	
BI_MP_P	1.82:	-0.24:	-0.65:	-0.56:	-0.24:	-0.39:	
BI_MP_P	0.07:	-0.50:	<u>2.15:</u>	-1.18:	-0.50:	-0.82:	
BI_MP_P	0.00:	0.00:	0.00:	0.00:	0.00:	0.00:	
BI_MP_P	0.00:	0.00:	0.00:	0.00:	0.00:	0.00:	
BI_MP_P	-0.21:	-0.57:	-0.47:	-0.21:	<u>3.73:</u>	-0.93:	
BI_MP_P	0.90:	<u>2.91:</u>	-0.93:	-0.81:	-0.34:	-0.57:	
BI_MP_P	0.00:	0.00:	0.00:	0.00:	0.00:	0.00:	
BI_MP_P	-0.56:	<u>4.30:</u>	-0.65:	-0.56:	-0.24:	-0.39:	
BI_MP_P	1.82:	-0.24:	-0.65:	-0.56:	-0.24:	-0.39:	
BI_MP_P	0.00:	0.00:	0.00:	0.00:	0.00:	0.00:	
BI_MP_P	0.00:	0.00:	0.00:	0.00:	0.00:	0.00:	
BI_MP_P	-1.01:	-0.43:	0.17:	0.41:	-0.43:	1.08:	
BI_MP_P	0.00:	0.00:	0.00:	0.00:	0.00:	0.00:	
BI_MP_P	0.00:	0.00:	0.00:	0.00:	0.00:	0.00:	
BI_MP_P	-1.01:	-0.43:	<u>2.83:</u>	-1.01:	-0.43:	-0.70:	
BI_MP_P	1.82:	-0.24:	<u>-0.65:</u>	-0.56:	-0.24:	-0.39:	
BI_MP_P	1.82:	-0.24:	-0.65:	-0.56:	-0.24:	-0.39:	
BI_MP_P	0.00:	0.00:	0.00:	0.00:	0.00:	0.00:	
BI_MP_P	0.00:	0.00:	0.00:	0.00:	0.00:	0.00:	
BI_MP_P	0.00:	0.00:	0.00:	0.00:	0.00:	0.00:	
BI_MP_P	0.00:	0.00:	0.00:	0.00:	0.00:	0.00:	
BI_MP_P	0.00:	0.00:	0.00:	0.00:	0.00:	0.00:	
BI_MP_P	0.00:	0.00:	0.00:	0.00:	0.00:	0.00:	
BI_MP_P	-0.56:	-0.24:	-0.65:	1.82:	-0.24:	-0.39:	
BI_MP_P	0.00:	0.00:	0.00:	0.00:	0.00:	0.00:	
BI_MP_P	0.00:	0.00:	0.00:	0.00:	0.00:	0.00:	
BI_MP_P	0.00:	0.00:	0.00:	0.00:	0.00:	0.00:	
BI_MP_P	-0.81:	-0.34:	-0.93:	0.90:	-0.34:	1.58:	
BI_MP_D	-0.56:	-0.24:	-0.65:	1.82:	-0.24:	-0.39:	
BI_MP_D	0.00:	0.00:	0.00:	0.00:	0.00:	0.00:	
BI_MP_D	0.00:	0.00:	0.00:	0.00:	0.00:	0.00:	
BI_MP_D	0.00:	0.00:	0.00:	0.00:	0.00:	0.00:	
BI_MP_D	0.00:	0.00:	0.00:	0.00:	0.00:	0.00:	
BI_MP_D	-0.56:	-0.24:	-0.65:	1.82:	-0.24:	-0.39:	
BI_MP_D	0.00:	0.00:	0.00:	0.00:	0.00:	0.00:	
BI_MP_D	0.00:	0.00:	0.00:	0.00:	0.00:	0.00:	
BI_MP_D	0.00:	0.00:	0.00:	0.00:	0.00:	0.00:	
BI_MP_D	0.00:	0.00:	0.00:	0.00:	0.00:	0.00:	
BI_MP_D	0.00:	0.00:	0.00:	0.00:	0.00:	0.00:	
BI_MP_D	0.00:	0.00:	0.00:	0.00:	0.00:	0.00:	
BI_MP_D	0.00:	0.00:	0.00:	0.00:	0.00:	0.00:	
BI_MP_D	0.00:	0.00:	0.00:	0.00:	0.00:	0.00:	
BI_MP_D	0.00:	0.00:	0.00:	0.00:	0.00:	0.00:	
BI_MP_D	0.00:	0.00:	0.00:	0.00:	0.00:	0.00:	
BI_MP_D	-0.56:	-0.24:	1.59:	-0.56:	-0.24:	-0.39:	

Figura 53. Residuos ajustados correspondiente al retardo 3, obtenidos mediante el programa SDIS-GSEQ

- Se encuentra en la bisectriz, cambia de posición y está equilibrado en posición alta:
  - Movimiento de brazo y no toca la pelota: fuera (2.11, retardo 0) (Figura 55); gol (3.00, retardo 1) (Figura 56).
- Se encuentra en la bisectriz, cambia de posición y está desequilibrado:
  - Estirada y despeje de la pelota: rechaza la pelota (2.54, retardo 0) (Figura 55); 2.83, retardo 2 (Figura 57)).

```

File "C:\Documents and Settings\albert\Escritorio\Portero\Instrumento II (GSEQ)\Iker\Albert..mds";
Pool + *;
And BI_CP_PB_ES_RE = BI CP PB ES RE;
And BI_CP_PB_ES_DESP = BI CP PB ES DESP;
And BI_CP_PB_ES_NC = BI CP PB ES NC;
And BI_CP_PB_MB_RE = BI CP PB MB RE;
And BI_CP_PB_MB_DESP = BI CP PB MB DESP;
And BI_CP_PB_MB_NC = BI CP PB MB NC;
And BI_CP_PB_MPI_RE = BI CP PB MPI RE;
And BI_CP_PB_MPI_DESP = BI CP PB MPI DESP;
And BI_CP_PB_MPI_NC = BI CP PB MPI NC;
And BI_CP_PB_CU_RE = BI CP PB CU RE;
And BI_CP_PB_CU_DESP = BI CP PB CU DESP;
And BI_CP_PB_CU_NC = BI CP PB CU NC;
And BI_CP_PB_NM_RE = BI CP PB NM RE;
And BI_CP_PB_NM_DESP = BI CP PB NM DESP;
And BI_CP_PA_ES_NC = BI CP PA ES NC;
And BI_CP_PA_ES_RE = BI CP PA ES RE;
And BI_CP_PA_ES_DESP = BI CP PA ES DESP;
And BI_CP_PA_MB_RE = BI CP PA MB RE;
And BI_CP_PA_MB_DESP = BI CP PA MB DESP;
And BI_CP_PA_MB_NC = BI CP PA MB NC;
And BI_CP_PA_MPI_RE = BI CP PA MPI RE;
And BI_CP_PA_MPI_DESP = BI CP PA MPI DESP;
And BI_CP_PA_MPI_NC = BI CP PA MPI NC;
And BI_CP_PA_CU_RE = BI CP PA CU RE;
And BI_CP_PA_CU_DESP = BI CP PA CU DESP;
And BI_CP_PA_CU_NC = BI CP PA CU NC;
And BI_CP_PA_NM_RE = BI CP PA NM RE;
And BI_CP_PA_NM_DESP = BI CP PA NM DESP;
And BI_CP_PA_NM_NC = BI CP PA NM NC;
And BI_CP_DE_ES_RE = BI CP DE ES RE;
And BI_CP_DE_ES_DESP = BI CP DE ES DESP;
And BI_CP_DE_ES_NC = BI CP DE ES NC;
And BI_CP_DE_MB_RE = BI CP DE MB RE;
And BI_CP_DE_MB_DESP = BI CP DE MB DESP;
And BI_CP_DE_MB_NC = BI CP DE MB NC;
And BI_CP_DE_MPI_RE = BI CP DE MPI RE;
And BI_CP_DE_MPI_DESP = BI CP DE MPI DESP;
And BI_CP_DE_MPI_NC = BI CP DE MPI NC;
And BI_CP_DE_CU_RE = BI CP DE CU RE;
And BI_CP_DE_CU_DESP = BI CP DE CU DESP;
And BI_CP_DE_CU_NC = BI CP DE CU NC;
And BI_CP_DE_NM_RE = BI CP DE NM RE;
And BI_CP_DE_NM_DESP = BI CP DE NM DESP;
And BI_CP_DE_NM_NC = BI CP DE NM NC;
Simple freq;
Stats intf adjr;
Target GOL EVI REC FUE POS INT;
Lags -2 to 3;
Given BI_CP_PB_ES_RE BI_CP_PB_ES_DESP BI_CP_PB_ES_NC BI_CP_PB_MB_RE BI_CP_PB_MB_DESP
BI_CP_PB_MB_NC BI_CP_PB_MPI_RE BI_CP_PB_MPI_DESP BI_CP_PB_MPI_NC BI_CP_PB_CU_RE
BI_CP_PB_CU_DESP BI_CP_PB_CU_NC BI_CP_PB_NM_RE BI_CP_PB_NM_DESP BI_CP_PB_NM_NC
BI_CP_PA_ES_RE BI_CP_PA_ES_DESP BI_CP_PA_ES_NC BI_CP_PA_MB_RE BI_CP_PA_MB_DESP
BI_CP_PA_MB_NC BI_CP_PA_MPI_RE BI_CP_PA_MPI_DESP BI_CP_PA_MPI_NC BI_CP_PA_CU_RE
BI_CP_PA_CU_DESP BI_CP_PA_CU_NC BI_CP_PA_NM_RE BI_CP_PA_NM_DESP BI_CP_PA_NM_NC
BI_CP_DE_ES_RE BI_CP_DE_ES_DESP BI_CP_DE_ES_NC BI_CP_DE_MB_RE BI_CP_DE_MB_DESP
BI_CP_DE_MB_NC BI_CP_DE_MPI_RE BI_CP_DE_MPI_DESP BI_CP_DE_MPI_NC BI_CP_DE_CU_RE
BI_CP_DE_CU_DESP BI_CP_DE_CU_NC BI_CP_DE_NM_RE BI_CP_DE_NM_DESP BI_CP_DE_NM_NC;

```

ata. Data file: Albert..mds Command file: 51. Anticipación+Reacción y Resultado (BI-CP).gsq

Figura 54. Análisis de las relaciones del momento de anticipación y reacción con el resultado (cuando se encuentra en la bisectriz y cambiando de posición) (fichero .gsq)

Given	Target	Lag 0. ADJR. Adjusted residuals					
		GOL	EVI	REC	FUE	POS	INT
BI_CP_P	0.00:	0.00:	0.00:	0.00:	0.00:	0.00:	
BI_CP_P	0.00:	0.00:	0.00:	0.00:	0.00:	0.00:	
BI_CP_P	0.00:	0.00:	0.00:	0.00:	0.00:	0.00:	
BI_CP_P	0.00:	0.00:	0.00:	0.00:	0.00:	0.00:	
BI_CP_P	0.00:	0.00:	0.00:	0.00:	0.00:	0.00:	
BI_CP_P	0.00:	0.00:	0.00:	0.00:	0.00:	0.00:	
BI_CP_P	0.00:	0.00:	0.00:	0.00:	0.00:	0.00:	
BI_CP_P	0.00:	0.00:	0.00:	0.00:	0.00:	0.00:	
BI_CP_P	0.00:	0.00:	0.00:	0.00:	0.00:	0.00:	
BI_CP_P	0.00:	0.00:	0.00:	0.00:	0.00:	0.00:	
BI_CP_P	0.00:	0.00:	0.00:	0.00:	0.00:	0.00:	
BI_CP_P	0.00:	0.00:	0.00:	0.00:	0.00:	0.00:	
BI_CP_P	0.00:	0.00:	0.00:	0.00:	0.00:	0.00:	
BI_CP_P	0.00:	0.00:	0.00:	0.00:	0.00:	0.00:	
BI_CP_P	0.00:	0.00:	0.00:	0.00:	0.00:	0.00:	
BI_CP_P	0.00:	0.00:	0.00:	0.00:	0.00:	0.00:	
BI_CP_P	0.00:	0.00:	0.00:	0.00:	0.00:	0.00:	
BI_CP_P	0.00:	0.00:	0.00:	0.00:	0.00:	0.00:	
BI_CP_P	0.00:	0.00:	0.00:	0.00:	0.00:	0.00:	
BI_CP_P	0.00:	0.00:	0.00:	0.00:	0.00:	0.00:	
BI_CP_P	0.00:	0.00:	0.00:	0.00:	0.00:	0.00:	
BI_CP_P	0.00:	0.00:	0.00:	0.00:	0.00:	0.00:	
BI_CP_P	0.00:	0.00:	0.00:	0.00:	0.00:	0.00:	
BI_CP_P	0.00:	0.00:	0.00:	0.00:	0.00:	0.00:	
BI_CP_P	0.00:	0.00:	0.00:	0.00:	0.00:	0.00:	
BI_CP_P	0.00:	0.00:	0.00:	0.00:	0.00:	0.00:	
BI_CP_P	-0.53:	0.00:	-0.86:	<u>2.11</u> :	-0.35:	-0.35:	
BI_CP_P	0.00:	0.00:	0.00:	0.00:	0.00:	0.00:	
BI_CP_P	0.00:	0.00:	0.00:	0.00:	0.00:	0.00:	
BI_CP_P	0.00:	0.00:	0.00:	0.00:	0.00:	0.00:	
BI_CP_P	0.00:	0.00:	0.00:	0.00:	0.00:	0.00:	
BI_CP_P	0.00:	0.00:	0.00:	0.00:	0.00:	0.00:	
BI_CP_P	0.00:	0.00:	0.00:	0.00:	0.00:	0.00:	
BI_CP_P	0.00:	0.00:	0.00:	0.00:	0.00:	0.00:	
BI_CP_P	0.00:	0.00:	0.00:	0.00:	0.00:	0.00:	
BI_CP_P	0.00:	0.00:	0.00:	0.00:	0.00:	0.00:	
BI_CP_P	0.00:	0.00:	0.00:	0.00:	0.00:	0.00:	
BI_CP_D	0.00:	0.00:	0.00:	0.00:	0.00:	0.00:	
BI_CP_D	-1.04:	0.00:	<u>2.54</u> :	-1.04:	-0.69:	-0.69:	
BI_CP_D	1.58:	0.00:	-2.58:	0.00:	1.05:	1.05:	
BI_CP_D	0.00:	0.00:	0.00:	0.00:	0.00:	0.00:	
BI_CP_D	0.00:	0.00:	0.00:	0.00:	0.00:	0.00:	
BI_CP_D	0.00:	0.00:	0.00:	0.00:	0.00:	0.00:	
BI_CP_D	0.00:	0.00:	0.00:	0.00:	0.00:	0.00:	
BI_CP_D	0.00:	0.00:	0.00:	0.00:	0.00:	0.00:	
BI_CP_D	-0.53:	0.00:	1.29:	-0.53:	-0.35:	-0.35:	
BI_CP_D	0.00:	0.00:	0.00:	0.00:	0.00:	0.00:	
BI_CP_D	0.00:	0.00:	0.00:	0.00:	0.00:	0.00:	
BI_CP_D	0.00:	0.00:	0.00:	0.00:	0.00:	0.00:	
BI_CP_D	0.00:	0.00:	0.00:	0.00:	0.00:	0.00:	
BI_CP_D	0.00:	0.00:	0.00:	0.00:	0.00:	0.00:	
BI_CP_D	0.00:	0.00:	0.00:	0.00:	0.00:	0.00:	
BI_CP_D	0.00:	0.00:	0.00:	0.00:	0.00:	0.00:	
BI_CP_D	0.00:	0.00:	0.00:	0.00:	0.00:	0.00:	

Figura 55. Residuos ajustados correspondiente al retardo 0, obtenidos mediante el programa SDIS-GSEQ

Given	Target	Lag 1. ADJR. Adjusted residuals					
		GOL	EVI	REC	FUE	POS	INT
BI_CP_P		0.00:	0.00:	0.00:	0.00:	0.00:	0.00:
BI_CP_P		0.00:	0.00:	0.00:	0.00:	0.00:	0.00:
BI_CP_P		0.00:	0.00:	0.00:	0.00:	0.00:	0.00:
BI_CP_P		0.00:	0.00:	0.00:	0.00:	0.00:	0.00:
BI_CP_P		0.00:	0.00:	0.00:	0.00:	0.00:	0.00:
BI_CP_P		0.00:	0.00:	0.00:	0.00:	0.00:	0.00:
BI_CP_P		0.00:	0.00:	0.00:	0.00:	0.00:	0.00:
BI_CP_P		0.00:	0.00:	0.00:	0.00:	0.00:	0.00:
BI_CP_P		0.00:	0.00:	0.00:	0.00:	0.00:	0.00:
BI_CP_P		0.00:	0.00:	0.00:	0.00:	0.00:	0.00:
BI_CP_P		0.00:	0.00:	0.00:	0.00:	0.00:	0.00:
BI_CP_P		0.00:	0.00:	0.00:	0.00:	0.00:	0.00:
BI_CP_P		0.00:	0.00:	0.00:	0.00:	0.00:	0.00:
BI_CP_P		0.00:	0.00:	0.00:	0.00:	0.00:	0.00:
BI_CP_P		0.00:	0.00:	0.00:	0.00:	0.00:	0.00:
BI_CP_P		0.00:	0.00:	0.00:	0.00:	0.00:	0.00:
BI_CP_P		0.00:	0.00:	0.00:	0.00:	0.00:	0.00:
BI_CP_P		0.00:	0.00:	0.00:	0.00:	0.00:	0.00:
BI_CP_P		0.00:	0.00:	0.00:	0.00:	0.00:	0.00:
BI_CP_P		0.00:	0.00:	0.00:	0.00:	0.00:	0.00:
BI_CP_P		0.00:	0.00:	0.00:	0.00:	0.00:	0.00:
BI_CP_P		0.00:	0.00:	0.00:	0.00:	0.00:	0.00:
BI_CP_P		0.00:	0.00:	0.00:	0.00:	0.00:	0.00:
BI_CP_P		0.00:	0.00:	0.00:	0.00:	0.00:	0.00:
BI_CP_P		0.00:	0.00:	0.00:	0.00:	0.00:	0.00:
BI_CP_P		0.00:	0.00:	0.00:	0.00:	0.00:	0.00:
BI_CP_P		0.00:	0.00:	0.00:	0.00:	0.00:	0.00:
BI_CP_P		0.00:	0.00:	0.00:	0.00:	0.00:	0.00:
BI_CP_P		0.00:	0.00:	0.00:	0.00:	0.00:	0.00:
BI_CP_P		0.00:	0.00:	0.00:	0.00:	0.00:	0.00:
BI_CP_P		0.00:	0.00:	0.00:	0.00:	0.00:	0.00:
BI_CP_P		0.00:	0.00:	0.00:	0.00:	0.00:	0.00:
BI_CP_P		0.00:	0.00:	0.00:	0.00:	0.00:	0.00:
BI_CP_P		0.00:	0.00:	0.00:	0.00:	0.00:	0.00:
BI_CP_D		-0.57:	-0.57:	1.07:	-0.86:	0.00:	0.57:
BI_CP_D		-1.19:	-1.19:	-0.18:	1.43:	0.00:	0.47:
BI_CP_D		0.00:	0.00:	0.00:	0.00:	0.00:	0.00:
BI_CP_D		0.00:	0.00:	0.00:	0.00:	0.00:	0.00:
BI_CP_D		0.00:	0.00:	0.00:	0.00:	0.00:	0.00:
BI_CP_D		0.00:	0.00:	0.00:	0.00:	0.00:	0.00:
BI_CP_D		-0.38:	<u>3.00:</u>	-0.57:	-0.57:	0.00:	-0.75:
BI_CP_D		0.00:	0.00:	0.00:	0.00:	0.00:	0.00:
BI_CP_D		0.00:	0.00:	0.00:	0.00:	0.00:	0.00:
BI_CP_D		0.00:	0.00:	0.00:	0.00:	0.00:	0.00:
BI_CP_D		0.00:	0.00:	0.00:	0.00:	0.00:	0.00:
BI_CP_D		0.00:	0.00:	0.00:	0.00:	0.00:	0.00:
BI_CP_D		0.00:	0.00:	0.00:	0.00:	0.00:	0.00:
BI_CP_D		0.00:	0.00:	0.00:	0.00:	0.00:	0.00:
BI_CP_D		0.00:	0.00:	0.00:	0.00:	0.00:	0.00:
BI_CP_D		0.00:	0.00:	0.00:	0.00:	0.00:	0.00:

Figura 56. Residuos ajustados correspondiente al retardo 1, obtenidos mediante el programa SDIS-GSEQ

Given	Target	Lag 2. ADJR. Adjusted residuals					
		GOL	EVI	REC	FUE	POS	INT
BI_CP_P		0.00:	0.00:	0.00:	0.00:	0.00:	0.00:
BI_CP_P		0.00:	0.00:	0.00:	0.00:	0.00:	0.00:
BI_CP_P		0.00:	0.00:	0.00:	0.00:	0.00:	0.00:
BI_CP_P		0.00:	0.00:	0.00:	0.00:	0.00:	0.00:
BI_CP_P		0.00:	0.00:	0.00:	0.00:	0.00:	0.00:
BI_CP_P		0.00:	0.00:	0.00:	0.00:	0.00:	0.00:
BI_CP_P		0.00:	0.00:	0.00:	0.00:	0.00:	0.00:
BI_CP_P		0.00:	0.00:	0.00:	0.00:	0.00:	0.00:
BI_CP_P		0.00:	0.00:	0.00:	0.00:	0.00:	0.00:
BI_CP_P		0.00:	0.00:	0.00:	0.00:	0.00:	0.00:
BI_CP_P		0.00:	0.00:	0.00:	0.00:	0.00:	0.00:
BI_CP_P		0.00:	0.00:	0.00:	0.00:	0.00:	0.00:
BI_CP_P		0.00:	0.00:	0.00:	0.00:	0.00:	0.00:
BI_CP_P		0.00:	0.00:	0.00:	0.00:	0.00:	0.00:
BI_CP_P		0.00:	0.00:	0.00:	0.00:	0.00:	0.00:
BI_CP_P		0.00:	0.00:	0.00:	0.00:	0.00:	0.00:
BI_CP_P		0.00:	0.00:	0.00:	0.00:	0.00:	0.00:
BI_CP_P		0.00:	0.00:	0.00:	0.00:	0.00:	0.00:
BI_CP_P		0.00:	0.00:	0.00:	0.00:	0.00:	0.00:
BI_CP_P		0.00:	0.00:	0.00:	0.00:	0.00:	0.00:
BI_CP_P		0.00:	0.00:	0.00:	0.00:	0.00:	0.00:
BI_CP_P		0.00:	0.00:	0.00:	0.00:	0.00:	0.00:
BI_CP_P		0.00:	0.00:	0.00:	0.00:	0.00:	0.00:
BI_CP_P		0.00:	0.00:	0.00:	0.00:	0.00:	0.00:
BI_CP_P		0.00:	0.00:	0.00:	0.00:	0.00:	0.00:
BI_CP_P		0.00:	0.00:	0.00:	0.00:	0.00:	0.00:
BI_CP_P		-0.40:	0.00:	-0.40:	-0.62:	1.85:	-0.62:
BI_CP_P		0.00:	0.00:	0.00:	0.00:	0.00:	0.00:
BI_CP_P		0.00:	0.00:	0.00:	0.00:	0.00:	0.00:
BI_CP_P		0.00:	0.00:	0.00:	0.00:	0.00:	0.00:
BI_CP_P		0.00:	0.00:	0.00:	0.00:	0.00:	0.00:
BI_CP_P		0.00:	0.00:	0.00:	0.00:	0.00:	0.00:
BI_CP_P		0.00:	0.00:	0.00:	0.00:	0.00:	0.00:
BI_CP_P		0.00:	0.00:	0.00:	0.00:	0.00:	0.00:
BI_CP_P		0.00:	0.00:	0.00:	0.00:	0.00:	0.00:
BI_CP_P		0.00:	0.00:	0.00:	0.00:	0.00:	0.00:
BI_CP_D		0.00:	0.00:	0.00:	0.00:	0.00:	0.00:
BI_CP_D		-0.40:	0.00:	<u>2.83</u> :	-0.62:	-0.62:	-0.62:
BI_CP_D		0.83:	0.00:	-1.38:	-0.42:	-0.42:	1.26:
BI_CP_D		0.00:	0.00:	0.00:	0.00:	0.00:	0.00:
BI_CP_D		0.00:	0.00:	0.00:	0.00:	0.00:	0.00:
BI_CP_D		0.00:	0.00:	0.00:	0.00:	0.00:	0.00:
BI_CP_D		0.00:	0.00:	0.00:	0.00:	0.00:	0.00:
BI_CP_D		0.00:	0.00:	0.00:	0.00:	0.00:	0.00:
BI_CP_D		0.00:	0.00:	0.00:	0.00:	0.00:	0.00:
BI_CP_D		-0.40:	0.00:	-0.40:	1.85:	-0.62:	-0.62:
BI_CP_D		0.00:	0.00:	0.00:	0.00:	0.00:	0.00:
BI_CP_D		0.00:	0.00:	0.00:	0.00:	0.00:	0.00:
BI_CP_D		0.00:	0.00:	0.00:	0.00:	0.00:	0.00:
BI_CP_D		0.00:	0.00:	0.00:	0.00:	0.00:	0.00:
BI_CP_D		0.00:	0.00:	0.00:	0.00:	0.00:	0.00:
BI_CP_D		0.00:	0.00:	0.00:	0.00:	0.00:	0.00:
BI_CP_D		0.00:	0.00:	0.00:	0.00:	0.00:	0.00:
BI_CP_D		0.00:	0.00:	0.00:	0.00:	0.00:	0.00:
BI_CP_D		0.00:	0.00:	0.00:	0.00:	0.00:	0.00:
BI_CP_D		0.00:	0.00:	0.00:	0.00:	0.00:	0.00:

Figura 57. Residuos ajustados correspondiente al retardo 2, obtenidos mediante el programa SDIS-GSEQ

- Se encuentra fuera de la bisectriz, cambia de posición y está en posición alta:

- No hace nada y no toca la pelota: fuera (2.65, retardo 0) (Figura 59); gol (2.65, retardo 2) (Figura 60).

```

File "C:\Documents and Settings\albert\Escritorio\Portero\Instrumento II (GSEQ)\Nker\Albert..mds";
Pool + *;
And FBI_CP_PB_ES_RE = FBI CP PB ES RE;
And FBI_CP_PB_ES_DESP = FBI CP PB ES DESP;
And FBI_CP_PB_ES_NC = FBI CP PB ES NC;
And FBI_CP_PB_MB_RE = FBI CP PB MB RE;
And FBI_CP_PB_MB_DESP = FBI CP PB MB DESP;
And FBI_CP_PB_MB_NC = FBI CP PB MB NC;
And FBI_CP_PB_MPI_RE = FBI CP PB MPI RE;
And FBI_CP_PB_MPI_DESP = FBI CP PB MPI DESP;
And FBI_CP_PB_MPI_NC = FBI CP PB MPI NC;
And FBI_CP_PB_CU_RE = FBI CP PB CU RE;
And FBI_CP_PB_CU_DESP = FBI CP PB CU DESP;
And FBI_CP_PB_CU_NC = FBI CP PB CU NC;
And FBI_CP_PB_NM_RE = FBI CP PB NM RE;
And FBI_CP_PB_NM_DESP = FBI CP PB NM DESP;
And FBI_CP_PB_NM_NC = FBI CP PB NM NC;
And FBI_CP_PA_ES_RE = FBI CP PA ES RE;
And FBI_CP_PA_ES_DESP = FBI CP PA ES DESP;
And FBI_CP_PA_ES_NC = FBI CP PA ES NC;
And FBI_CP_PA_MB_RE = FBI CP PA MB RE;
And FBI_CP_PA_MB_DESP = FBI CP PA MB DESP;
And FBI_CP_PA_MB_NC = FBI CP PA MB NC;
And FBI_CP_PA_MPI_RE = FBI CP PA MPI RE;
And FBI_CP_PA_MPI_DESP = FBI CP PA MPI DESP;
And FBI_CP_PA_MPI_NC = FBI CP PA MPI NC;
And FBI_CP_PA_CU_RE = FBI CP PA CU RE;
And FBI_CP_PA_CU_DESP = FBI CP PA CU DESP;
And FBI_CP_PA_CU_NC = FBI CP PA CU NC;
And FBI_CP_PA_NM_RE = FBI CP PA NM RE;
And FBI_CP_PA_NM_DESP = FBI CP PA NM DESP;
And FBI_CP_PA_NM_NC = FBI CP PA NM NC;
And FBI_CP_DE_ES_RE = FBI CP DE ES RE;
And FBI_CP_DE_ES_DESP = FBI CP DE ES DESP;
And FBI_CP_DE_ES_NC = FBI CP DE ES NC;
And FBI_CP_DE_MB_RE = FBI CP DE MB RE;
And FBI_CP_DE_MB_DESP = FBI CP DE MB DESP;
And FBI_CP_DE_MB_NC = FBI CP DE MB NC;
And FBI_CP_DE_MPI_RE = FBI CP DE MPI RE;
And FBI_CP_DE_MPI_DESP = FBI CP DE MPI DESP;
And FBI_CP_DE_MPI_NC = FBI CP DE MPI NC;
And FBI_CP_DE_CU_RE = FBI CP DE CU RE;
And FBI_CP_DE_CU_DESP = FBI CP DE CU DESP;
And FBI_CP_DE_CU_NC = FBI CP DE CU NC;
And FBI_CP_DE_NM_RE = FBI CP DE NM RE;
And FBI_CP_DE_NM_DESP = FBI CP DE NM DESP;
And FBI_CP_DE_NM_NC = FBI CP DE NM NC;
Simple freq;
Stats jntf adjr;
Target GOL EVI REC FUE POS INT;
Lags -2 to 3;
Given FBI_CP_PB_ES_RE FBI_CP_PB_ES_DESP FBI_CP_PB_ES_NC FBI_CP_PB_MB_RE FBI_CP_PB_MB_DESP
FBI_CP_PB_MB_NC FBI_CP_PB_MPI_RE FBI_CP_PB_MPI_DESP FBI_CP_PB_MPI_NC FBI_CP_PB_CU_RE
FBI_CP_PB_CU_DESP FBI_CP_PB_CU_NC FBI_CP_PB_NM_RE FBI_CP_PB_NM_DESP FBI_CP_PB_NM_NC
FBI_CP_PA_ES_RE FBI_CP_PA_ES_DESP FBI_CP_PA_ES_NC FBI_CP_PA_MB_RE FBI_CP_PA_MB_DESP
FBI_CP_PA_MB_NC FBI_CP_PA_MPI_RE FBI_CP_PA_MPI_DESP FBI_CP_PA_MPI_NC FBI_CP_PA_CU_RE
FBI_CP_PA_CU_DESP FBI_CP_PA_CU_NC FBI_CP_PA_NM_RE FBI_CP_PA_NM_DESP FBI_CP_PA_NM_NC
FBI_CP_DE_ES_RE FBI_CP_DE_ES_DESP FBI_CP_DE_ES_NC FBI_CP_DE_MB_RE FBI_CP_DE_MB_DESP
FBI_CP_DE_MB_NC FBI_CP_DE_MPI_RE FBI_CP_DE_MPI_DESP FBI_CP_DE_MPI_NC FBI_CP_DE_CU_RE
FBI_CP_DE_CU_DESP FBI_CP_DE_CU_NC FBI_CP_DE_NM_RE FBI_CP_DE_NM_DESP FBI_CP_DE_NM_NC;

```

← ⏴ ⏵ ⏶ →

ata.	Data file: Albert..mds	Command file: 53. Anticipación+Reacción y Resultado (FBI-CP).gsq
------	------------------------	--

Figura 58. Análisis de las relaciones del momento de anticipación y reacción con el resultado (cuando se encuentra fuera de la bisectriz y cambiando de posición) (fichero .gsq)

Figura 59. Residuos ajustados correspondiente al retardo 0, obtenidos mediante el programa SDIS-GSEQ

Figura 60. Residuos ajustados correspondiente al retardo 2, obtenidos mediante el programa SDIS-GSEO

File "C:\Documents and Settings\albert\Escritorio\Portero\Instrumento II (GSEQ)\Nker\Albert..mds";  
 Pool + \*;  
 And FBI\_MP\_PB\_ES\_RE = FBI MP PB ES RE;  
 And FBI\_MP\_PB\_ES\_DESP = FBI MP PB ES DESP;  
 And FBI\_MP\_PB\_ES\_NC = FBI MP PB ES NC;  
 And FBI\_MP\_PB\_MB\_RE = FBI MP PB MB RE;  
 And FBI\_MP\_PB\_MB\_DESP = FBI MP PB MB DESP;  
 And FBI\_MP\_PB\_MB\_NC = FBI MP PB MB NC;  
 And FBI\_MP\_PB\_MPI\_RE = FBI MP PB MPI RE;  
 And FBI\_MP\_PB\_MPI\_DESP = FBI MP PB MPI DESP;  
 And FBI\_MP\_PB\_MPI\_NC = FBI MP PB MPI NC;  
 And FBI\_MP\_PB\_CU\_RE = FBI MP PB CU RE;  
 And FBI\_MP\_PB\_CU\_DESP = FBI MP PB CU DESP;  
 And FBI\_MP\_PB\_CU\_NC = FBI MP PB CU NC;  
 And FBI\_MP\_PB\_NM\_RE = FBI MP PB NM RE;  
 And FBI\_MP\_PB\_NM\_DESP = FBI MP PB NM DESP;  
 And FBI\_MP\_PB\_NM\_NC = FBI MP PB NM NC;  
 And FBI\_MP\_PA\_ES\_RE = FBI MP PA ES RE;  
 And FBI\_MP\_PA\_ES\_DESP = FBI MP PA ES DESP;  
 And FBI\_MP\_PA\_ES\_NC = FBI MP PA ES NC;  
 And FBI\_MP\_PA\_MB\_RE = FBI MP PA MB RE;  
 And FBI\_MP\_PA\_MB\_DESP = FBI MP PA MB DESP;  
 And FBI\_MP\_PA\_MB\_NC = FBI MP PA MB NC;  
 And FBI\_MP\_PA\_MPI\_RE = FBI MP PA MPI RE;  
 And FBI\_MP\_PA\_MPI\_DESP = FBI MP PA MPI DESP;  
 And FBI\_MP\_PA\_MPI\_NC = FBI MP PA MPI NC;  
 And FBI\_MP\_PA\_CU\_RE = FBI MP PA CU RE;  
 And FBI\_MP\_PA\_CU\_DESP = FBI MP PA CU DESP;  
 And FBI\_MP\_PA\_CU\_NC = FBI MP PA CU NC;  
 And FBI\_MP\_PA\_NM\_RE = FBI MP PA NM RE;  
 And FBI\_MP\_PA\_NM\_DESP = FBI MP PA NM DESP;  
 And FBI\_MP\_PA\_NM\_NC = FBI MP PA NM NC;  
 And FBI\_MP\_DE\_ES\_RE = FBI MP DE ES RE;  
 And FBI\_MP\_DE\_ES\_DESP = FBI MP DE ES DESP;  
 And FBI\_MP\_DE\_ES\_NC = FBI MP DE ES NC;  
 And FBI\_MP\_DE\_MB\_RE = FBI MP DE MB RE;  
 And FBI\_MP\_DE\_MB\_DESP = FBI MP DE MB DESP;  
 And FBI\_MP\_DE\_MB\_NC = FBI MP DE MB NC;  
 And FBI\_MP\_DE\_MPI\_RE = FBI MP DE MPI RE;  
 And FBI\_MP\_DE\_MPI\_DESP = FBI MP DE MPI DESP;  
 And FBI\_MP\_DE\_MPI\_NC = FBI MP DE MPI NC;  
 And FBI\_MP\_DE\_CU\_RE = FBI MP DE CU RE;  
  
 And FBI\_MP\_DE\_CU\_DESP = FBI MP DE CU DESP;  
 And FBI\_MP\_DE\_CU\_NC = FBI MP DE CU NC;  
 And FBI\_MP\_DE\_NM\_RE = FBI MP DE NM RE;  
 And FBI\_MP\_DE\_NM\_DESP = FBI MP DE NM DESP;  
 And FBI\_MP\_DE\_NM\_NC = FBI MP DE NM NC;  
 Simple freq;  
 Stats jntf adjr;  
 Target GOL EVI REC FUE POS INT;  
 Lags -2 to 3;  
 Given FBI\_MP\_PB\_ES\_RE FBI\_MP\_PB\_ES\_DESP FBI\_MP\_PB\_ES\_NC FBI\_MP\_PB\_MB\_RE FBI\_MP\_PB\_MB\_DESP  
 FBI\_MP\_PB\_MB\_NC FBI\_MP\_PB\_MPI\_RE FBI\_MP\_PB\_MPI\_DESP FBI\_MP\_PB\_MPI\_NC FBI\_MP\_PB\_CU\_RE  
 FBI\_MP\_PB\_CU\_DESP FBI\_MP\_PB\_CU\_NC FBI\_MP\_PB\_NM\_RE FBI\_MP\_PB\_NM\_DESP FBI\_MP\_PB\_NM\_NC  
 FBI\_MP\_PA\_ES\_RE FBI\_MP\_PA\_ES\_DESP FBI\_MP\_PA\_ES\_NC FBI\_MP\_PA\_MB\_RE FBI\_MP\_PA\_MB\_DESP  
 FBI\_MP\_PA\_MB\_NC FBI\_MP\_PA\_MPI\_RE FBI\_MP\_PA\_MPI\_DESP FBI\_MP\_PA\_MPI\_NC FBI\_MP\_PA\_CU\_RE  
 FBI\_MP\_PA\_CU\_DESP FBI\_MP\_PA\_CU\_NC FBI\_MP\_PA\_NM\_RE FBI\_MP\_PA\_NM\_DESP FBI\_MP\_PA\_NM\_NC  
 FBI\_MP\_DE\_ES\_RE FBI\_MP\_DE\_ES\_DESP FBI\_MP\_DE\_ES\_NC FBI\_MP\_DE\_MB\_RE FBI\_MP\_DE\_MB\_DESP  
 FBI\_MP\_DE\_MB\_NC FBI\_MP\_DE\_MPI\_RE FBI\_MP\_DE\_MPI\_DESP FBI\_MP\_DE\_MPI\_NC FBI\_MP\_DE\_CU\_RE

Figura 61. Análisis de las relaciones del momento de anticipación y reacción con el resultado (cuando se encuentra fuera de la bisectriz y mantiene la posición) (fichero .gsq)

## 4.2.2 Víctor Valdés

### 4.2.2.1 Momento de anticipación o preparación al tiro del delantero:

#### ■ Conductas del portero

Víctor Valdés en el momento de anticipación al tiro del atacante manifiesta 7 comportamientos diferenciados, que a continuación describimos.

1. Se encuentra en la bisectriz, mantiene la misma posición y está equilibrado en posición baja.
2. Se encuentra en la bisectriz, mantiene la misma posición y está equilibrado en posición alta.
3. Se encuentra en la bisectriz, mantiene la misma posición y está desequilibrado.
4. Se encuentra en la bisectriz, cambiando de posición y está en posición alta.
5. Se encuentra en la bisectriz, está cambiando de posición y está desequilibrado.
6. Se encuentra fuera de la bisectriz, mantiene la misma posición y está desequilibrado.
7. Se encuentra fuera de la bisectriz, está cambiando de posición y está desequilibrado.

■ Patrones de conducta

De estos comportamientos que Víctor manifiesta durante sus actuaciones en la competición (ver las instrucciones de análisis –fichero .gsq- en Figura 62) únicamente 5 pueden ser consideradas como patrones conductuales, estos son:

- Se encuentra en la bisectriz, mantiene la misma posición y está equilibrado en posición baja (3.05, retardo 0) (Figura 63).
- Se encuentra en la bisectriz, mantiene la misma posición y está equilibrado en posición alta (3.10, retardo 0) (Figura 63).
- Se encuentra en la bisectriz, mantiene la misma posición y está desequilibrado (2.19, retardo 1) (Figura 64).
- Se encuentra en la bisectriz, está cambiando de posición y está desequilibrado (3.45, retardo 0) (Figura 63).
- Se encuentra fuera de la bisectriz, está cambiando de posición y está desequilibrando (2.88, retardo 0) (Figura 63).

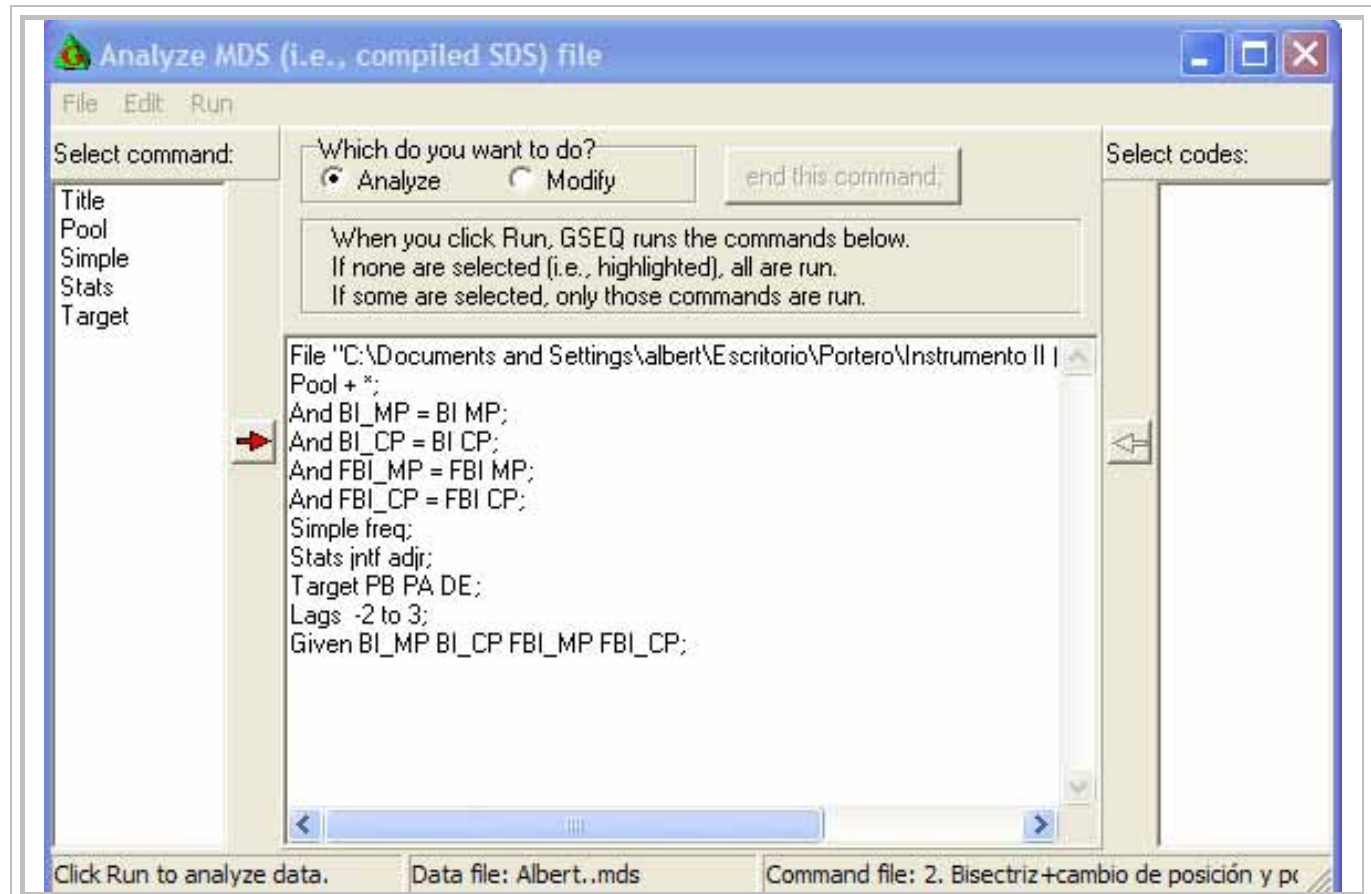


Figura 62. Análisis secuencial de los patrones de conducta en el momento de anticipación (fichero .gsq)

Lag 0. ADJR. Adjusted residuals			
	Given	Target	
	PB	PA	DE
<hr/>			
BI_MP	3.05	3.10	-5.49
BI_CP	-2.08:	-1.80:	3.45:
FBI_MP	-0.80:	-0.98:	1.59:
FBI_CP	-1.45:	-1.76:	2.88:
<hr/>			

Figura 63. Residuos ajustados correspondiente al retardo 0, obtenidos mediante el programa SDIS-GSEQ

Lag 1. ADJR. Adjusted residuals			
Given	Target		
	PB	PA	DE
<hr/>			
BI_MP	-0.98	-1.46	<u>2.19</u>
BI_CP	1.09:	1.27:	-2.10:
FBI_MP	0.88:	0.63:	-1.33:
FBI_CP	-0.45:	0.19:	0.21:
<hr/>			

Figura 64. Residuos ajustados correspondiente al retardo 1, obtenidos mediante el programa SDIS-GSEQ

■ Patrones de conducta en relación a la distancia con el delantero

Además es interesante señalar que dichos comportamientos, teniendo en cuenta la distancia que separa del portero del delantero, diferenciando entre distancias muy cortas y cortas, encontramos (ver las instrucciones de análisis – fichero .gsq- en Figura 65) que hay 4 comportamientos que son co-ocurrentes, estos son:

- ▶ Se encuentra en la bisectriz, mantiene la misma posición y está equilibrado en posición baja, lo realiza en distancias muy cortas (2.17, retardo -1) (Figura 66).
- ▶ Se encuentra en la bisectriz, mantiene la misma posición y está equilibrado en posición alta, lo realiza en distancias cortas (2.70, retardo 0) (Figura 67).
- ▶ Se encuentra en la bisectriz, mantiene la posición y está desequilibrado, lo realiza en distancias muy cortas (1.99, retardo 1) (Figura 68).
- ▶ Se encuentra en la bisectriz, está cambiando de posición y está desequilibrado, lo realiza en distancias cortas (2.10, retardo -1) y muy cortas (4.41, retardo 0) (Figura 67).

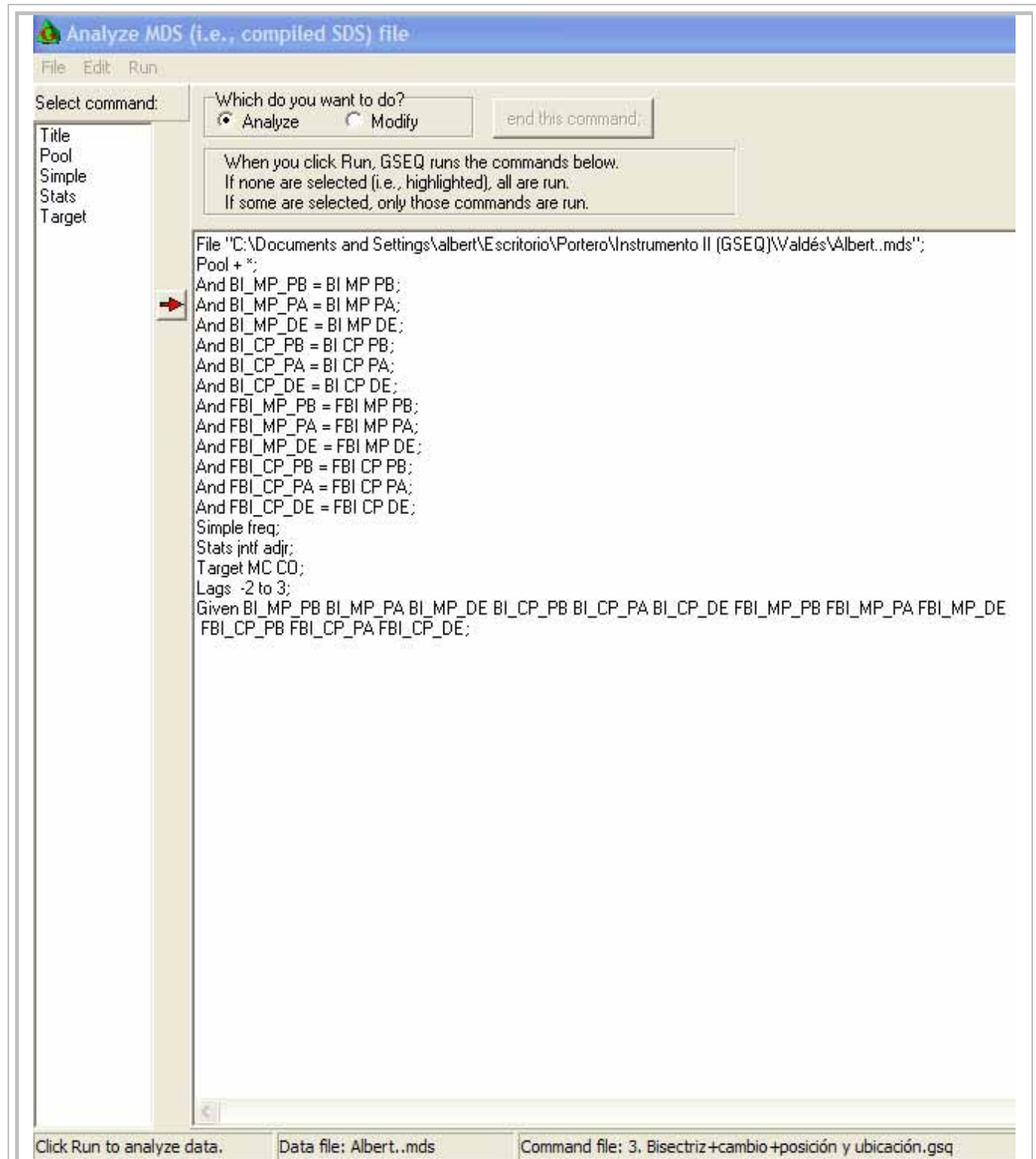


Figura 65. Análisis de los patrones de conducta en relación a la distancia al delantero (fichero .gsq)

Lag -1. ADJR. Adjusted residuals

Given	Target	
	MC	CO
<hr/>		
BI_MP_P	2.17:	-2.17:
BI_MP_P	-0.63:	0.63:
BI_MP_D	0.75:	-0.75:
BI_CP_P	0.00:	0.00:
BI_CP_P	0.00:	0.00:
BI_CP_D	-2.10:	<u>2.10</u> :
FBI_MP_	0.00:	0.00:
FBI_MP_	0.00:	0.00:
FBI_MP_	-0.86:	0.86:
FBI_CP_	0.00:	0.00:
FBI_CP_	0.00:	0.00:
FBI_CP_	0.44:	-0.44:
<hr/>		

Figura 66. Residuos ajustados correspondiente al retardo -1, obtenidos mediante el programa SDIS-GSEQ

Lag 0. ADJR. Adjusted residuals

Given	Target	
	MC	CO
<hr/>		
BI_MP_P	-0.80:	0.80:
BI_MP_P	-2.70:	<u>2.70</u> :
BI_MP_D	-0.30:	0.30:
BI_CP_P	0.00:	0.00:
BI_CP_P	-0.59:	0.59:
BI_CP_D	<u>4.41</u> :	-4.41:
FBI_MP_	0.00:	0.00:
FBI_MP_	0.00:	0.00:
FBI_MP_	-0.84:	0.84:
FBI_CP_	0.00:	0.00:
FBI_CP_	0.00:	0.00:
FBI_CP_	0.47:	-0.47:
<hr/>		

Figura 67. Residuos ajustados correspondiente al retardo 0, obtenidos mediante el programa SDIS-GSEQ

Lag 1. ADJR. Adjusted residuals		
Given	Target	
	MC	CO
-----		
BI_MP_P	0.29:	-0.29:
BI_MP_P	0.29:	-0.29:
BI_MP_D	<u>1.99:</u>	-1.99:
BI_CP_P	0.00:	0.00:
BI_CP_P	-0.57:	0.57:
BI_CP_D	-0.33:	0.33:
FBI_MP_	0.00:	0.00:
FBI_MP_	0.00:	0.00:
FBI_MP_	-0.81:	0.81:
FBI_CP_	0.00:	0.00:
FBI_CP_	0.00:	0.00:
FBI_CP_	-1.47:	1.47:
-----		

Figura 68. Residuos ajustados correspondiente al retardo 1, obtenidos mediante el programa SDIS-GSEQ

### ■ Ubicación y movimiento

Relacionando la ubicación del portero con la relación que ocupa en el espacio, encontramos que (ver las instrucciones de análisis –fichero .gsq– en Figura 69):

- Cuando se encuentra en la bisectriz del ángulo de tiro del delantero mantiene la posición (2.77, retardo 0) (Figura 70).
- Cuando se encuentra fuera de la bisectriz está cambiando de posición (2.77, retardo 0) (Figura 70).

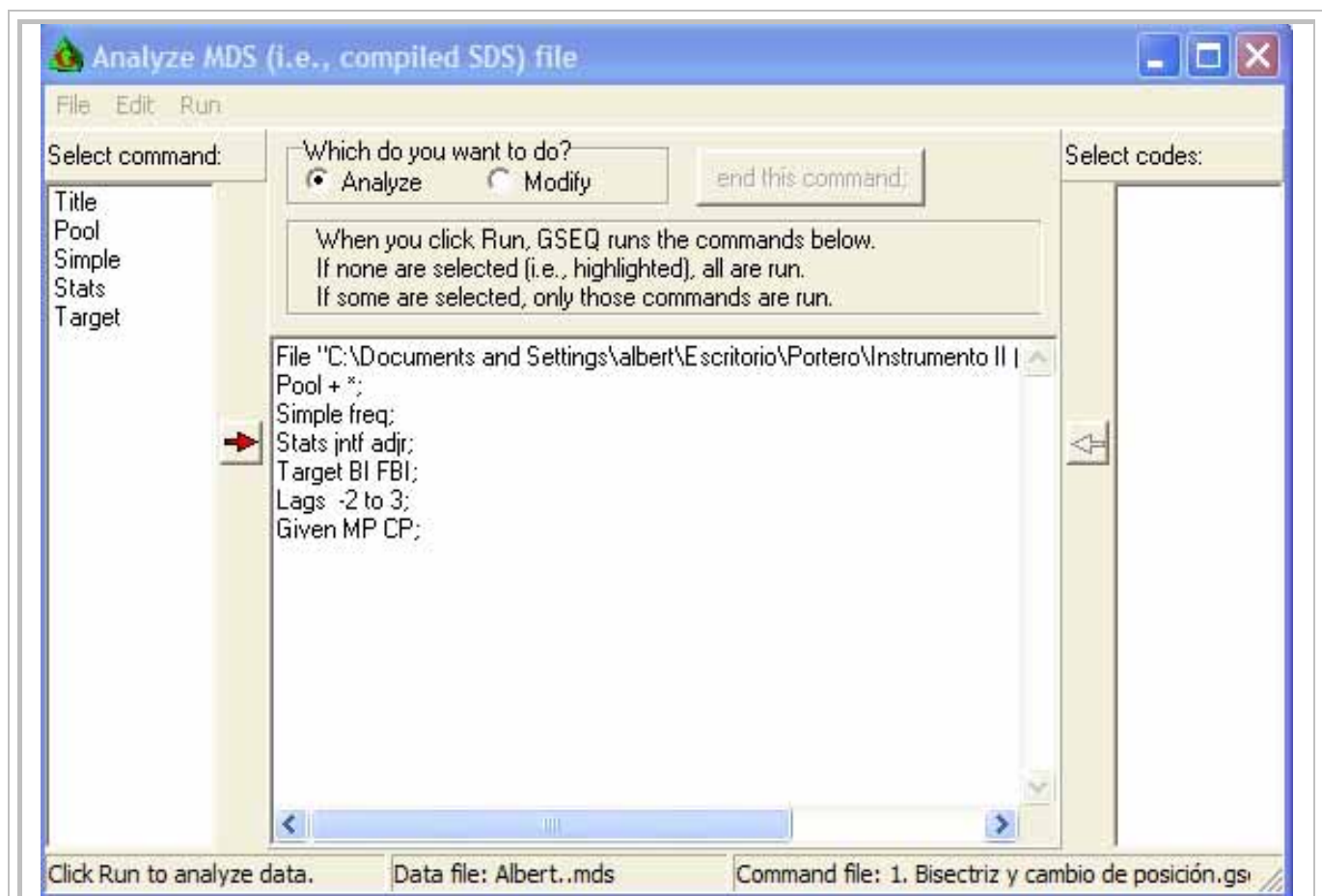


Figura 69. Análisis secuencial de la ubicación y del movimiento (fichero .gsq)

Lag 0. ADJR. Adjusted residuals		
Given	Target	
BI	FBI	
<hr/>		
MP        2.77	-2.77	
CP   -2.77: <u>2.77:</u>		
<hr/>		

Figura 70. Residuos ajustados correspondiente al retardo 0, obtenidos mediante el programa SDIS-GSEQ

### ■ Ubicación y estabilidad

Relacionando la ubicación del portero con la estabilidad del mismo, encontramos que (ver las instrucciones de análisis –fichero .gsq- en Figura 71):

- ▶ Cuando se encuentra en la bisectriz mantiene la posición alta (2.08, retardo 0) (Figura 72).
- ▶ Cuando se encuentra fuera de la bisectriz se encuentra desequilibrado (3.40, retardo 0) (Figura 72).

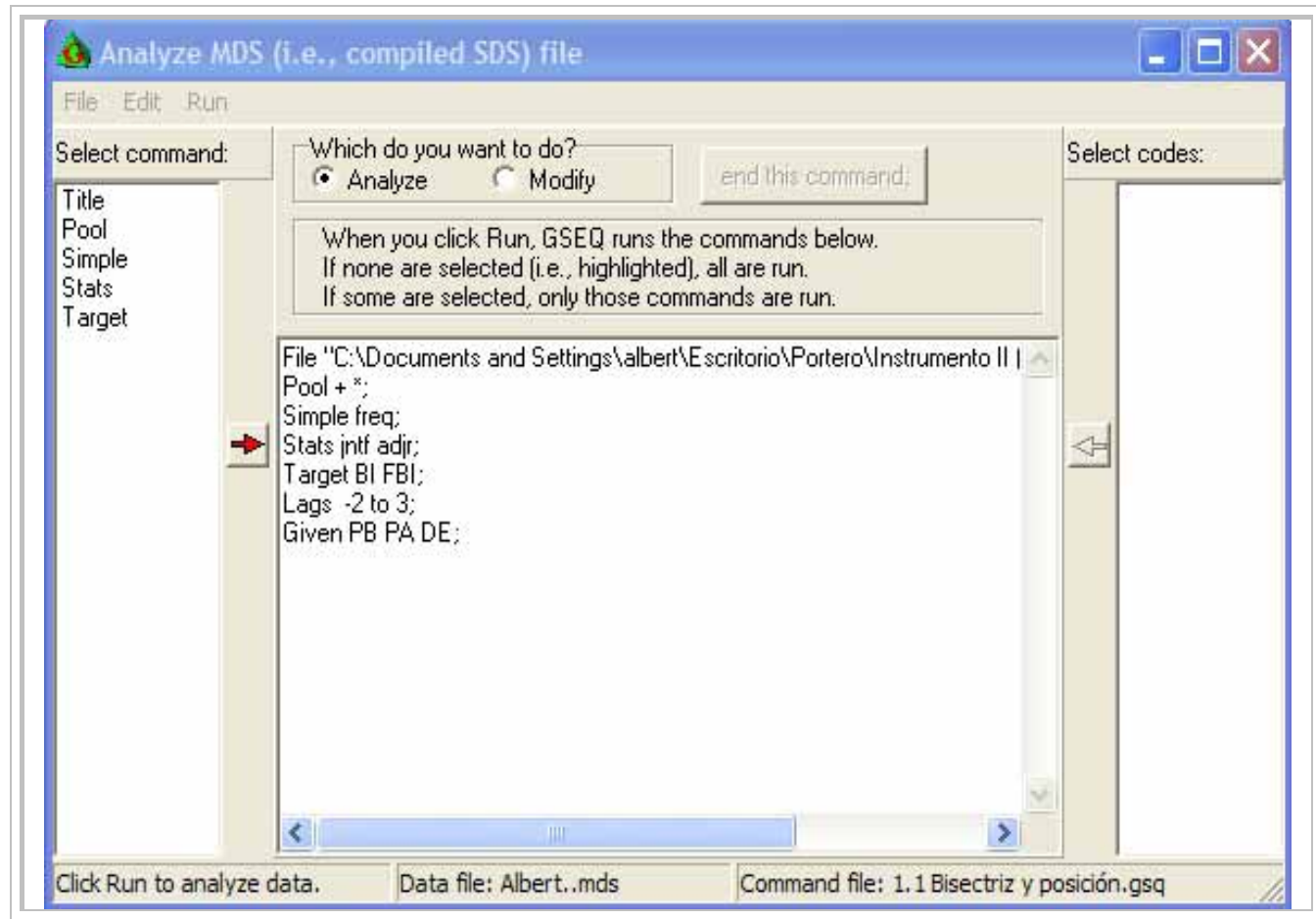


Figura 71. Análisis secuencial de la ubicación y la estabilidad (fichero .gsq)

Lag 0. ADJR. Adjusted residuals			
	Given	Target	
	BI	FBI	
	PB	1.71:	-1.71:
	PA	2.08:	-2.08:
	DE	-3.40:	3.40:

Figura 72. Residuos ajustados correspondiente al retardo 0, obtenidos mediante el programa SDIS-GSEQ

#### 4.2.2.2 Momento de reacción al tiro del delantero:

##### ■ Conductas del portero

Víctor Valdés en el momento de reacción al tiro del atacante manifiesta 8 comportamientos diferenciados, de los 15 posibles estudiados, que a continuación describimos.

1. Movimiento de brazos y despeje de la pelota.
2. Movimiento de brazos pero no toca la pelota.
3. Movimiento de piernas y despeja la pelota.
4. Estirada pero no toca la pelota.
5. Estirada y despeja la pelota.
6. Estirada y recoge la pelota.
7. No hace nada y no hay contacto con la pelota.
8. Opone el cuerpo como pared y despeja la pelota.

### ■ Patrones de conducta

De estos comportamientos que Valdés manifiesta durante sus actuaciones en la competición (ver las instrucciones de análisis –fichero .gsq– en Figura 73) únicamente 3 pueden ser considerados patrones conductuales, estos son:

- ▶ Movimiento de piernas y despeja la pelota (2.56, retardo 0) (Figura 74).
- ▶ Opone el cuerpo y despeja la pelota (2.07, retardo 0) (Figura 74).
- ▶ No hace nada y no hay contacto con la pelota (3.38, retardo 0) (Figura 74).

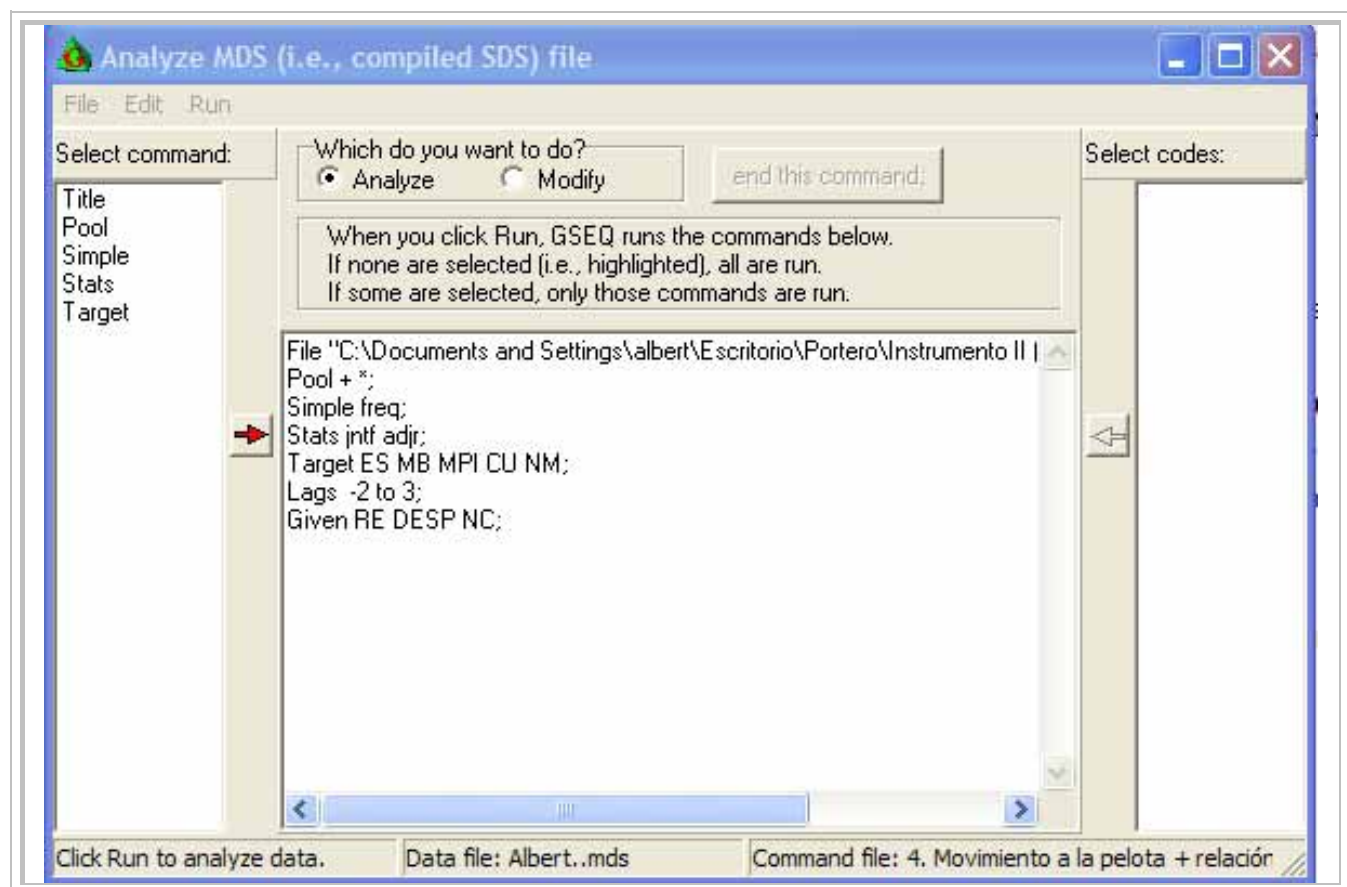


Figura 73. Análisis secuencial de los patrones de conducta en el momento de reacción (fichero .gsq)

Lag 0. ADJR. Adjusted residuals					
Given	Target				
	ES	MB	MPI	CU	NM
RE	1.71:	-0.33:	-0.58:	-0.47:	-1.29:
DESP	-0.07:	1.45:	<u>2.56:</u>	<u>2.07:</u>	-2.75:
NC	-0.95	-1.18:	-2.08:	-1.68:	<u>3.38</u>

Figura 74. Residuos ajustados correspondiente al retardo 0, obtenidos mediante el programa SDIS-GSEQ

#### 4.2.2.3 Relación entre el momento de anticipación y el de reacción:

Presentamos a continuación las relaciones de anticipación y reacción que manifiesta Víctor (ver las instrucciones de análisis –fichero .gsq- en Figura 75):

- Se encuentra en la bisectriz, mantiene la misma posición y está en posición alta; se relaciona con:
  - a. estirada y recogida de la pelota (2.61, retardo 0 (Figura 78); 2.69, retardo -2 (Figura 76));
  - b. movimiento de pierna y despeje (2.73, retardo 1) (Figura 79);
  - c. oposición del cuerpo y despeje (2.14, retardo 3) (Figura 81).
- Se encuentra en la bisectriz, mantiene la misma posición y está desequilibrado; se relaciona con:
  - a. estirada y recoge la pelota (2.12, retardo -2) (Figura 76);
  - b. opone el cuerpo y despeja la pelota (3.03; retardo -1) (Figura 77);
  - c. no hace nada y no toca (2.16, retardo 1) (Figura 79).
- Se encuentra en la bisectriz, cambiando la posición y está en posición alta; se relaciona con:
  - a. estirada y recoge la pelota (3.03, retardo 1 (Figura 79); 3.35, retardo 3 (Figura 81)).
- Se encuentra en la bisectriz, está cambiando de posición y está desequilibrado; se relaciona con:
  - a. movimiento de pierna y despeje de la pelota (2.12, retardo 0) (Figura 78);
  - b. movimiento de brazo y despeje de la pelota (2.02, retardo -1) (Figura 77);
  - c. estirada pero no toca la pelota (2.07, retardo -2) (Figura 76).

- Se encuentra fuera de la bisectriz, mantiene la misma posición y está desequilibrado; se relaciona con:
  - a. no hace nada y no toca la pelota (2.60, retardo 0 (Figura 78); 2.57, retardo -1 (Figura 77); 2.72, retardo 1 (Figura 79));
  - b. estirada y no toca la pelota (2.07, retardo -2 (Figura 76); 1.98, retardo 2 (Figura 80)).
- Se encuentra fuera de la bisectriz, está cambiando de posición y está desequilibrado; se relaciona con:
  - a. opone el cuerpo y despeja la pelota (2.70, retardo -2) (Figura 76);
  - b. estirada y recoge la pelota (3.48, retardo -1) (Figura 77);
  - c. estirada y despeje (2.77, retardo 2) (Figura 80).

```

File "C:\Documents and Settings\albert\Escritorio\Portero\Instrumento II (GSEQ)\Valdés\Albert..mds";
Pool + *;
And BI_CP_PB_ES_RE = BI CP PB ES RE;
And BI_CP_PB_ES_DESP = BI CP PB ES DESP;
And BI_CP_PB_ES_NC = BI CP PB ES NC;
And BI_CP_PB_MB_RE = BI CP PB MB RE;
And BI_CP_PB_MB_DESP = BI CP PB MB DESP;
And BI_CP_PB_MB_NC = BI CP PB MB NC;
And BI_CP_PB_MPI_RE = BI CP PB MPI RE;
And BI_CP_PB_MPI_DESP = BI CP PB MPI DESP;
And BI_CP_PB_MPI_NC = BI CP PB MPI NC;
And BI_CP_PB_CU_RE = BI CP PB CU RE;
And BI_CP_PB_CU_DESP = BI CP PB CU DESP;
And BI_CP_PB_CU_NC = BI CP PB CU NC;
And BI_CP_PB_NM_RE = BI CP PB NM RE;
And BI_CP_PB_NM_DESP = BI CP PB NM DESP;
And BI_CP_PB_NM_NC = BI CP PB NM NC;
And BI_CP_PA_ES_RE = BI CP PA ES RE;
And BI_CP_PA_ES_DESP = BI CP PA ES DESP;
And BI_CP_PA_ES_NC = BI CP PA ES NC;
And BI_CP_PA_MB_RE = BI CP PA MB RE;
And BI_CP_PA_MB_DESP = BI CP PA MB DESP;
And BI_CP_PA_MB_NC = BI CP PA MB NC;
And BI_CP_PA_MPI_RE = BI CP PA MPI RE;
And BI_CP_PA_MPI_DESP = BI CP PA MPI DESP;
And BI_CP_PA_MPI_NC = BI CP PA MPI NC;
And BI_CP_PA_CU_RE = BI CP PA CU RE;
And BI_CP_PA_CU_DESP = BI CP PA CU DESP;
And BI_CP_PA_CU_NC = BI CP PA CU NC;
And BI_CP_PA_NM_RE = BI CP PA NM RE;
And BI_CP_PA_NM_DESP = BI CP PA NM DESP;
And BI_CP_PA_NM_NC = BI CP PA NM NC;
And BI_CP_DE_ES_RE = BI CP DE ES RE;
And BI_CP_DE_ES_DESP = BI CP DE ES DESP;
And BI_CP_DE_ES_NC = BI CP DE ES NC;
And BI_CP_DE_MB_RE = BI CP DE MB RE;
And BI_CP_DE_MB_DESP = BI CP DE MB DESP;
And BI_CP_DE_MB_NC = BI CP DE MB NC;
And BI_CP_DE_MPI_RE = BI CP DE MPI RE;
And BI_CP_DE_MPI_DESP = BI CP DE MPI DESP;
And BI_CP_DE_MPI_NC = BI CP DE MPI NC;
And BI_CP_DE_CU_RE = BI CP DE CU RE;

And BI_CP_DE_CU_DESP = BI CP DE CU DESP;
And BI_CP_DE_CU_NC = BI CP DE CU NC;
And BI_CP_DE_NM_RE = BI CP DE NM RE;
And BI_CP_DE_NM_DESP = BI CP DE NM DESP;
And BI_CP_DE_NM_NC = BI CP DE NM NC;
Simple freq;
Stats jntf adjr;
Target GOL EVI REC FUE POS INT;
Lags -2 to 3;
Given BI_CP_PB_ES_RE BI_CP_PB_ES_DESP BI_CP_PB_ES_NC BI_CP_PB_MB_RE BI_CP_PB_MB_DESP
BI_CP_PB_MB_NC BI_CP_PB_MPI_RE BI_CP_PB_MPI_DESP BI_CP_PB_MPI_NC BI_CP_PB_CU_RE
BI_CP_PB_CU_DESP BI_CP_PB_CU_NC BI_CP_PB_NM_RE BI_CP_PB_NM_DESP BI_CP_PB_NM_NC
BI_CP_PA_ES_RE BI_CP_PA_ES_DESP BI_CP_PA_ES_NC BI_CP_PA_MB_RE BI_CP_PA_MB_DESP
BI_CP_PA_MB_NC BI_CP_PA_MPI_NC BI_CP_PA_CU_RE BI_CP_PA_CU_DESP BI_CP_PA_CU_NC
BI_CP_PA_NM_RE BI_CP_PA_NM_DESP BI_CP_PA_NM_NC BI_CP_DE_ES_RE BI_CP_DE_ES_DESP
BI_CP_DE_ES_NC BI_CP_DE_MB_RE BI_CP_DE_MB_DESP BI_CP_DE_MB_NC BI_CP_DE_MPI_RE
BI_CP_DE_MPI_DESP BI_CP_DE_MPI_NC BI_CP_DE_CU_RE BI_CP_DE_CU_DESP BI_CP_DE_CU_NC
BI_CP_DE_NM_RE BI_CP_DE_NM_DESP BI_CP_DE_NM_NC;
```

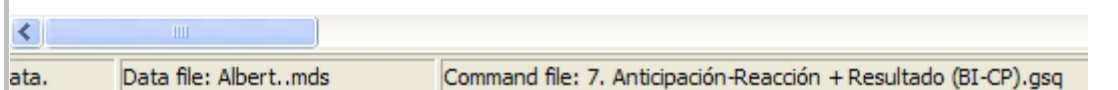


Figura 75. Análisis de las relaciones de los momentos de anticipación y reacción (fichero .gsq)

Lag -2. ADJR. Adjusted residuals									
Given	Target								
	ES_RE	ES_DESP	ES_NC	MB_RE	MB_DESP	MB_NC	MPI_RE	MPI_DES	
BI_MP_P	-1.34:	1.04:	0.06:	0.00:	1.77:	0.00:	0.00:	-1.02:	
BI_MP_P	<u>2.69:</u>	-0.11:	-2.41:	0.00:	-0.64:	0.00:	0.00:	1.51:	
BI_MP_D	-0.80:	2.12:	-0.64:	0.00:	-0.34:	0.00:	0.00:	1.37:	
BI_CP_P	0.00:	0.00:	0.00:	0.00:	0.00:	0.00:	0.00:	0.00:	
BI_CP_P	0.00:	0.00:	0.00:	0.00:	0.00:	0.00:	0.00:	0.00:	
BI_CP_D	-1.19:	-1.91:	<u>2.07:</u>	0.00:	-0.51:	0.00:	0.00:	-0.91:	
FBI_MP_	0.00:	0.00:	<u>0.00:</u>	0.00:	0.00:	0.00:	0.00:	0.00:	
FBI_MP_	0.00:	0.00:	0.00:	0.00:	0.00:	0.00:	0.00:	0.00:	
FBI_MP_	-0.49:	-0.78:	<u>2.07:</u>	0.00:	-0.21:	0.00:	0.00:	-0.37:	
FBI_CP_	0.00:	0.00:	0.00:	0.00:	0.00:	0.00:	0.00:	0.00:	
FBI_CP_	0.00:	0.00:	0.00:	0.00:	0.00:	0.00:	0.00:	0.00:	
FBI_CP_	0.56:	-0.36:	0.04:	0.00:	-0.38:	0.00:	0.00:	-0.67:	
Given	Target								
	MPI_NC	CU_RE	CU_DESP	CU_NC	NM_RE	NM_DESP	NM_NC		
BI_MP_P	0.00:	0.00:	-0.58:	0.00:	0.00:	0.00:	0.05:		
BI_MP_P	0.00:	0.00:	-0.64:	0.00:	0.00:	0.00:	0.42:		
BI_MP_D	0.00:	0.00:	-0.34:	0.00:	0.00:	0.00:	-1.34:		
BI_CP_P	0.00:	0.00:	0.00:	0.00:	0.00:	0.00:	0.00:		
BI_CP_P	0.00:	0.00:	0.00:	0.00:	0.00:	0.00:	0.00:		
BI_CP_D	0.00:	0.00:	-0.51:	0.00:	0.00:	0.00:	1.28:		
FBI_MP_	0.00:	0.00:	0.00:	0.00:	0.00:	0.00:	0.00:		
FBI_MP_	0.00:	0.00:	0.00:	0.00:	0.00:	0.00:	0.00:		
FBI_MP_	0.00:	0.00:	-0.21:	0.00:	0.00:	0.00:	-0.82:		
FBI_CP_	0.00:	0.00:	0.00:	0.00:	0.00:	0.00:	0.00:		
FBI_CP_	0.00:	0.00:	0.00:	0.00:	0.00:	0.00:	0.00:		
FBI_CP_	0.00:	0.00:	<u>2.70:</u>	0.00:	0.00:	0.00:	-0.48:		

Figura 76. Residuos ajustados correspondiente al retardo -2, obtenidos mediante el programa SDIS-GSEQ

Lag -1. ADJR. Adjusted residuals									
Given	Target								
	ES_RE	ES_DESP	ES_NC	MB_RE	MB_DESP	MB_NC	MPI_RE	MPI_DES	
BI_MP_P	-0.22:	-1.31:	0.64:	0.00:	-0.57:	0.00:	0.00:	0.39:	
BI_MP_P	-1.54:	1.27:	0.59:	0.00:	-0.66:	0.00:	0.00:	0.13:	
BI_MP_D	-0.79:	-0.11:	0.30:	0.00:	-0.34:	0.00:	0.00:	-0.60:	
BI_CP_P	0.00:	0.00:	0.00:	0.00:	0.00:	0.00:	0.00:	0.00:	
BI_CP_P	0.00:	0.00:	0.00:	0.00:	0.00:	0.00:	0.00:	0.00:	
BI_CP_D	0.00:	-0.17:	0.45:	0.00:	<u>2.02</u> :	0.00:	0.00:	-0.89:	
FBI_MP_	0.00:	0.00:	0.00:	0.00:	0.00:	0.00:	0.00:	0.00:	
FBI_MP_	0.00:	0.00:	0.00:	0.00:	0.00:	0.00:	0.00:	0.00:	
FBI_MP_	-0.48:	-0.77:	-1.04:	0.00:	-0.21:	0.00:	0.00:	-0.36:	
FBI_CP_	0.00:	0.00:	0.00:	0.00:	0.00:	0.00:	0.00:	0.00:	
FBI_CP_	0.00:	0.00:	0.00:	0.00:	0.00:	0.00:	0.00:	0.00:	
FBI_CP_	<u>3.48</u> :	0.71:	-1.87:	0.00:	-0.37:	0.00:	0.00:	1.17:	
<hr/>									
Given	Target								
	MPI_NC	CU_RE	CU_DESP	CU_NC	NM_RE	NM_DESP	NM_NC		
BI_MP_P	0.00:	0.00:	-0.57:	0.00:	0.00:	0.00:	0.87:		
BI_MP_P	0.00:	0.00:	-0.66:	0.00:	0.00:	0.00:	-0.43:		
BI_MP_D	0.00:	0.00:	<u>3.03</u> :	0.00:	0.00:	0.00:	-0.22:		
BI_CP_P	0.00:	0.00:	0.00:	0.00:	0.00:	0.00:	0.00:		
BI_CP_P	0.00:	0.00:	0.00:	0.00:	0.00:	0.00:	0.00:		
BI_CP_D	0.00:	0.00:	-0.51:	0.00:	0.00:	0.00:	-0.33:		
FBI_MP_	0.00:	0.00:	0.00:	0.00:	0.00:	0.00:	0.00:		
FBI_MP_	0.00:	0.00:	0.00:	0.00:	0.00:	0.00:	0.00:		
FBI_MP_	0.00:	0.00:	-0.21:	0.00:	0.00:	0.00:	<u>2.57</u> :		
FBI_CP_	0.00:	0.00:	0.00:	0.00:	0.00:	0.00:	0.00:		
FBI_CP_	0.00:	0.00:	0.00:	0.00:	0.00:	0.00:	0.00:		
FBI_CP_	0.00:	0.00:	-0.37:	0.00:	0.00:	0.00:	-1.47:		
<hr/>									

Figura 77. Residuos ajustados correspondiente al retardo -1, obtenidos mediante el programa SDIS-GSEQ

Lag 0. ADJR. Adjusted residuals									
Given	Target								
	ES_RE	ES_DESP	ES_NC	MB_RE	MB_DESP	MB_NC	MPI_RE	MPI_DES	
BI_MP_P	-0.20:	0.33:	-0.16:	0.00:	0.00:	0.00:	0.00:	-0.99:	
BI_MP_P	<u>2.61:</u>	-0.92:	-1.48:	0.00:	0.00:	0.00:	0.00:	-1.15:	
BI_MP_D	-0.78:	1.06:	-0.75:	0.00:	0.00:	0.00:	0.00:	1.41:	
BI_CP_P	0.00:	0.00:	0.00:	0.00:	0.00:	0.00:	0.00:	0.00:	
BI_CP_P	-0.33:	-0.53:	-0.75:	0.00:	0.00:	0.00:	0.00:	-0.25:	
BI_CP_D	-1.16:	-0.13:	1.82:	0.00:	0.00:	0.00:	0.00:	2.12:	
FBI_MP_	0.00:	0.00:	0.00:	0.00:	0.00:	0.00:	0.00:	0.00:	
FBI_MP_	0.00:	0.00:	0.00:	0.00:	0.00:	0.00:	0.00:	0.00:	
FBI_MP_	-0.48:	-0.76:	-1.07:	0.00:	0.00:	0.00:	0.00:	-0.36:	
FBI_CP_	0.00:	0.00:	0.00:	0.00:	0.00:	0.00:	0.00:	0.00:	
FBI_CP_	0.00:	0.00:	0.00:	0.00:	0.00:	0.00:	0.00:	0.00:	
FBI_CP_	-0.86:	0.75:	1.71:	0.00:	0.00:	0.00:	0.00:	-0.65:	
<hr/>									
Given	Target								
	MPI_NC	CU_RE	CU_DESP	CU_NC	NM_RE	NM_DESP	NM_NC		
BI_MP_P	0.00:	0.00:	0.90:	0.00:	0.00:	0.00:	0.14:		
BI_MP_P	0.00:	0.00:	0.65:	0.00:	0.00:	0.00:	1.07:		
BI_MP_D	0.00:	0.00:	-0.48:	0.00:	0.00:	0.00:	-0.20:		
BI_CP_P	0.00:	0.00:	0.00:	0.00:	0.00:	0.00:	0.00:		
BI_CP_P	0.00:	0.00:	-0.20:	0.00:	0.00:	0.00:	1.82:		
BI_CP_D	0.00:	0.00:	-0.71:	0.00:	0.00:	0.00:	-1.96:		
FBI_MP_	0.00:	0.00:	0.00:	0.00:	0.00:	0.00:	0.00:		
FBI_MP_	0.00:	0.00:	0.00:	0.00:	0.00:	0.00:	0.00:		
FBI_MP_	0.00:	0.00:	-0.29:	0.00:	0.00:	0.00:	2.60:		
FBI_CP_	0.00:	0.00:	0.00:	0.00:	0.00:	0.00:	0.00:		
FBI_CP_	0.00:	0.00:	0.00:	0.00:	0.00:	0.00:	0.00:		
FBI_CP_	0.00:	0.00:	-0.53:	0.00:	0.00:	0.00:	-1.45:		

Figura 78. Residuos ajustados correspondiente al retardo 0, obtenidos mediante el programa SDIS-GSEQ

Lag 1. ADJR. Adjusted residuals									
Given	Target	ES_RE	ES_DESP	ES_NC	MB_RE	MB_DESP	MB_NC	MPI_RE	MPI_DES
BI_MP_P		-0.11:	-0.35:	1.63:	0.00:	-0.54:	0.00:	0.00:	-0.95:
BI_MP_P		0.51:	-0.22:	-1.37:	0.00:	1.54:	0.00:	0.00:	2.73:
BI_MP_D		-0.79:	-0.11:	-0.70:	0.00:	-0.34:	0.00:	0.00:	-0.60:
BI_CP_P		0.00:	0.00:	0.00:	0.00:	0.00:	0.00:	0.00:	0.00:
BI_CP_P		3.03:	-0.54:	-0.73:	0.00:	-0.14:	0.00:	0.00:	-0.26:
BI_CP_D		-1.18:	0.68:	1.19:	0.00:	-0.51:	0.00:	0.00:	-0.89:
FBI_MP_		0.00:	0.00:	0.00:	0.00:	0.00:	0.00:	0.00:	0.00:
FBI_MP_		0.00:	0.00:	0.00:	0.00:	0.00:	0.00:	0.00:	0.00:
FBI_MP_		-0.48:	-0.77:	-1.04:	0.00:	-0.21:	0.00:	0.00:	-0.36:
FBI_CP_		0.00:	0.00:	0.00:	0.00:	0.00:	0.00:	0.00:	0.00:
FBI_CP_		0.00:	0.00:	0.00:	0.00:	0.00:	0.00:	0.00:	0.00:
FBI_CP_		0.58:	0.71:	-0.04:	0.00:	-0.37:	0.00:	0.00:	-0.66:

Lag 1. ADJR. Adjusted residuals									
Given	Target	MPI_NC	CU_RE	CU_DESP	CU_NC	NM_RE	NM_DESP	NM_NC	
BI_MP_P		0.00:	0.00:	0.98:	0.00:	0.00:	0.00:	-1.17:	
BI_MP_P		0.00:	0.00:	-0.94:	0.00:	0.00:	0.00:	-0.22:	
BI_MP_D		0.00:	0.00:	-0.48:	0.00:	0.00:	0.00:	2.16:	
BI_CP_P		0.00:	0.00:	0.00:	0.00:	0.00:	0.00:	0.00:	
BI_CP_P		0.00:	0.00:	-0.21:	0.00:	0.00:	0.00:	-0.54:	
BI_CP_D		0.00:	0.00:	1.08:	0.00:	0.00:	0.00:	-1.02:	
FBI_MP_		0.00:	0.00:	0.00:	0.00:	0.00:	0.00:	0.00:	
FBI_MP_		0.00:	0.00:	0.00:	0.00:	0.00:	0.00:	0.00:	
FBI_MP_		0.00:	0.00:	-0.29:	0.00:	0.00:	0.00:	2.72:	
FBI_CP_		0.00:	0.00:	0.00:	0.00:	0.00:	0.00:	0.00:	
FBI_CP_		0.00:	0.00:	0.00:	0.00:	0.00:	0.00:	0.00:	
FBI_CP_		0.00:	0.00:	-0.53:	0.00:	0.00:	0.00:	-0.34:	

Figura 79. Residuos ajustados correspondiente al retardo 1, obtenidos mediante el programa SDIS-GSEQ

Lag 2. ADJR. Adjusted residuals									
Given	Target	ES_RE	ES_DESP	ES_NC	MB_RE	MB_DESP	MB_NC	MPI_RE	MPI_DES
BI_MP_P		-1.12:	0.44:	-0.59:	0.00:	1.88:	0.00:	0.00:	0.47:
BI_MP_P		0.88:	-0.27:	1.17:	0.00:	-0.67:	0.00:	0.00:	0.11:
BI_MP_D		-0.70:	-0.14:	0.26:	0.00:	-0.34:	0.00:	0.00:	-0.60:
BI_CP_P		0.00:	0.00:	0.00:	0.00:	0.00:	0.00:	0.00:	0.00:
BI_CP_P		-0.30:	-0.54:	1.39:	0.00:	-0.15:	0.00:	0.00:	-0.26:
BI_CP_D		1.70:	-1.79:	-0.87:	0.00:	-0.48:	0.00:	0.00:	0.69:
FBI_MP_		0.00:	0.00:	0.00:	0.00:	0.00:	0.00:	0.00:	0.00:
FBI_MP_		0.00:	0.00:	0.00:	0.00:	0.00:	0.00:	0.00:	0.00:
FBI_MP_		-0.43:	-0.78:	1.98:	0.00:	-0.21:	0.00:	0.00:	-0.37:
FBI_CP_		0.00:	0.00:	0.00:	0.00:	0.00:	0.00:	0.00:	0.00:
FBI_CP_		0.00:	0.00:	0.00:	0.00:	0.00:	0.00:	0.00:	0.00:
FBI_CP_		-0.78:	2.77:	-1.91:	0.00:	-0.38:	0.00:	0.00:	-0.67:

Figura 80. Residuos ajustados correspondiente al retardo 2, obtenidos mediante el programa SDIS-GSEQ

Lag 3. ADJR. Adjusted residuals									
Given	Target	ES_RE	ES_DESP	ES_NC	MB_RE	MB_DESP	MB_NC	MPI_RE	MPI_DES
BI_MP_P		0.21:	-1.09:	0.50:	0.00:	-0.52:	0.00:	0.00:	-0.92:
BI_MP_P		-0.28:	-1.07:	0.00:	0.00:	1.50:	0.00:	0.00:	1.37:
BI_MP_D		-0.71:	-0.16:	1.34:	0.00:	-0.34:	0.00:	0.00:	-0.61:
BI_CP_P		0.00:	0.00:	0.00:	0.00:	0.00:	0.00:	0.00:	0.00:
BI_CP_P		3.35:	-0.55:	-0.71:	0.00:	-0.15:	0.00:	0.00:	-0.26:
BI_CP_D		-1.00:	0.82:	-0.78:	0.00:	-0.49:	0.00:	0.00:	0.67:
FBI_MP_		0.00:	0.00:	0.00:	0.00:	0.00:	0.00:	0.00:	0.00:
FBI_MP_		0.00:	0.00:	0.00:	0.00:	0.00:	0.00:	0.00:	0.00:
FBI_MP_		-0.44:	0.93:	0.51:	0.00:	-0.21:	0.00:	0.00:	-0.37:
FBI_CP_		0.00:	0.00:	0.00:	0.00:	0.00:	0.00:	0.00:	0.00:
FBI_CP_		0.00:	0.00:	0.00:	0.00:	0.00:	0.00:	0.00:	0.00:
FBI_CP_		0.79:	1.69:	-0.93:	0.00:	-0.38:	0.00:	0.00:	-0.68:
Given	Target	MPI_NC	CU_RE	CU_DESP	CU_NC	NM_RE	NM_DESP	NM_NC	
BI_MP_P		0.00:	0.00:	-0.74:	0.00:	0.00:	0.00:	1.44:	
BI_MP_P		0.00:	0.00:	<u>2.14:</u>	0.00:	0.00:	0.00:	-1.07:	
BI_MP_D		0.00:	0.00:	-0.49:	0.00:	0.00:	0.00:	-0.16:	
BI_CP_P		0.00:	0.00:	0.00:	0.00:	0.00:	0.00:	0.00:	
BI_CP_P		0.00:	0.00:	-0.21:	0.00:	0.00:	0.00:	-0.55:	
BI_CP_D		0.00:	0.00:	-0.69:	0.00:	0.00:	0.00:	0.82:	
FBI_MP_		0.00:	0.00:	0.00:	0.00:	0.00:	0.00:	0.00:	
FBI_MP_		0.00:	0.00:	0.00:	0.00:	0.00:	0.00:	0.00:	
FBI_MP_		0.00:	0.00:	-0.30:	0.00:	0.00:	0.00:	-0.79:	
FBI_CP_		0.00:	0.00:	0.00:	0.00:	0.00:	0.00:	0.00:	
FBI_CP_		0.00:	0.00:	0.00:	0.00:	0.00:	0.00:	0.00:	
FBI_CP_		0.00:	0.00:	-0.55:	0.00:	0.00:	0.00:	-0.39:	

Figura 81. Residuos ajustados correspondiente al retardo 3, obtenidos mediante el programa SDIS-GSEQ

#### 4.2.2.4 Relación entre el momento de anticipación y el resultado:

Presentamos a continuación las relaciones de las conductas de anticipación con su resultado tanto para patrones como para comportamientos (ver las instrucciones de análisis –fichero .gsq- en Figura 82).

##### ■ Patrones de conducta

- ▶ Se encuentra en la bisectriz, mantiene la misma posición y está equilibrado en posición baja: gol (2.63, retardo -2) (Figura 83).
- ▶ Se encuentra en la bisectriz, mantiene la misma posición y está equilibrado en posición alta: el portero se hace con la pelota (2.61, retardo 0 (Figura 85); 2.69, retardo -2 (Figura 83)).
- ▶ Se encuentra en la bisectriz, mantiene la misma posición y está desequilibrado: rechaza la pelota (2.86, retardo -2) (Figura 83); la pelota va fuera (2.12, retardo 2) (Figura 87).
- ▶ Se encuentra en la bisectriz, está cambiando de posición y está desequilibrado: intercepta un defensor (3.57, retardo -1) (Figura 84); gol (2.47, retardo -2) (Figura 83).
- ▶ Se encuentra fuera de la bisectriz, está cambiando la posición y está desequilibrado: gol (2.13, retardo 0) (Figura 85); el portero se hace con la pelota (3.48, retardo -1) (Figura 84); el portero rechaza la pelota (2.20, retardo 2) (Figura 87).

■ Comportamientos

- Se encuentra fuera de la bisectriz, mantiene la misma posición y está desequilibrado: gol (2.24, retardo 0 (Figura 85); 2.17, retardo 2 (Figura 87)); fuera (2.54, retardo -2) (Figura 83); poste (3.39, retardo -1 (Figura 84); 2.61, retardo 3 (Figura 88)); intercepta la pelota un defensa (2.67, retardo 1) (Figura 86).

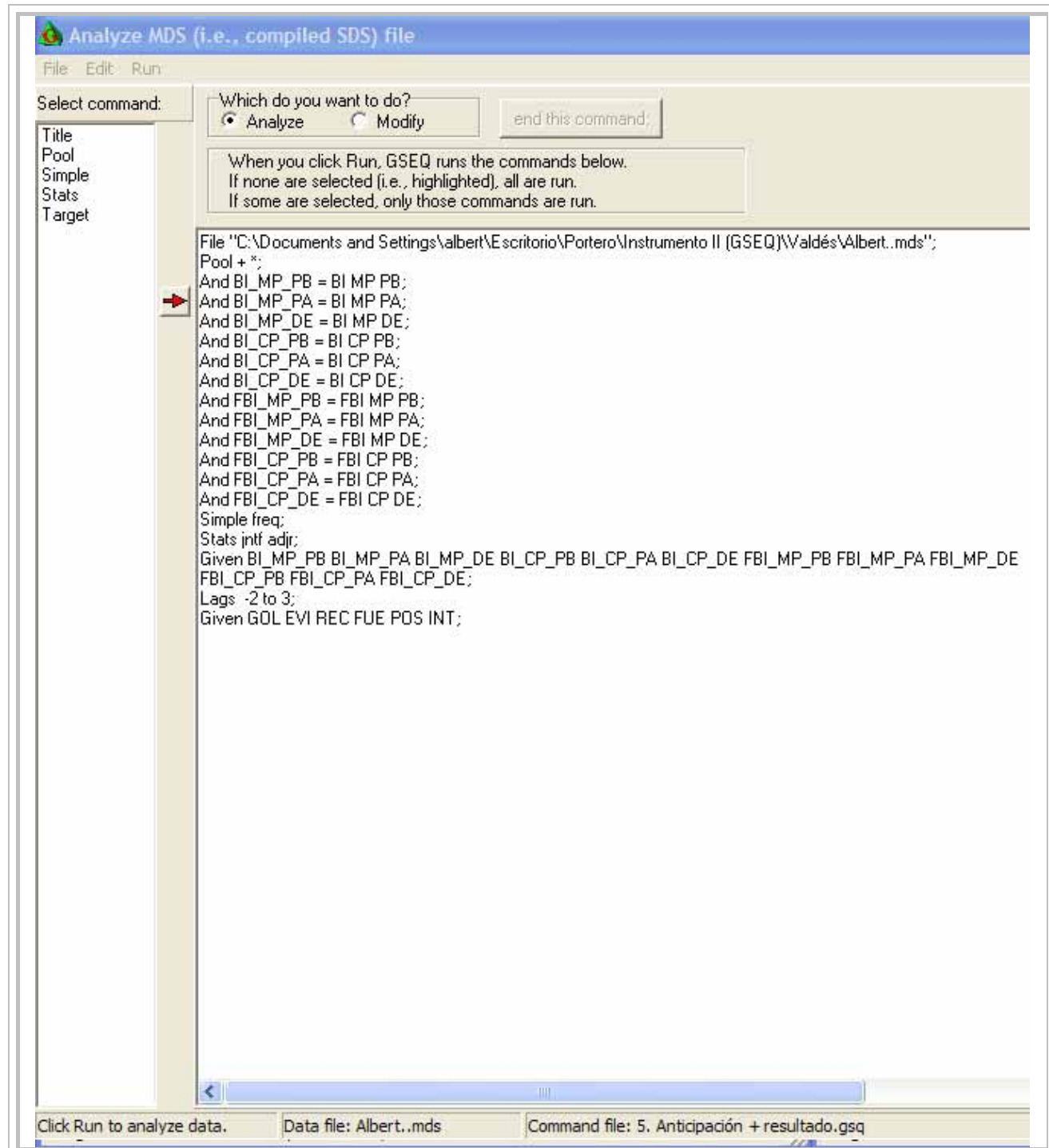


Figura 82. Análisis de las relaciones del momento de anticipación y el resultado (fichero .gsq)

Given	Target	Lag -2. ADJR. Adjusted residuals					
		GOL	EVI	REC	FUE	POS	INT
BI_MP_P		2.63:	-1.34:	-0.89:	0.05:	-0.82:	-1.02:
BI_MP_P		-2.80:	2.69:	0.92:	-1.05:	0.68:	1.51:
BI_MP_D		-1.49:	-0.80:	2.86:	-1.34:	-0.49:	1.37:
BI_CP_P		0.00:	0.00:	0.00:	0.00:	0.00:	0.00:
BI_CP_P		0.00:	0.00:	0.00:	0.00:	0.00:	0.00:
BI_CP_D		2.47:	-1.19:	-2.13:	0.45:	1.06:	-0.91:
FBI_MP_		0.00:	0.00:	0.00:	0.00:	0.00:	0.00:
FBI_MP_		0.00:	0.00:	0.00:	0.00:	0.00:	0.00:
FBI_MP_		-0.91:	-0.49:	-0.87:	2.54:	-0.30:	-0.37:
FBI_CP_		0.00:	0.00:	0.00:	0.00:	0.00:	0.00:
FBI_CP_		0.00:	0.00:	0.00:	0.00:	0.00:	0.00:
FBI_CP_		-0.69:	0.56:	0.40:	0.54:	-0.54:	-0.67:

Figura 83. Residuos ajustados correspondiente al retardo -2, obtenidos mediante el programa SDIS-GSEQ

Given	Target	Lag -1. ADJR. Adjusted residuals					
		GOL	EVI	REC	FUE	POS	INT
BI_MP_P		1.73:	-0.22:	-1.60:	0.09:	0.88:	-1.00:
BI_MP_P		0.34:	-1.54:	0.77:	1.01:	-0.94:	-1.17:
BI_MP_D		-0.51:	-0.79:	0.75:	0.88:	-0.48:	-0.60:
BI_CP_P		0.00:	0.00:	0.00:	0.00:	0.00:	0.00:
BI_CP_P		0.00:	0.00:	0.00:	0.00:	0.00:	0.00:
BI_CP_D		-0.77:	0.00:	0.32:	-1.16:	-0.72:	3.57:
FBI_MP_		0.00:	0.00:	0.00:	0.00:	0.00:	0.00:
FBI_MP_		0.00:	0.00:	0.00:	0.00:	0.00:	0.00:
FBI_MP_		-0.94:	-0.48:	-0.86:	0.88:	3.39:	-0.36:
FBI_CP_		0.00:	0.00:	0.00:	0.00:	0.00:	0.00:
FBI_CP_		0.00:	0.00:	0.00:	0.00:	0.00:	0.00:
FBI_CP_		-0.76:	3.48:	0.44:	-1.47:	-0.53:	-0.66:

Figura 84. Residuos ajustados correspondiente al retardo -1, obtenidos mediante el programa SDIS-GSEQ

Lag 0. ADJR. Adjusted residuals							
Given	Target	GOL	EVI	REC	FUE	POS	INT
BI_MP_P		0.34:	-0.20:	0.71:	-1.42:	-0.99:	1.82:
BI_MP_P		-2.30:	<u>2.61:</u>	-0.58:	1.79:	0.15:	-1.15:
BI_MP_D		-0.49:	-0.78:	-0.30:	-0.20:	1.41:	1.41:
BI_CP_P		0.00:	0.00:	0.00:	0.00:	0.00:	0.00:
BI_CP_P		-0.65:	-0.33:	-0.59:	1.82:	-0.25:	-0.25:
BI_CP_D		0.05:	-1.16:	1.17:	-0.29:	0.62:	-0.88:
FBI_MP_		0.00:	0.00:	0.00:	0.00:	0.00:	0.00:
FBI_MP_		0.00:	0.00:	0.00:	0.00:	0.00:	0.00:
FBI_MP_		<u>2.24:</u>	-0.48:	-0.84:	-0.80:	-0.36:	-0.36:
FBI_CP_		0.00:	0.00:	0.00:	0.00:	0.00:	0.00:
FBI_CP_		0.00:	0.00:	0.00:	0.00:	0.00:	0.00:
FBI_CP_		<u>2.13:</u>	-0.86:	-0.53:	-0.42:	-0.65:	-0.65:

Figura 85. Residuos ajustados correspondiente al retardo 0, obtenidos mediante el programa SDIS-GSEQ

Lag 1. ADJR. Adjusted residuals							
Given	Target	GOL	EVI	REC	FUE	POS	INT
BI_MP_P		-0.06:	-0.11:	-0.06:	-0.35:	1.93:	-0.95:
BI_MP_P		0.55:	0.51:	0.55:	-0.22:	-1.17:	-1.17:
BI_MP_D		1.68:	-0.79:	-0.42:	-0.11:	-0.60:	-0.60:
BI_CP_P		0.00:	0.00:	0.00:	0.00:	0.00:	0.00:
BI_CP_P		-0.63:	<u>3.03:</u>	-0.63:	-0.54:	-0.26:	-0.26:
BI_CP_D		-0.63:	-1.18:	0.16:	1.54:	-0.89:	0.60:
FBI_MP_		0.00:	0.00:	0.00:	0.00:	0.00:	0.00:
FBI_MP_		0.00:	0.00:	0.00:	0.00:	0.00:	0.00:
FBI_MP_		-0.90:	-0.48:	-0.90:	0.98:	-0.36:	<u>2.67:</u>
FBI_CP_		0.00:	0.00:	0.00:	0.00:	0.00:	0.00:
FBI_CP_		0.00:	0.00:	0.00:	0.00:	0.00:	0.00:
FBI_CP_		-0.66:	0.58:	0.31:	-1.39:	1.17:	1.17:

Figura 86. Residuos ajustados correspondiente al retardo 1, obtenidos mediante el programa SDIS-GSEQ

Lag 2. ADJR. Adjusted residuals							
Given	Target	GOL	EVI	REC	FUE	POS	INT
BI_MP_P		-0.27:	-1.12:	1.41:	0.44:	-0.96:	-0.78:
BI_MP_P		0.27:	0.88:	-0.88:	-1.02:	1.40:	0.61:
BI_MP_D		-0.54:	-0.70:	-1.49:	<u>2.12:</u>	-0.60:	1.90:
BI_CP_P		0.00:	0.00:	0.00:	0.00:	0.00:	0.00:
BI_CP_P		1.52:	-0.30:	-0.64:	-0.54:	-0.26:	-0.21:
BI_CP_D		-0.60:	1.70:	-0.47:	-0.02:	0.69:	-0.68:
FBI_MP_		0.00:	0.00:	0.00:	0.00:	0.00:	0.00:
FBI_MP_		0.00:	0.00:	0.00:	0.00:	0.00:	0.00:
FBI_MP_		<u>2.17:</u>	-0.43:	-0.91:	-0.78:	-0.37:	-0.30:
FBI_CP_		0.00:	0.00:	0.00:	0.00:	0.00:	0.00:
FBI_CP_		0.00:	0.00:	0.00:	0.00:	0.00:	0.00:
FBI_CP_		-0.79:	-0.78:	<u>2.20:</u>	-0.36:	-0.67:	-0.54:

Figura 87. Residuos ajustados correspondiente al retardo 2, obtenidos mediante el programa SDIS-GSEQ

Lag 3. ADJR. Adjusted residuals							
Given	Target	GOL	EVI	REC	FUE	POS	INT
BI_MP_P		1.63:	0.21:	-2.28:	0.80:	0.55:	-0.92:
BI_MP_P		-1.63:	-0.28:	1.80:	-0.10:	-1.21:	1.37:
BI_MP_D		1.60:	-0.71:	-0.48:	-1.21:	1.34:	-0.61:
BI_CP_P		0.00:	0.00:	0.00:	0.00:	0.00:	0.00:
BI_CP_P		-0.65:	<u>3.35:</u>	-0.65:	-0.52:	-0.26:	-0.26:
BI_CP_D		1.12:	-1.00:	0.31:	-0.80:	-0.86:	0.67:
FBI_MP_		0.00:	0.00:	0.00:	0.00:	0.00:	0.00:
FBI_MP_		0.00:	0.00:	0.00:	0.00:	0.00:	0.00:
FBI_MP_		-0.93:	-0.44:	0.66:	-0.74:	<u>2.61:</u>	-0.37:
FBI_CP_		0.00:	0.00:	0.00:	0.00:	0.00:	0.00:
FBI_CP_		0.00:	0.00:	0.00:	0.00:	0.00:	0.00:
FBI_CP_		-1.68:	0.79:	0.24:	1.88:	-0.68:	-0.68:

Figura 88. Residuos ajustados correspondiente al retardo 3, obtenidos mediante el programa SDIS-GSEQ

#### 4.2.2.5 Relación entre el momento de reacción y el resultado:

Presentamos a continuación las relaciones de las conductas de reacción con su resultado (ver las instrucciones de análisis –fichero .gsq- en Figura 89):

- Movimiento de piernas y despeja la pelota:
  - a. rechaza la pelota (2.94, retardo 0 (Figura 90); 2.97, retardo 3 (Figura 92)).
- Estirada pero no toca la pelota:
  - a. gol (3.09, retardo 0) (Figura 90);
  - b. la pelota va al poste (1.98, retardo 3) (Figura 91).
- Estirada y despeja la pelota:
  - a. gol (2.01, retardo 2) (Figura 91);
  - b. el portero rechaza la pelota (3.86, retardo 0) (Figura 90).
- Estirada y recoge la pelota:
  - a. el portero se hace con la pelota (7.21, retardo 0) (Figura 90).
- No hace nada y no hay contacto con la pelota:
  - a. la pelota va fuera (3.31, retardo 0) (Figura 90).
- Opone el cuerpo como pared y despeja la pelota:
  - a. rechaza la pelota (2.38, retardo 0) (Figura 90).

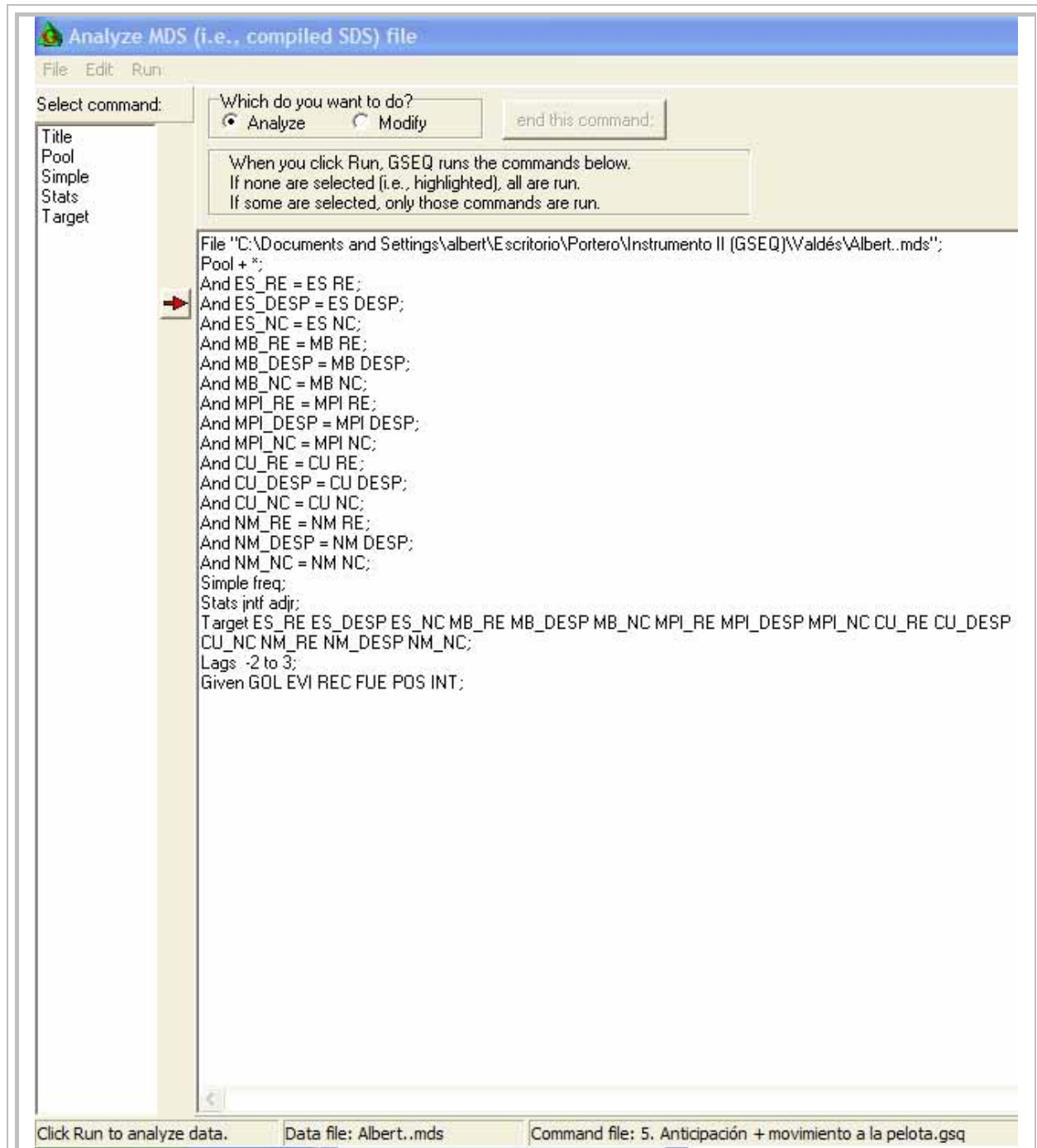


Figura 89. Análisis de las relaciones del momento de reacción y el resultado (fichero .gsq)

Lag 0. ADJR. Adjusted residuals									
Given	Target	ES_RE	ES_DESP	ES_NC	MB_RE	MB_DESP	MB_NC	MPI_RE	MPI_DES
GOL		-1.50:	-0.88:	3.09:	0.00:	-0.64:	0.00:	0.00:	-1.14:
EVI		7.21:	-1.22:	-1.71:	0.00:	-0.33:	0.00:	0.00:	-0.58:
REC		-1.43:	3.86:	-3.18:	0.00:	1.66:	0.00:	0.00:	2.94:
FUE		-1.29:	-1.24:	-0.11:	0.00:	-0.55:	0.00:	0.00:	-0.98:
POS		-0.58:	-0.92:	1.20:	0.00:	-0.25:	0.00:	0.00:	-0.44:
INT		-0.58:	-0.92:	1.20:	0.00:	-0.25:	0.00:	0.00:	-0.44:
Given	Target	MPI_NC	CU_RE	CU_DESP	CU_NC	NM_RE	NM_DESP	NM_NC	
GOL		0.00:	0.00:	-0.92:	0.00:	0.00:	0.00:	-0.34:	
EVI		0.00:	0.00:	-0.47:	0.00:	0.00:	0.00:	-1.29:	
REC		0.00:	0.00:	2.38:	0.00:	0.00:	0.00:	-2.40:	
FUE		0.00:	0.00:	-0.79:	0.00:	0.00:	0.00:	3.31:	
POS		0.00:	0.00:	-0.36:	0.00:	0.00:	0.00:	0.43:	
INT		0.00:	0.00:	-0.36:	0.00:	0.00:	0.00:	0.43:	

Figura 90. Residuos ajustados correspondiente al retardo 0, obtenidos mediante el programa SDIS-GSEQ

Lag 2. ADJR. Adjusted residuals									
Given	Target	ES_RE	ES_DESP	ES_NC	MB_RE	MB_DESP	MB_NC	MPI_RE	MPI_DES
GOL		-0.23:	2.01:	0.39:	0.00:	1.54:	0.00:	0.00:	-1.17:
EVI		1.04:	-0.11:	0.20:	0.00:	-0.34:	0.00:	0.00:	-0.60:
REC		1.14:	-1.45:	0.21:	0.00:	-0.60:	0.00:	0.00:	0.30:
FUE		-1.17:	-1.31:	-0.22:	0.00:	-0.57:	0.00:	0.00:	1.78:
POS		-0.43:	-0.77:	0.42:	0.00:	-0.21:	0.00:	0.00:	-0.36:
INT		-0.53:	1.93:	-1.34:	0.00:	-0.26:	0.00:	0.00:	-0.45:

Figura 91. Residuos ajustados correspondiente al retardo 0, obtenidos mediante el programa SDIS-GSEQ

Lag 3. ADJR. Adjusted residuals									
Given	Target	ES_RE	ES_DESP	ES_NC	MB_RE	MB_DESP	MB_NC	MPI_RE	MPI_DES
GOL		-0.25:	1.21:	0.52:	0.00:	-0.67:	0.00:	0.00:	-1.19:
EVI		1.02:	2.12:	-1.72:	0.00:	-0.34:	0.00:	0.00:	-0.60:
REC		-0.07:	-0.71:	-0.35:	0.00:	-0.61:	0.00:	0.00:	2.97:
FUE		0.13:	-1.21:	0.13:	0.00:	1.88:	0.00:	0.00:	-0.96:
POS		-0.43:	-0.78:	1.98:	0.00:	-0.21:	0.00:	0.00:	-0.37:
INT		-0.53:	-0.96:	-0.05:	0.00:	-0.26:	0.00:	0.00:	-0.46:

Figura 92. Residuos ajustados correspondiente al retardo 3, obtenidos mediante el programa SDIS-GSEQ

#### 4.2.2.6 Relación entre el momento de anticipación y reacción con su resultado:

Presentamos a continuación las relaciones de las conductas de anticipación y reacción con su resultado (ver las instrucciones de análisis – fichero .gsq- en Figuras 93, 98, 100, 101):

- ▶ Se encuentra en la bisectriz, mantiene la misma posición y está equilibrado en posición baja:
  - Estirada y recoge la pelota: el portero se hace con la pelota (2.36, retardo 0) (Figura 95).
  - Estirada y despeje: rechaza la pelota (3.15, retardo 0) (Figura 95); gol (3.37, retardo -2) (Figura 94).
  - Estirada y no toca la pelota: gol (3.08, retardo 0) (Figura 95).
  - No hace nada y no hay contacto: poste (1.99, retardo 1) (Figura 96).
- ▶ Se encuentra en la bisectriz, mantiene la misma posición y está equilibrado en posición alta:
  - Estirada y recoge la pelota: se hace con la pelota (4.97, retardo 0) (Figura 95).
  - Estirada y despeja la pelota: rechaza el balón (2.53, retardo 0 (Figura 95); 2.43, retardo 3 (Figura 97)).
  - Estirada y no hay contacto con la pelota: poste (2.04, retardo 0 (Figura 95); 3.33, retardo 1 (Figura 96)).
  - No hace nada y no hay contacto con la pelota: fuera (4.22, retardo 0) (Figura 95).
- ▶ Se encuentra en la bisectriz, mantiene la misma posición y está desequilibrado:
  - Estirada y no hay contacto con la pelota: un defensa intercepta la pelota (3.16, retardo 0) (Figura 95).
  - No hace nada y no toca la pelota: poste (3.93, retardo 0) (Figura 95).

```

File "C:\Documents and Settings\albert\Escritorio\Portero\Instrumento II (GSEQ)\Valdés\Albert..mds";
Pool + *;
And BI_MP_PB_ES_RE = BI_MP_PB_ES RE;
And BI_MP_PB_ES_DESP = BI_MP_PB_ES DESP;
And BI_MP_PB_ES_NC = BI_MP_PB_ES NC;
And BI_MP_PB_MB_RE = BI_MP_PB_MB RE;
And BI_MP_PB_MB_DESP = BI_MP_PB_MB DESP;
And BI_MP_PB_MB_NC = BI_MP_PB_MB NC;
And BI_MP_PB_MPI_RE = BI_MP_PB_MPI RE;
And BI_MP_PB_MPI_DESP = BI_MP_PB_MPI DESP;
And BI_MP_PB_MPI_NC = BI_MP_PB_MPI NC;
And BI_MP_PB_CU_RE = BI_MP_PB_CU RE;
And BI_MP_PB_CU_DESP = BI_MP_PB_CU DESP;
And BI_MP_PB_CU_NC = BI_MP_PB_CU NC;
And BI_MP_PB_NM_RE = BI_MP_PB_NM RE;
And BI_MP_PB_NM_DESP = BI_MP_PB_NM DESP;
And BI_MP_PB_NM_NC = BI_MP_PB_NM NC;
And BI_MP_PA_ES_RE = BI_MP_PA_ES RE;
And BI_MP_PA_ES_DESP = BI_MP_PA_ES DESP;
And BI_MP_PA_ES_NC = BI_MP_PA_ES NC;
And BI_MP_PA_MB_RE = BI_MP_PA_MB RE;
And BI_MP_PA_MB_DESP = BI_MP_PA_MB DESP;
And BI_MP_PA_MB_NC = BI_MP_PA_MB NC;
And BI_MP_PA_MPI_RE = BI_MP_PA_MPI RE;
And BI_MP_PA_MPI_DESP = BI_MP_PA_MPI DESP;
And BI_MP_PA_MPI_NC = BI_MP_PA_MPI NC;
And BI_MP_PA_CU_RE = BI_MP_PA_CU RE;
And BI_MP_PA_CU_DESP = BI_MP_PA_CU DESP;
And BI_MP_PA_CU_NC = BI_MP_PA_CU NC;
And BI_MP_PA_NM_RE = BI_MP_PA_NM RE;
And BI_MP_PA_NM_DESP = BI_MP_PA_NM DESP;
And BI_MP_PA_NM_NC = BI_MP_PA_NM NC;
And BI_MP_DE_ES_RE = BI_MP_DE_ES RE;
And BI_MP_DE_ES_DESP = BI_MP_DE_ES DESP;
And BI_MP_DE_ES_NC = BI_MP_DE_ES NC;
And BI_MP_DE_MB_RE = BI_MP_DE_MB RE;
And BI_MP_DE_MB_DESP = BI_MP_DE_MB DESP;
And BI_MP_DE_MB_NC = BI_MP_DE_MB NC;
And BI_MP_DE_MPI_RE = BI_MP_DE_MPI RE;
And BI_MP_DE_MPI_DESP = BI_MP_DE_MPI DESP;
And BI_MP_DE_MPI_NC = BI_MP_DE_MPI NC;
And BI_MP_DE_CU_RE = BI_MP_DE CU RE;

And BI_MP_DE_CU_DESP = BI_MP_DE CU DESP;
And BI_MP_DE_CU_NC = BI_MP_DE CU DESP;
And BI_MP_DE_NM_RE = BI_MP_DE NM RE;
And BI_MP_DE_NM_DESP = BI_MP_DE NM DESP;
And BI_MP_DE_NM_NC = BI_MP_DE NM NC;
Simple freq;
Stats jntf adjr;
Target GOL EVI REC FUE POS INT;
Lags -2 to 3;
Given BI_MP_PB_ES_RE BI_MP_PB_ES_DESP BI_MP_PB_ES_NC BI_MP_PB_MB_RE BI_MP_PB_MB_DESP
BI_MP_PB_MB_NC BI_MP_PB_MPI_RE BI_MP_PB_MPI_DESP BI_MP_PB_MPI_NC BI_MP_PB_CU_RE
BI_MP_PB_CU_DESP BI_MP_PB_CU_NC BI_MP_PB_NM_RE BI_MP_PB_NM_DESP BI_MP_PB_NM_NC
BI_MP_PA_ES_RE BI_MP_PA_ES_DESP BI_MP_PA_ES_NC BI_MP_PA_MB_RE BI_MP_PA_MB_DESP
BI_MP_PA_MB_NC BI_MP_PA_MPI_RE BI_MP_PA_MPI_DESP BI_MP_PA_MPI_NC BI_MP_PA_CU_RE
BI_MP_PA_CU_DESP BI_MP_PA_CU_NC BI_MP_PA_NM_RE BI_MP_PA_NM_DESP BI_MP_PA_NM_NC
BI_MP_DE_ES_RE BI_MP_DE_ES_DESP BI_MP_DE_ES_NC BI_MP_DE_MB_RE BI_MP_DE_MB_DESP
BI_MP_DE_MB_NC BI_MP_DE_MPI_RE BI_MP_DE_MPI_DESP BI_MP_DE_MPI_NC BI_MP_DE_CU_RE
BI_MP_DE_CU_DESP BI_MP_DE_CU_NC BI_MP_DE_NM_RE BI_MP_DE_NM_DESP BI_MP_DE_NM_NC;

```

ata. Data file: Albert..mds Command file: 6. Anticipación-Reacción + Resultado (BI-MP).gsq

Figura 93. Análisis de las relaciones del momento de anticipación y reacción con el resultado (cuando se encuentra en la bisectriz y en la misma posición) (fichero .gsq)

Given	Target	Lag -2. ADJR. Adjusted residuals					
		GOL	EVI	REC	FUE	POS	INT
BI_MP_P		1.88:	-0.39:	-0.75:	-0.45:	-0.19:	-0.33:
BI_MP_P		<u>3.37:</u>	-0.70:	-1.35:	-0.80:	-0.33:	-0.60:
BI_MP_P		1.41:	-0.82:	-0.47:	0.52:	-0.39:	-0.70:
BI_MP_P		0.00:	0.00:	0.00:	0.00:	0.00:	0.00:
BI_MP_P		0.00:	0.00:	0.00:	0.00:	0.00:	0.00:
BI_MP_P		0.00:	0.00:	0.00:	0.00:	0.00:	0.00:
BI_MP_P		0.00:	0.00:	0.00:	0.00:	0.00:	0.00:
BI_MP_P		0.00:	0.00:	0.00:	0.00:	0.00:	0.00:
BI_MP_P		0.00:	0.00:	0.00:	0.00:	0.00:	0.00:
BI_MP_P		0.00:	0.00:	0.00:	0.00:	0.00:	0.00:
BI_MP_P		0.00:	0.00:	0.00:	0.00:	0.00:	0.00:
BI_MP_P		-0.55:	-0.39:	-0.75:	2.32:	-0.19:	-0.33:
BI_MP_P		0.00:	0.00:	0.00:	0.00:	0.00:	0.00:
BI_MP_P		0.00:	0.00:	0.00:	0.00:	0.00:	0.00:
BI_MP_P		0.00:	0.00:	0.00:	0.00:	0.00:	0.00:
BI_MP_P		0.47:	-0.70:	-0.08:	0.85:	-0.33:	-0.60:
BI_MP_P		-0.98:	1.11:	1.19:	-0.80:	-0.33:	-0.60:
BI_MP_P		-0.79:	1.62:	-1.08:	-0.64:	-0.27:	<u>1.99:</u>
BI_MP_P		-0.98:	1.11:	-0.08:	0.85:	-0.33:	-0.60:
BI_MP_P		0.00:	0.00:	0.00:	0.00:	0.00:	0.00:
BI_MP_P		0.00:	0.00:	0.00:	0.00:	0.00:	0.00:
BI_MP_P		0.00:	0.00:	0.00:	0.00:	0.00:	0.00:
BI_MP_P		0.00:	0.00:	0.00:	0.00:	0.00:	0.00:
BI_MP_P		0.00:	0.00:	0.00:	0.00:	0.00:	0.00:
BI_MP_P		0.00:	0.00:	0.00:	0.00:	0.00:	0.00:
BI_MP_P		0.00:	0.00:	0.00:	0.00:	0.00:	0.00:
BI_MP_P		-0.55:	-0.39:	1.37:	-0.45:	-0.19:	-0.33:
BI_MP_P		0.00:	0.00:	0.00:	0.00:	0.00:	0.00:
BI_MP_P		0.00:	0.00:	0.00:	0.00:	0.00:	0.00:
BI_MP_P		0.00:	0.00:	0.00:	0.00:	0.00:	0.00:
BI_MP_D		-1.32:	0.52:	-0.79:	0.26:	2.32:	0.85:
BI_MP_D		0.00:	0.00:	0.00:	0.00:	0.00:	0.00:
BI_MP_D		-0.79:	-0.56:	0.44:	-0.64:	-0.27:	<u>1.99:</u>
BI_MP_D		-0.55:	-0.39:	1.37:	-0.45:	-0.19:	-0.33:
BI_MP_D		0.00:	0.00:	0.00:	0.00:	0.00:	0.00:
BI_MP_D		0.00:	0.00:	0.00:	0.00:	0.00:	0.00:
BI_MP_D		0.00:	0.00:	0.00:	0.00:	0.00:	0.00:
BI_MP_D		0.00:	0.00:	0.00:	0.00:	0.00:	0.00:
BI_MP_D		-0.55:	-0.39:	1.37:	-0.45:	-0.19:	-0.33:
BI_MP_D		0.00:	0.00:	0.00:	0.00:	0.00:	0.00:
BI_MP_D		0.00:	0.00:	0.00:	0.00:	0.00:	0.00:
BI_MP_D		0.00:	0.00:	0.00:	0.00:	0.00:	0.00:
BI_MP_D		0.00:	0.00:	0.00:	0.00:	0.00:	0.00:
BI_MP_D		-0.55:	-0.39:	1.37:	-0.45:	-0.19:	-0.33:
BI_MP_D		0.00:	0.00:	0.00:	0.00:	0.00:	0.00:
BI_MP_D		0.00:	0.00:	0.00:	0.00:	0.00:	0.00:
BI_MP_D		0.00:	0.00:	0.00:	0.00:	0.00:	0.00:
BI_MP_D		0.00:	0.00:	0.00:	0.00:	0.00:	0.00:
BI_MP_D		-0.55:	-0.39:	1.37:	-0.45:	-0.19:	-0.33:

Figura 94. Residuos ajustados correspondiente al retardo -2, obtenidos mediante el programa SDIS-GSEQ

Lag 0. ADJR. Adjusted residuals						
Given	Target					
	GOL	EVI	REC	FUE	POS	INT
BI_MP_P	-0.49:	<u>2.36:</u>	-0.59:	-0.59:	-0.26:	-0.33:
BI_MP_P	-0.87:	-0.78:	<u>3.15:</u>	-1.05:	-0.47:	-0.59:
BI_MP_P	<u>3.08:</u>	-0.92:	-1.23:	-1.23:	-0.55:	1.15:
BI_MP_P	0.00:	0.00:	0.00:	0.00:	0.00:	0.00:
BI_MP_P	0.00:	0.00:	0.00:	0.00:	0.00:	0.00:
BI_MP_P	0.00:	0.00:	0.00:	0.00:	0.00:	0.00:
BI_MP_P	0.00:	0.00:	0.00:	0.00:	0.00:	0.00:
BI_MP_P	0.00:	0.00:	0.00:	0.00:	0.00:	0.00:
BI_MP_P	0.00:	0.00:	0.00:	0.00:	0.00:	0.00:
BI_MP_P	0.00:	0.00:	0.00:	0.00:	0.00:	0.00:
BI_MP_P	-0.49:	-0.44:	1.76:	-0.59:	-0.26:	-0.33:
BI_MP_P	0.00:	0.00:	0.00:	0.00:	0.00:	0.00:
BI_MP_P	0.00:	0.00:	0.00:	0.00:	0.00:	0.00:
BI_MP_P	0.00:	0.00:	0.00:	0.00:	0.00:	0.00:
BI_MP_P	0.68:	-0.78:	-1.05:	0.35:	-0.47:	1.50:
BI_MP_P	-1.03:	<u>4.97:</u>	-1.23:	-1.23:	-0.55:	-0.69:
BI_MP_P	-0.70:	-0.63:	<u>2.53:</u>	-0.84:	-0.38:	-0.47:
BI_MP_P	0.68:	-0.78:	-1.05:	0.35:	<u>2.04:</u>	-0.59:
BI_MP_P	0.00:	0.00:	0.00:	0.00:	0.00:	0.00:
BI_MP_P	0.00:	0.00:	0.00:	0.00:	0.00:	0.00:
BI_MP_P	0.00:	0.00:	0.00:	0.00:	0.00:	0.00:
BI_MP_P	0.00:	0.00:	0.00:	0.00:	0.00:	0.00:
BI_MP_P	0.00:	0.00:	0.00:	0.00:	0.00:	0.00:
BI_MP_P	0.00:	0.00:	0.00:	0.00:	0.00:	0.00:
BI_MP_P	0.00:	0.00:	0.00:	0.00:	0.00:	0.00:
BI_MP_P	-0.49:	-0.44:	1.76:	-0.59:	-0.26:	-0.33:
BI_MP_P	0.00:	0.00:	0.00:	0.00:	0.00:	0.00:
BI_MP_P	0.00:	0.00:	0.00:	0.00:	0.00:	0.00:
BI_MP_P	0.00:	0.00:	0.00:	0.00:	0.00:	0.00:
BI_MP_P	-1.17:	-1.05:	-1.41:	<u>4.22:</u>	-0.63:	-0.78:
BI_MP_D	0.00:	0.00:	0.00:	0.00:	0.00:	0.00:
BI_MP_D	1.17:	-0.63:	-0.84:	0.84:	-0.38:	-0.47:
BI_MP_D	-0.49:	-0.44:	-0.59:	-0.59:	-0.26:	<u>3.16:</u>
BI_MP_D	0.00:	0.00:	0.00:	0.00:	0.00:	0.00:
BI_MP_D	0.00:	0.00:	0.00:	0.00:	0.00:	0.00:
BI_MP_D	0.00:	0.00:	0.00:	0.00:	0.00:	0.00:
BI_MP_D	0.00:	0.00:	0.00:	0.00:	0.00:	0.00:
BI_MP_D	-0.49:	-0.44:	1.76:	-0.59:	-0.26:	-0.33:
BI_MP_D	0.00:	0.00:	0.00:	0.00:	0.00:	0.00:
BI_MP_D	0.00:	0.00:	0.00:	0.00:	0.00:	0.00:
BI_MP_D	0.00:	0.00:	0.00:	0.00:	0.00:	0.00:
BI_MP_D	0.00:	0.00:	0.00:	0.00:	0.00:	0.00:
BI_MP_D	0.00:	0.00:	0.00:	0.00:	0.00:	0.00:
BI_MP_D	-0.49:	-0.44:	-0.59:	-0.59:	0.00:	0.00:
BI_MP_D	<u>3.93:</u>	-0.33:	0.00:	0.00:	0.00:	0.00:

Figura 95. Residuos ajustados correspondiente al retardo 0, obtenidos mediante el programa SDIS-GSEQ

Figura 96. Residuos ajustados correspondiente al retardo 1, obtenidos mediante el programa SDIS-GSEQ

Figura 97. Residuos ajustados correspondiente al retardo 3, obtenidos mediante el programa SDIS-GSEQ

- Se encuentra en la bisectriz, cambia de posición y está desequilibrado:
  - Movimiento de pierna y despeje: rechaza la pelota (2.07, retardo 0) (Figura 99).
  - Estirada y despeje de la pelota: rechaza la pelota (2.07, retardo 0) (Figura 99).

```

File "C:\Documents and Settings\albert\Escritorio\Portero\Instrumento II (GSEQ)\Valdés\Albert..mds";
Pool + *;
And BI_CP_PB_ES_RE = BI CP PB ES RE;
And BI_CP_PB_ES_DESP = BI CP PB ES DESP;
And BI_CP_PB_ES_NC = BI CP PB ES NC;
And BI_CP_PB_MB_RE = BI CP PB MB RE;
And BI_CP_PB_MB_DESP = BI CP PB MB DESP;
And BI_CP_PB_MB_NC = BI CP PB MB NC;
And BI_CP_PB_MPI_RE = BI CP PB MPI RE;
And BI_CP_PB_MPI_DESP = BI CP PB MPI DESP;
And BI_CP_PB_MPI_NC = BI CP PB MPI NC;
And BI_CP_PB_CU_RE = BI CP PB CU RE;
And BI_CP_PB_CU_DESP = BI CP PB CU DESP;
And BI_CP_PB_CU_NC = BI CP PB CU NC;
And BI_CP_PB_NM_RE = BI CP PB NM RE;
And BI_CP_PB_NM_DESP = BI CP PB NM DESP;
And BI_CP_PB_NM_NC = BI CP PB NM NC;
And BI_CP_PA_ES_RE = BI CP PA ES RE;
And BI_CP_PA_ES_DESP = BI CP PA ES DESP;
And BI_CP_PA_ES_NC = BI CP PA ES NC;
And BI_CP_PA_MB_RE = BI CP PA MB RE;
And BI_CP_PA_MB_DESP = BI CP PA MB DESP;
And BI_CP_PA_MB_NC = BI CP PA MB NC;
And BI_CP_PA_MPI_RE = BI CP PA MPI RE;
And BI_CP_PA_MPI_DESP = BI CP PA MPI DESP;
And BI_CP_PA_MPI_NC = BI CP PA MPI NC;
And BI_CP_PA_CU_RE = BI CP PA CU RE;
And BI_CP_PA_CU_DESP = BI CP PA CU DESP;
And BI_CP_PA_CU_NC = BI CP PA CU NC;
And BI_CP_PA_NM_RE = BI CP PA NM RE;
And BI_CP_PA_NM_DESP = BI CP PA NM DESP;
And BI_CP_PA_NM_NC = BI CP PA NM NC;
And BI_CP_DE_ES_RE = BI CP DE ES RE;
And BI_CP_DE_ES_DESP = BI CP DE ES DESP;
And BI_CP_DE_ES_NC = BI CP DE ES NC;
And BI_CP_DE_MB_RE = BI CP DE MB RE;
And BI_CP_DE_MB_DESP = BI CP DE MB DESP;
And BI_CP_DE_MB_NC = BI CP DE MB NC;
And BI_CP_DE_MPI_RE = BI CP DE MPI RE;
And BI_CP_DE_MPI_DESP = BI CP DE MPI DESP;
And BI_CP_DE_MPI_NC = BI CP DE MPI NC;
And BI_CP_DE_CU_RE = BI CP DE CU RE;
And BI_CP_DE_CU_DESP = BI CP DE CU DESP;
And BI_CP_DE_CU_NC = BI CP DE CU NC;
And BI_CP_DE_NM_RE = BI CP DE NM RE;
And BI_CP_DE_NM_DESP = BI CP DE NM DESP;
And BI_CP_DE_NM_NC = BI CP DE NM NC;
Simple freq;
Stats jntf adjr;
Target GOL EVI REC FUE POS INT;
Lags -2 to 3;
Given BI_CP_PB_ES_RE BI_CP_PB_ES_DESP BI_CP_PB_ES_NC BI_CP_PB_MB_RE BI_CP_PB_MB_DESP
BI_CP_PB_MB_NC BI_CP_PB_MPI_RE BI_CP_PB_MPI_DESP BI_CP_PB_MPI_NC BI_CP_PB_CU_RE
BI_CP_PB_CU_DESP BI_CP_PB_CU_NC BI_CP_PB_NM_RE BI_CP_PB_NM_DESP BI_CP_PB_NM_NC
BI_CP_PA_ES_RE BI_CP_PA_ES_DESP BI_CP_PA_ES_NC BI_CP_PA_MB_RE BI_CP_PA_MB_DESP
BI_CP_PA_MB_NC BI_CP_PA_MPI_NC BI_CP_PA_CU_RE BI_CP_PA_CU_DESP BI_CP_PA_CU_NC
BI_CP_PA_NM_RE BI_CP_PA_NM_DESP BI_CP_PA_NM_NC BI_CP_DE_ES_RE BI_CP_DE_ES_DESP
BI_CP_DE_ES_NC BI_CP_DE_MB_RE BI_CP_DE_MB_DESP BI_CP_DE_MB_NC BI_CP_DE_MPI_RE
BI_CP_DE_MPI_DESP BI_CP_DE_MPI_NC BI_CP_DE_CU_RE BI_CP_DE_CU_DESP BI_CP_DE_CU_NC
BI_CP_DE_NM_RE BI_CP_DE_NM_DESP BI_CP_DE_NM_NC;
```

ata. Data file: Albert..mds Command file: 7. Anticipación-Reacción + Resultado (BI-CP).gsq

Figura 98. Análisis de las relaciones del momento de anticipación y reacción con el resultado (cuando se encuentra en la bisectriz y cambia de posición) (fichero .gsq)

Figura 99. Residuos ajustados correspondiente al retardo 0, obtenidos mediante el programa SDIS-GSEQ

```

File "C:\Documents and Settings\albert\Escritorio\Portero\Instrumento II (GSEQ)\Valdés\Albert..mds";
Pool +*;
And FBI_MP_PB_ES_RE = FBI MP PB ES RE;
And FBI_MP_PB_ES_DESP = FBI MP PB ES DESP;
And FBI_MP_PB_ES_NC = FBI MP PB ES NC;
And FBI_MP_PB_MB_RE = FBI MP PB MB RE;
And FBI_MP_PB_MB_DESP = FBI MP PB MB DESP;
And FBI_MP_PB_MB_NC = FBI MP PB MB NC;
And FBI_MP_PB_MPI_RE = FBI MP PB MPI RE;
And FBI_MP_PB_MPI_DESP = FBI MP PB MPI DESP;
And FBI_MP_PB_MPI_NC = FBI MP PB MPI NC;
And FBI_MP_PB_CU_RE = FBI MP PB CU RE;
And FBI_MP_PB_CU_DESP = FBI MP PB CU DESP;
And FBI_MP_PB_CU_NC = FBI MP PB CU NC;
And FBI_MP_PB_NM_RE = FBI MP PB NM RE;
And FBI_MP_PB_NM_DESP = FBI MP PB NM DESP;
And FBI_MP_PB_NM_NC = FBI MP PB NM NC;
And FBI_MP_PA_ES_RE = FBI MP PA ES RE;
And FBI_MP_PA_ES_DESP = FBI MP PA ES DESP;
And FBI_MP_PA_ES_NC = FBI MP PA ES NC;
And FBI_MP_PA_MB_RE = FBI MP PA MB RE;
And FBI_MP_PA_MB_DESP = FBI MP PA MB DESP;
And FBI_MP_PA_MB_NC = FBI MP PA MB NC;
And FBI_MP_PA_MPI_RE = FBI MP PA MPI RE;
And FBI_MP_PA_MPI_DESP = FBI MP PA MPI DESP;
And FBI_MP_PA_MPI_NC = FBI MP PA MPI NC;
And FBI_MP_PA_CU_RE = FBI MP PA CU RE;
And FBI_MP_PA_CU_DESP = FBI MP PA CU DESP;
And FBI_MP_PA_CU_NC = FBI MP PA CU NC;
And FBI_MP_PA_NM_RE = FBI MP PA NM RE;
And FBI_MP_PA_NM_DESP = FBI MP PA NM DESP;
And FBI_MP_PA_NM_NC = FBI MP PA NM NC;
And FBI_MP_DE_ES_RE = FBI MP DE ES RE;
And FBI_MP_DE_ES_DESP = FBI MP DE ES DESP;
And FBI_MP_DE_ES_NC = FBI MP DE ES NC;
And FBI_MP_DE_MB_RE = FBI MP DE MB RE;
And FBI_MP_DE_MB_DESP = FBI MP DE MB DESP;
And FBI_MP_DE_MB_NC = FBI MP DE MB NC;
And FBI_MP_DE_MPI_RE = FBI MP DE MPI RE;
And FBI_MP_DE_MPI_DESP = FBI MP DE MPI DESP;
And FBI_MP_DE_MPI_NC = FBI MP DE MPI NC;
And FBI_MP_DE_CU_RE = FBI MP DE CU RE;

And FBI_MP_DE_CU_DESP = FBI MP DE CU DESP;
And FBI_MP_DE_CU_NC = FBI MP DE CU NC;
And FBI_MP_DE_NM_RE = FBI MP DE NM RE;
And FBI_MP_DE_NM_DESP = FBI MP DE NM DESP;
And FBI_MP_DE_NM_NC = FBI MP DE NM NC;
Simple freq;
Stats jntf adjr;
Target GOL EVI REC FUE POS INT;
Lags -2 to 3;
Given FBI_MP_PB_ES_RE FBI_MP_PB_ES_DESP FBI_MP_PB_ES_NC FBI_MP_PB_MB_RE FBI_MP_PB_MB_DESP
FBI_MP_PB_MB_NC FBI_MP_PB_MPI_RE FBI_MP_PB_MPI_DESP FBI_MP_PB_MPI_NC FBI_MP_PB_CU_RE
FBI_MP_PB_CU_DESP FBI_MP_PB_CU_NC FBI_MP_PB_NM_RE FBI_MP_PB_NM_DESP FBI_MP_PB_NM_NC
FBI_MP_PA_ES_RE FBI_MP_PA_ES_DESP FBI_MP_PA_ES_NC FBI_MP_PA_MB_RE FBI_MP_PA_MB_DESP
FBI_MP_PA_MB_NC FBI_MP_PA_MPI_RE FBI_MP_PA_MPI_DESP FBI_MP_PA_MPI_NC FBI_MP_PA_CU_RE
FBI_MP_PA_CU_DESP FBI_MP_PA_CU_NC FBI_MP_PA_NM_RE FBI_MP_PA_NM_DESP FBI_MP_PA_NM_NC
FBI_MP_DE_ES_RE FBI_MP_DE_ES_DESP FBI_MP_DE_ES_NC FBI_MP_DE_MB_RE FBI_MP_DE_MB_DESP
FBI_MP_DE_MB_NC FBI_MP_DE_MPI_RE FBI_MP_DE_MPI_DESP FBI_MP_DE_MPI_NC FBI_MP_DE_CU_RE
FBI_MP_DE_CU_DESP FBI_MP_DE_CU_NC FBI_MP_DE_NM_RE FBI_MP_DE_NM_DESP FBI_MP_DE_NM_NC;

```

◀ ▶ ⏪ ⏩

ata.	Data file: Albert..mds	Command file: 9. Anticipación-Reacción + Resultado (FBI-MP).gsq
------	------------------------	---

Figura 100. Análisis de las relaciones del momento de anticipación y reacción con el resultado

(cuando se encuentra fuera de la bisectriz y mantiene la posición) (fichero .gsq)

```

File "C:\Documents and Settings\albert\Escritorio\Portero\Instrumento II (GSEQ)\Valdés\Albert.mds";
Pool + *;
And FBI_CP_PB_ES_RE = FBI CP PB ES RE;
And FBI_CP_PB_ES_DESP = FBI CP PB ES DESP;
And FBI_CP_PB_ES_NC = FBI CP PB ES NC;
And FBI_CP_PB_MB_RE = FBI CP PB MB RE;
And FBI_CP_PB_MB_DESP = FBI CP PB MB DESP;
And FBI_CP_PB_MB_NC = FBI CP PB MB NC;
And FBI_CP_PB_MPI_RE = FBI CP PB MPI RE;
And FBI_CP_PB_MPI_DESP = FBI CP PB MPI DESP;
And FBI_CP_PB_MPI_NC = FBI CP PB MPI NC;
And FBI_CP_PB_CU_RE = FBI CP PB CU RE;
And FBI_CP_PB_CU_DESP = FBI CP PB CU DESP;
And FBI_CP_PB_CU_NC = FBI CP PB CU NC;
And FBI_CP_PA_ES_RE = FBI CP PA ES RE;
And FBI_CP_PA_ES_DESP = FBI CP PA ES DESP;
And FBI_CP_PA_ES_NC = FBI CP PA ES NC;
And FBI_CP_PA_MB_RE = FBI CP PA MB RE;
And FBI_CP_PA_MB_DESP = FBI CP PA MB DESP;
And FBI_CP_PA_MB_NC = FBI CP PA MB NC;
And FBI_CP_PA_MPI_RE = FBI CP PA MPI RE;
And FBI_CP_PA_MPI_DESP = FBI CP PA MPI DESP;
And FBI_CP_PA_MPI_NC = FBI CP PA MPI NC;
And FBI_CP_PA_CU_RE = FBI CP PA CU RE;
And FBI_CP_PA_CU_DESP = FBI CP PA CU DESP;
And FBI_CP_PA_CU_NC = FBI CP PA CU NC;
And FBI_CP_PA_NM_RE = FBI CP PA NM RE;
And FBI_CP_PA_NM_DESP = FBI CP PA NM DESP;
And FBI_CP_PA_NM_NC = FBI CP PA NM NC;
And FBI_CP_DE_ES_RE = FBI CP DE ES RE;
And FBI_CP_DE_ES_DESP = FBI CP DE ES DESP;
And FBI_CP_DE_ES_NC = FBI CP DE ES NC;
And FBI_CP_DE_MB_RE = FBI CP DE MB RE;
And FBI_CP_DE_MB_DESP = FBI CP DE MB DESP;
And FBI_CP_DE_MB_NC = FBI CP DE MB NC;
And FBI_CP_DE_MPI_RE = FBI CP DE MPI RE;
And FBI_CP_DE_MPI_DESP = FBI CP DE MPI DESP;
And FBI_CP_DE_MPI_NC = FBI CP DE MPI NC;
And FBI_CP_DE_CU_RE = FBI CP DE CU RE;

And FBI_CP_DE_CU_DESP = FBI CP DE CU DESP;
And FBI_CP_DE_CU_NC = FBI CP DE CU NC;
And FBI_CP_DE_NM_RE = FBI CP DE NM RE;
And FBI_CP_DE_NM_DESP = FBI CP DE NM DESP;
And FBI_CP_DE_NM_NC = FBI CP DE NM NC;
Simple freq;
Stats jntf adjr;
Target GOL EVI REC FUE POS INT;
Lags -2 to 3;
Given FBI_CP_PB_ES_RE FBI_CP_PB_ES_DESP FBI_CP_PB_ES_NC FBI_CP_PB_MB_RE FBI_CP_PB_MB_DESP
FBI_CP_PB_MB_NC FBI_CP_PB_MPI_RE FBI_CP_PB_MPI_DESP FBI_CP_PB_MPI_NC FBI_CP_PB_CU_RE
FBI_CP_PB_CU_DESP FBI_CP_PB_CU_NC FBI_CP_PB_NM_RE FBI_CP_PB_NM_DESP FBI_CP_PB_NM_NC
FBI_CP_PA_ES_RE FBI_CP_PA_ES_DESP FBI_CP_PA_ES_NC FBI_CP_PA_MB_RE FBI_CP_PA_MB_DESP
FBI_CP_PA_MB_NC FBI_CP_PA_MPI_RE FBI_CP_PA_MPI_DESP FBI_CP_PA_MPI_NC FBI_CP_PA_CU_RE
FBI_CP_PA_CU_DESP FBI_CP_PA_CU_NC FBI_CP_PA_NM_RE FBI_CP_PA_NM_DESP FBI_CP_PA_NM_NC
FBI_CP_DE_ES_RE FBI_CP_DE_ES_DESP FBI_CP_DE_ES_NC FBI_CP_DE_MB_RE FBI_CP_DE_MB_DESP
FBI_CP_DE_MB_NC FBI_CP_DE_MPI_RE FBI_CP_DE_MPI_DESP FBI_CP_DE_MPI_NC FBI_CP_DE_CU_RE
FBI_CP_DE_CU_DESP FBI_CP_DE_CU_NC FBI_CP_DE_NM_RE FBI_CP_DE_NM_DESP FBI_CP_DE_NM_NC;

```

◀ ▶ ⏪ ⏩

ata. Data file: Albert.mds Command file: 10. Anticipación-Reacción + Resultado (FBI-CP).gsq

Figura 101. Análisis de las relaciones del momento de anticipación y reacción con el resultado (cuando se encuentra fuera de la bisectriz y cambia de posición) (fichero .gsq)

#### 4.2.3 Comparación de los resultados entre Casillas y Valdés

##### 4.2.3.1 Momento de anticipación o preparación al tiro del delantero

###### ■ Conductas de los porteros

En el momento de anticipación al tiro del atacante Iker manifiesta 9 comportamientos diferenciados y Víctor 7, de los 12 posibles estudiados. Hay 7 conductas coincidentes en ambos porteros, y además, Casillas desarrolla dos más.

Los comportamientos que ambos realizan son:

1. Se encuentra en la bisectriz, mantiene la misma posición y está equilibrado en posición baja.
2. Se encuentra en la bisectriz, mantiene la misma posición y está equilibrado en posición alta.
3. Se encuentra en la bisectriz, mantiene la misma posición y está en desequilibrado.
4. Se encuentra en la bisectriz, cambiando de posición y está en posición alta.
5. Se encuentra en la bisectriz, está cambiando de posición y está desequilibrado.
6. Se encuentra fuera de la bisectriz, mantiene la misma posición y está desequilibrado.
7. Se encuentra fuera de la bisectriz, está cambiando de posición y está desequilibrado.

Los comportamientos que Iker manifiesta y Víctor no, son:

1. Se encuentra fuera de la bisectriz, mantiene la misma posición y está equilibrado en posición alta.
2. Se encuentra fuera de la bisectriz, está cambiando de posición y está equilibrado en posición alta.

### ■ Patrones de conducta

De estos comportamientos que ambos porteros manifiestan durante sus actuaciones en la competición Iker únicamente manifiesta 4 como claros patrones de conducta y Víctor 5; 3 de ellos coincidentes en ambos.

Los patrones de conducta coincidentes son:

- ▶ Se encuentra en la bisectriz, mantiene la misma posición y está equilibrado en posición baja.
- ▶ Se encuentra en la bisectriz, está cambiando de posición y está desequilibrado.
- ▶ Se encuentra fuera de la bisectriz, está cambiando de posición y está desequilibrando.

El patrón diferenciado de Casillas es:

- ▶ Se encuentra fuera de la bisectriz, en la misma posición y está en posición alta (2.04, retardo -2) (Figura 17).

Los patrones de conducta diferenciados de Valdés son:

- ▶ Se encuentra en la bisectriz, mantiene la misma posición y está equilibrado en posición alta (3.10, retardo 0) (Figura 63).
- ▶ Se encuentra en la bisectriz, mantiene la misma posición y está desequilibrado (2.19, retardo 1) (Figura 64).

#### 4.2.3.2 Patrones de conducta en relación a la distancia con el delantero

Además es interesante relacionar dichos patrones de conducta con la distancia que le separa al portero del delantero (distancias muy cortas y cortas), para ver como afecta dicha distancia a la realización de uno u otro patrón.

Iker realiza los siguientes patrones de conducta en relación a la distancia:

- ▶ Se encuentra en la bisectriz, está cambiando de posición y está desequilibrado, lo realiza en **distancias muy cortas** (3.53, retardo 0) (Figura 20).
- ▶ Se encuentra en la bisectriz, mantiene la misma posición y está equilibrado en posición baja, lo realiza en **distancias cortas** (2.92, retardo 0) (Figura 20).

Víctor realiza los siguientes patrones de conducta en relación a la distancia:

- ▶ Se encuentra en la bisectriz, mantiene la misma posición y está equilibrado en posición baja, lo realiza en **distancias muy cortas** (2.17, retardo -1) (Figura 68).
- ▶ Se encuentra en la bisectriz, mantiene la misma posición y está equilibrado en posición alta, lo realiza en **distancias cortas** (2.70, retardo 0) (Figura 67).

- Se encuentra en la bisectriz, está cambiando de posición y está desequilibrado, lo realiza en **distancias muy cortas** (4.41, retardo 0) (Figura 67) y **en distancias cortas** (2.10, retardo -1) (Figura 66).

Encontramos como en la realización de un mismo patrón de conducta por ambos porteros (bisectriz, misma posición y posición baja) uno, Iker, lo utiliza en distancias cortas, y el otro, Víctor, en distancias muy cortas.

En cambio otro mismo patrón (bisectriz, cambiando de posición y desequilibrado) ambos lo utilizan preferentemente en distancias muy cortas.

En los otros patrones de conducta no encontramos relaciones de dependencia en relación a la distancia con el delantero, aunque dicha relación si la encontramos en una conducta, coincidente en ambos porteros, pero que en ninguno de ellos la podemos considerar patrón de conducta, esta es:

- Se encuentra en la bisectriz, mantiene la posición y está desequilibrado, lo realizan en **distancias muy cortas**.

■ Ubicación y movimiento

La ubicación del portero condiciona el movimiento que este tiene que realizar para prepararse para el lanzamiento del delantero, de esta forma en nuestro estudio encontramos que:

- Cuando se encuentran en la bisectriz del ángulo de tiro del delantero mantienen la posición.
- Cuando se encuentran fuera de la bisectriz están cambiando de posición.

Ambos porteros principalmente se desplazan para ubicarse en la bisectriz del ángulo de tiro del delantero.

■ Ubicación y estabilidad

De la misma forma que la ubicación condiciona el movimiento del portero, también implica una modificación de la estabilidad del mismo. De esta forma en nuestro estudio observamos la siguiente tendencia en ambos porteros:

- Cuando se encuentran fuera de la bisectriz se encuentran desequilibrados.

Además, también observamos que la estabilidad es diferente en cada uno de ellos.

En Iker observamos que:

- Cuando se encuentra en la bisectriz mantiene la posición baja (3.15, retardo 0) (Figura 25).
- Cuando se encuentra en la bisectriz se encuentra desequilibrado (2.02, retardo -2) (Figura 24).

En Víctor observamos que:

- Cuando se encuentra en la bisectriz mantiene la posición alta (2.08, retardo 0) (Figura 72).

Ambos solucionan las situaciones de juego con una posición inicial diferente, Casillas adopta una posición baja y Valdés una posición más alta.

#### 4.2.3.3 Momento de reacción al tiro del delantero:

##### ■ Conductas de los porteros

En el momento de reacción al tiro del atacante Iker manifiesta 11 comportamientos diferenciados y Víctor 8, de los 15 posibles estudiados. Hay 8 conductas coincidentes en ambos porteros, y además, Casillas desarrolla tres más.

Los comportamientos que ambos realizan son:

1. Movimiento de brazos y despeje de la pelota.
2. Movimiento de brazos pero no toca la pelota.
3. Movimiento de piernas y despeja la pelota.
4. Estirada pero no toca la pelota.
5. Estirada y despeja la pelota.
6. Estirada y recoge la pelota.
7. No hace nada y no hay contacto con la pelota.
8. Opone el cuerpo como pared y despeja la pelota.

Los comportamientos que Iker manifiesta y Víctor no, son:

1. Movimiento de brazos y recoge la pelota.
2. Movimiento de piernas pero no toca la pelota.
3. Opone el cuerpo como pared pero no toca la pelota.

■ Patrones de conducta

De estos comportamientos que ambos porteros manifiestan durante sus actuaciones en la competición Iker únicamente manifiesta 4 como claros patrones de conducta y Víctor 3; 2 de ellos coincidentes en ambos.

Los patrones de conducta coincidentes son:

- ▶ Movimiento de piernas y despeja la pelota.
- ▶ No hace nada y no hay contacto con la pelota.

Los patrones de conducta diferenciados de Casillas son:

- ▶ Estirada pero no toca la pelota (2.26, retardo 0) (Figura 27).
- ▶ Movimiento de brazos y recoge la pelota (1.97, retardo 0) (Figura 27).

El patrón diferenciado de Valdés es:

- ▶ Opone el cuerpo y despeja la pelota (2.07, retardo 0) (Figura 74).

#### 4.2.3.4 Relación entre el momento de anticipación y el de reacción:

Presentamos a continuación las relaciones de anticipación y reacción que manifiestan ambos porteros tanto en patrones de conductas como en comportamientos.

- Se encuentra en la bisectriz, está cambiando de posición y está desequilibrado; se relaciona con:
  - a. estirada pero no toca la pelota;
  - b. estirada y despeje (3.41, retardo 0) (Figura 31);
  - c. movimiento de pierna y despeje de la pelota (2.12, retardo 0) (Figura 78);
  - d. movimiento de brazo y despeje de la pelota (2.02, retardo -1) (Figura 77).
- Se encuentra fuera de la bisectriz, está cambiando de posición y está desequilibrado; se relaciona con:
  - a. estirada y despeje;
  - b. opone el cuerpo pero no toca la pelota (2.91, retardo 2) (Figura 33);
  - c. estirada y no toca la pelota (3.31, retardo 0) (Figura 31);
  - d. opone el cuerpo y despeja la pelota (2.70, retardo -2) (Figura 76);
  - e. estirada y recoge la pelota (3.48, retardo -1) (Figura 77).
- Se encuentra en la bisectriz, mantiene la misma posición y está en posición alta; se relaciona con:
  - a. oposición del cuerpo y despeje;
  - b. oposición del cuerpo pero no toca la pelota (2.50, retardo 1) (Figura 32);
  - c. no hace nada y no toca la pelota (2.19, retardo 1) (Figura 32);
  - d. estirada y recogida de la pelota (2.61, retardo 0 (Figura 78); 2.69, retardo -2 (Figura 76));
  - e. movimiento de pierna y despeje (2.73, retardo 1) (Figura 79).

\*Rojo, son los datos de Iker; azul, son los datos de Víctor; negro, los de ambos.

- Se encuentra en la bisectriz, mantiene la misma posición y está desequilibrado; se relaciona con:
  - a. estirada y recogida (2.91, retardo 0) (Figura 31);
  - b. movimiento de brazos sin contacto con la pelota (2.91, retardo 0 (Figura 31); 4.20, retardo 3 (Figura 34));
  - c. movimiento de brazos y recogida (2.86, retardo 2) (Figura 33);
  - d. movimiento de piernas y no toca la pelota (2.88, retardo -1 (Figura 30); 2.86, retardo 2 (Figura 33));
  - e. movimiento de piernas y despeje (3.26, retardo 1) (Figura 32);
  - f. opone el cuerpo pero no toca la pelota (4.28, retardo -1) (Figura 32);
  - g. estirada y recoge la pelota (2.12, retardo -2) (Figura 76);
  - h. opone el cuerpo y despeja la pelota (3.03; retardo -1) (Figura 77);
  - i. no hace nada y no toca (2.16, retardo 1) (Figura 79).
- Se encuentra en la bisectriz, cambiando la posición y está en posición alta; se relaciona con:
  - a. movimiento de brazo y despeje (3.19, retardo 3) (Figura 34);
  - b. movimiento de brazos y sin contacto con la pelota (5.34, retardo 0) (Figura 31);
  - c. estirada y recoge la pelota (3.03, retardo 1 (Figura 79); 3.35, retardo 3 (Figura 81)).
- Se encuentra fuera de la bisectriz, mantiene la misma posición y está desequilibrado; se relaciona con:
  - a. no hace nada y no toca la pelota (2.60, retardo 0; 2.57, retardo -1; 2.72, retardo 1);
  - b. estirada y no toca la pelota (2.07, retardo -2; 1.98, retardo 2);
  - c. movimiento de brazos y despeje (2.25, retardo -1) (Figura 30);
  - d. movimiento de pierna pero no toca la pelota (5.29, retardo 1) (Figura 32).

- Se encuentra fuera de la bisectriz, mantiene la misma posición y está en posición alta; se relaciona con:
  - a. movimiento de brazo sin contacto con la pelota (5.29, retardo -1) (Figura 30);
  - b. movimiento de brazo y despeje (3.22, retardo 2) (Figura 33);
  - c. no hace nada y no toca la pelota (2.28, retardo 3) (Figura 34).
- Se encuentra fuera de la bisectriz, está cambiando la posición y está equilibrado en posición alta; se relaciona con:
  - a. opone el cuerpo como oposición y despeja la pelota (5.24, retardo -2) (Figura 29);
  - b. no hace nada y no toca la pelota (2.31, retardo 2) (Figura 33);
  - c. movimiento de pierna pero no toca la pelota (5.20, retardo 3) (Figura 34).

#### 4.2.3.5 Relación entre el momento de anticipación y el resultado:

Presentamos a continuación las relaciones de las conductas de anticipación con su resultado tanto para patrones como para comportamientos.

##### ■ Patrones de conducta de ambos porteros

- ▶ Se encuentra en la bisectriz, mantiene la misma posición y está equilibrado en posición baja: poste (2.11, retardo -1 (Figura 37)); gol (2.63, retardo -2) (Figura 83).
- ▶ Se encuentra en la bisectriz, está cambiando de posición y está desequilibrado: intercepta un defensor; gol (2.47, retardo -2) (Figura 83).
- ▶ Se encuentra fuera de la bisectriz, está cambiando la posición y está desequilibrado: gol (2.13, retardo 0) (Figura 85); el portero se hace con la pelota (3.48, retardo -1) (Figura 84); el portero rechaza la pelota (2.20, retardo 2) (Figura 87).

##### ■ Patrón de conducta de Iker

- ▶ Se encuentra fuera de la bisectriz, mantiene la misma posición y está equilibrado en posición alta: poste (3.67, retardo 1) (Figura 38).

■ Patrones de conducta de Víctor

- ▶ Se encuentra en la bisectriz, mantiene la misma posición y está equilibrado en posición alta: poste (2.12, retardo -2) (Figura 36), intercepta un defensa (2.34, retardo -1) (Figura 37); el portero se hace con la pelota (2.61, retardo 0 (Figura 85); 2.69, retardo -2 (Figura 83)).
- ▶ Se encuentra en la bisectriz, mantiene la misma posición y está desequilibrado: rechaza la pelota (2.86, retardo -2) (Figura 83); la pelota va fuera (2.12, retardo 2) (Figura 87).

■ Comportamientos

- ▶ Se encuentra en la bisectriz, está cambiando de posición y está equilibrado en posición alta: poste (3.64, retardo 2) (Figura 39).
- ▶ Se encuentra fuera de la bisectriz, mantiene la misma posición y está desequilibrado: gol (2.24, retardo 0 (Figura 85); 2.17, retardo 2 (Figura 87)); fuera (2.54, retardo -2) (Figura 83); poste (3.39, retardo -1 (Figura 84); 2.61, retardo 3 (Figura 88)); intercepta la pelota un defensa (2.67, retardo 1) (Figura 86).

#### 4.2.3.6 Relación entre el momento de reacción y el resultado:

Presentamos a continuación las relaciones de las conductas de reacción con su resultado:

- Patrones de conducta de ambos porteros

- ▶ Movimiento de piernas y despeja la pelota:
  - a. rechaza la pelota.
- ▶ No hace nada y no hay contacto con la pelota:
  - a. la pelota va fuera.

- Patrones de conducta de Iker

- ▶ Movimiento de brazos y recoge la pelota:
  - a. el portero se hace con la pelota (2.40, retardo -2 (Figura 41); 5.29, retardo 0 (Figura 43)).
- ▶ Estirada pero no toca la pelota:
  - a. gol (3.09, retardo 0) (Figura 90);
  - b. la pelota va al poste.

- Patrones de conducta de Víctor

- ▶ Opone el cuerpo como pared y despeja la pelota:
  - a. rechaza la pelota (2.38, retardo 0) (Figura 90).

■ Comportamientos

- Movimiento de brazos y despeje de la pelota:
  - a. rechaza la pelota (3.79, retardo 0) (Figura 43).
- Movimiento de brazos pero no toca la pelota:
  - a. la pelota va al poste (2.40, retardo -2) (Figura 41);
  - b. la pelota va fuera (2.68, retardo 0) (Figura 43).
- Movimiento de piernas pero no toca la pelota:
  - a. la pelota va fuera (2.79, retardo -1 (Figura 42); 2.59, retardo 3 (Figura 46));
  - b. gol (2.55, retardo 0) (Figura 43).
- Estirada y despeja la pelota:
  - a. gol (2.01, retardo 2) (Figura 91);
  - b. el portero rechaza la pelota;
  - c. gol (2.40, retardo 2) (Figura 45).
- Estirada y recoge la pelota:
  - a. El portero se hace con la pelota (7.21, retardo 0) (Figura 90).
- Estirada y recoge la pelota:
  - a. se hace con la pelota (5.29, retardo 0 (Figura 43); 2.40, retardo 2 (Figura 45)).
- No hace nada y no hay contacto con la pelota:
  - a. la pelota va fuera (3.31, retardo 0) (Figura 90);
  - b. gol (3.10, retardo 3) (Figura 46).
- Opone el cuerpo como pared pero no toca la pelota:
  - a. la pelota va al poste (3.67, retardo 1) (Figura 44);
  - b. un defensa evita el gol (2.67, retardo 2) (Figura 45).

#### 4.2.3.7 Relación entre el momento de anticipación y reacción con su resultado:

Presentamos a continuación las relaciones de las conductas de anticipación y reacción con su resultado:

- Patrones de conducta de ambos porteros (anticipación)
  - Se encuentra en la bisectriz, mantiene la misma posición y está equilibrado en posición baja:
    - Estirada y recoge la pelota: el portero se hace con la pelota.
    - Estirada y despeje: **rechaza la pelota** (3.15, retardo 0) (Figura 95); gol (3.37, retardo -2) (Figura 94).
    - Estirada y no toca la pelota: gol (3.08, retardo 0) (Figura 95).
    - Movimiento de brazo y recoger la pelota: el portero se hace con la pelota (3.00, retardo 0 (Figura 50); 3.00, retardo 2 (Figura 52)).
    - Movimiento de brazo y despeja la pelota: rechaza la pelota (3.17, retardo 0 (Figura 50); 2.15, retardo 3 (Figura 53)).
    - Movimiento de pierna y despeje de la pelota: rechaza la pelota (2.55, retardo 0) (Figura 50).
    - Movimiento de pierna pero no hay contacto: gol (3.10, retardo 0) (Figura 50); fuera (2.86, retardo 1) (Figura 51).
    - No hace nada y no hay contacto: **un defensa intercepta la pelota** (2.77, retardo 0) (Figura 50); poste.
  - Se encuentra en la bisectriz, cambia de posición y está desequilibrado:
    - Movimiento de pierna y despeje: rechaza la pelota (2.07, retardo 0) (Figura 95).
    - Estirada y despeje de la pelota: rechaza la pelota.

■ Patrones de conducta de Víctor (anticipación)

- Se encuentra en la bisectriz, mantiene la misma posición y está equilibrado en posición alta:
  - Estirada y recoge la pelota: se hace con la pelota (4.97, retardo 0) (Figura 95).
  - Estirada y despeja la pelota: rechaza el balón (2.53, retardo 0 (Figura 95); 2.43, retardo 3 (Figura 97)).
  - Estirada y no hay contacto con la pelota: poste.
  - No hace nada y no hay contacto con la pelota: fuera (4.22, retardo 0) (Figura 95).
- Se encuentra en la bisectriz, mantiene la misma posición y está desequilibrado:
  - Estirada y no hay contacto con la pelota: un defensa intercepta la pelota (3.16, retardo 0) (Figura 95).
  - No hace nada y no toca la pelota: gol (2.17, retardo 0); intercepta la pelota un defensa (2.64, retardo 2); poste (3.93, retardo 0) (Figura 95).

■ Comportamientos (anticipación)

- Se encuentra en la bisectriz, cambia de posición y está equilibrado en posición alta:
  - Movimiento de brazo y no toca la pelota: fuera (2.11, retardo 0) (Figura 55); gol (3.00, retardo 1) (Figura 56).
- Se encuentra fuera de la bisectriz, cambia de posición y está en posición alta:
  - No hace nada y no toca la pelota: fuera (2.65, retardo 0) (Figura 59); gol (2.65, retardo 2) (Figura 60).